FLEBOGRAMA LATERAL (Derecho)

Parámetros de la v. cerebral interna

- Método de Potts y Taveras: A-B: 36; b: 2; c: 1; d: 0
- Método de Shah-Kendall...: A: 29,3; B: 28,1; C: 19,8
- Método de Babin y cols...: c: 51,5º; b: 38º

Cociente de giro sagital.: 103

Arco venoso profundo.....: 13,5

Proyecciones de la v. basal

Eje incisural-vena basal.: A: 1; B: -5,5; C: -8; D: -

FLEBOGRAMA FRONTAL (Derecho)

- Angulo venoso-Línea media.: 4
- Talamoestriada-Línea media: 20

Referencias angiográficas complementarias

- Arteriograma frontal derecho: desviación cuadrada de la arteria cerebral anterior. Ligera depresión del punto silviano.

- Arteriograma lateral derecho: desplazamiento anterior de los vasos silvianos. Vascularización patológica a nivel de la hoz parietal.

FIG. 310

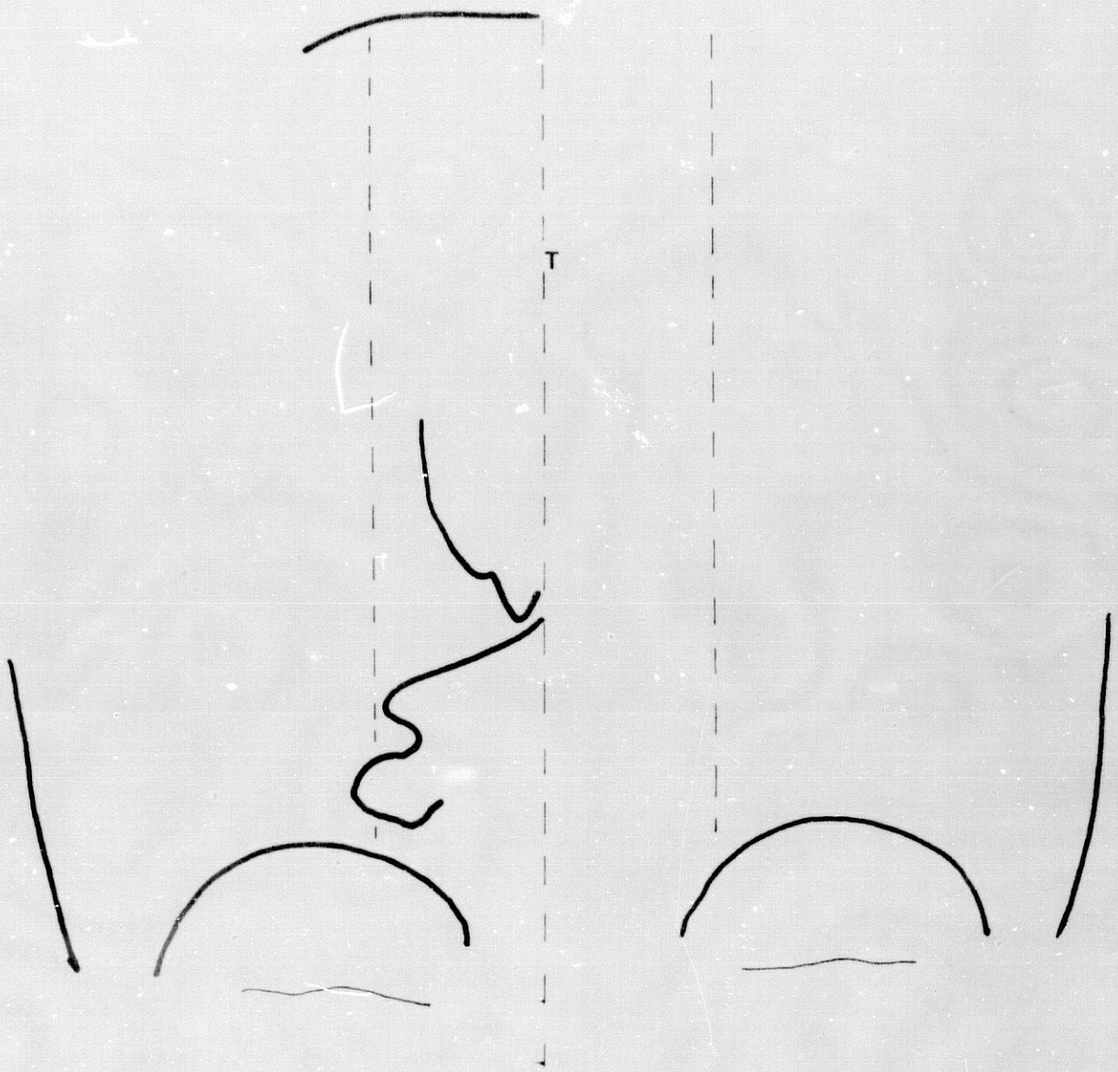

FIG. 311

S E R I E: Patológica

- Masa supraaxial posterior parasagital
- (Suprasilviana posterior línea media)

Caso nº P- 69(H-41)

Reseña personal: B.A.P. Varón. 58 años.

Reseña clínica: Meningioma de la hoz parietal bilateral.

.....

FLEBOGRAMA LATERAL (Izquierdo)

Parámetros del ángulo venoso

- Método de Laine.....:	H: 14	V: 15	
- Método de Fischer.....:	H: -3;	V: 7	
- Bisectriz de Fischer.....:	B: 17º;	M: 14º;	D: -3
- Método de Newton.....:	V: -7,5;	H: 6,5	
Ang. Tubérculo-Inion-Monro.:	14º		
Ang. Monro-Inion-Bregma....:	20º		
Ang. Tubérculo-Lambda-Monro:	8,5º		
Ang. Monro-Glabela-Bregma..:	40,5º		
Ang. Monro-Bregma-Tubérculo:	15º		
Ang. Monro-Tubérculo-Inion.:	62º		
Ang. Apex-Tubérculo-Monro..:	29º		
Ang. Monro-Apex-Bregma.....:	50,5º		
Lín. fleboaxial-Monro.....:	4		

FLEBOGRAMA LATERAL (Izquierdo)

Parámetros de la v. cerebral interna

- Método de Potts y Taveras: A-B: 35,5; b: 4; c: 2; d: 0
- Método de Shah-Kendall...: A: 27,1; B: 28,4; C: 18,6
- Método de Babin y cols...: c: 48º; b: 37º

Cociente de giro sagital.: 121

Arco venoso profundo.....: Inviable

Proyecciones de la v. basal

Eje incisural-vena basal.: A: 4; B: -5,5; C: -11,5; D: -

FLEBOGRAMA FRONTAL

- Angulo venoso-Línea media.: -
- Talamoestriada-Línea media: -

Referencias angiográficas complementarias

- El segmento opacificado de la vena talamoestriada en el flebograma lateral es anormalmente corto.
- No se computan, por dudosos, los datos del flebograma frontal.
- Las alteraciones vasculares son, en un grado más acusado, semejantes a las descritas para el angiograma derecho (página 451).

FIG. 312

S E R I E: Patológica

- Masa supraaxial posterior paras
- (Suprasilviana posterior paramed

Caso nº P-70 (99)

Reseña personal: F.M.E. arón. 46 años.

Reseña clínica: Astrocitoma parasagital parietal derecho.

.....

FLEBOGRAMA LATERAL

Parámetros del ángulo venoso

- Método de Laine.....:	H: 12,5;	V: 21	
- Método de Fischer.....:	H: -5;	V: 2,5	
- Bisectriz de Fischer.....:	B: 19,7º;	M: 17º;	D: -2,7º
- Método de Newton.....:	V: -1;	H: 12	
Ang. Tubérculo-Inion-Monro.:	17º		
Ang. Monro-Inion-Bregma....:	22,5º		
Ang. Tubérculo-Lambda-Monro:	11,5º		
Ang. Monro-Glabela-Bregma..:	44º		
Ang. Monro-Bregma-Tubérculo:	11º		
Ang. Monro-Tubérculo-Inion.:	68º		
Ang. Apex-Tubérculo-Monro..:	39º		
Ang. Monro-Apex-Bregma.....:	45,3º		
Lín. fleboaxial-Monro.....:	3		

FLEBOGRAMA LATERAL

Parámetros de la v. cerebral interna

- Método de Potts y Taveras: A-B: 42; b: 5; c: 1; d: 0
- Método de Shah-Kendall...: A: 31,77; B: 35,02; C: 23,40
- Método de Babin y cols...: c: 50,5º; b: 39º

Cociente de giro sagital.: 127

Arco venoso profundo.....: 5

Proyecciones de la v. basal

Eje incisural-vena basal.: A: -; B: -6; C: -; D: -

FLEBOGRAMA FRONTAL

- Angulo venoso-Línea media.: 0,7
- Talamoestriada-Línea media: 17

Referencias angiográficas complementarias

- Arteriograma frontal: trayecto tortuoso de la arteria pericallosa y sus ramas a lo largo de la línea media, especialmente de la porción posterior a la rodilla del vaso.

- Arteriograma lateral: incurvación anormal del segmento terminal de la arteria pericallosa, que dibuja un arco de concavidad superior.

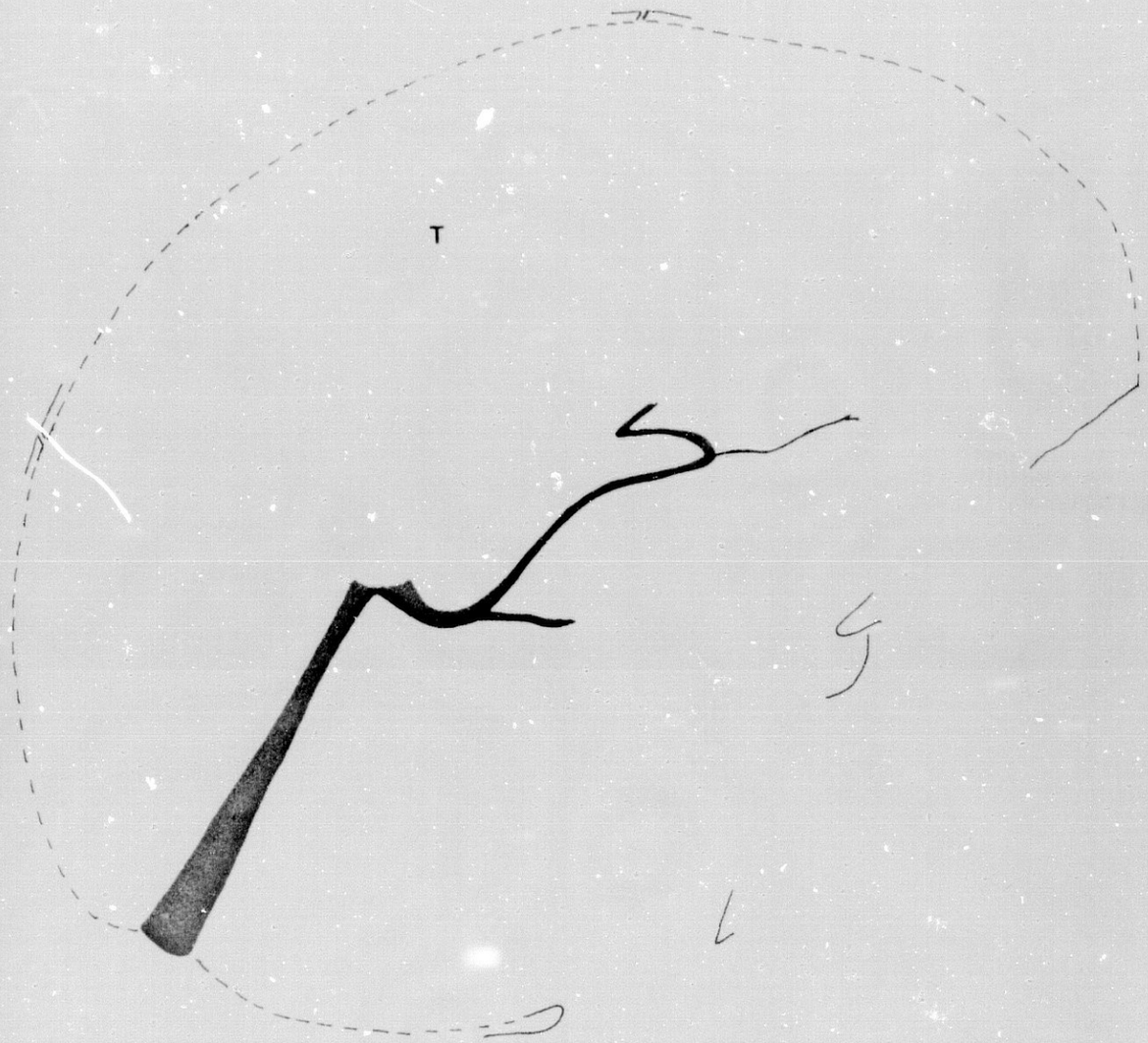

FIG. 313

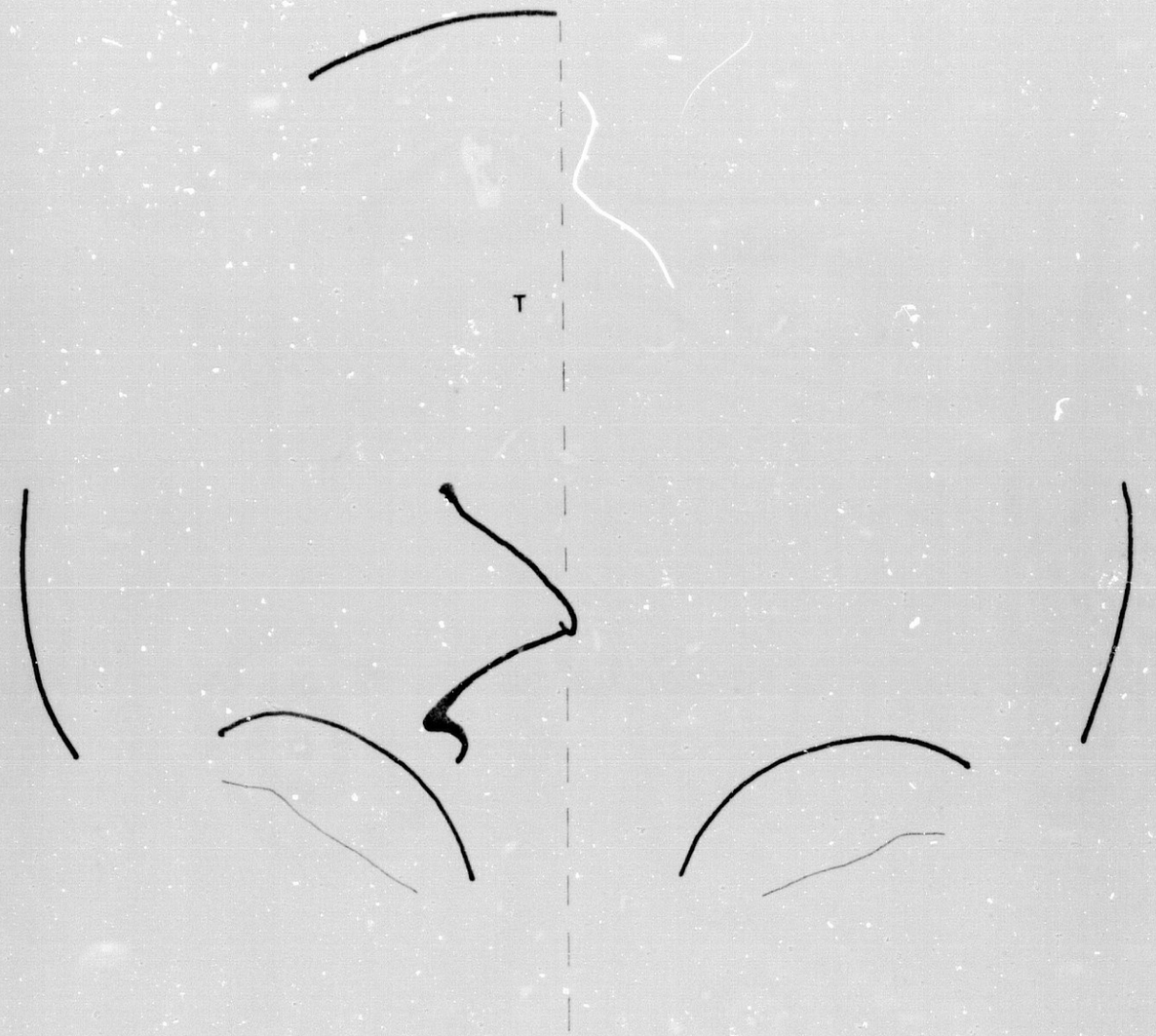

FIG. 314

S E R I E: Patológica

- Masa supraaxial posterior parasagital
- (Retrosilviana superior)

Caso nº P-71 (H-109)

Reseña personal: F.M.S. Mujer. 43 años.

Reseña clínica: Meningioma de la hoz con propagación a la cisura interhemisférica.

.....

FLEBOGRAMA LATERAL

Parámetros del ángulo venoso

- Método de Laine.....:	H: 19;	V: 13
- Método de Fischer.....:	H: 3,5;	V: 0,7
- Bisectriz de Fischer.....:	B: 20º;	M: 17,5º; D: -2,5º
- Método de Newton.....:	V: -1;	H: 8,5
Ang. Tubérculo-Inion-Monro.:	17,5º	
Ang. Monro-Inion-Bregma....:	22,5º	
Ang. Tubérculo-Lambda-Monro:	9º	
Ang. Monro-Glabela-Bregma..:	43º	
Ang. Monro-Bregma-Tubérculo:	13º	
Ang. Monro-Tubérculo-Inion.:	61º	
Ang. Apex-Tubérculo-Monro..:	19º	
Ang. Monro-Apex-Bregma.....:	64,5º	
Lín. fleboaxial-Monro.....:	-2	

FLEBOGRAMA LATERAL

Parámetros de la v. cerebral interna

- Método de Potts y Taveras: A-B: 35; b: 6; c: 0,2; d: 0
- Método de Shah-Kendall...: A: 30,50; B: 35,92; C: 29,61
- Método de Babin y cols...: c: 43º; b: 45º

Cociente de giro sagital.: 90

Arco venoso profundo.....: 5

Proyecciones de la v. basal

Eje incisural-vena basal.: A: -; B: -13; C: -22; D: -

FLEBOGRAMA FRONTAL

- Angulo venoso-Línea media.: 7
- Talamoestriada-Línea media: 24,5

Referencias angiográficas complementarias

- Arteriograma frontal: estiramiento y tortuosidad de las ramas terminales de la arteria cerebral anterior.

- Arteriograma frontal: ligera depresión y arqueamiento de concavidad superior de las ramas callosomarginales. Leve depresión del borde postero-superior del triángulo silviano.

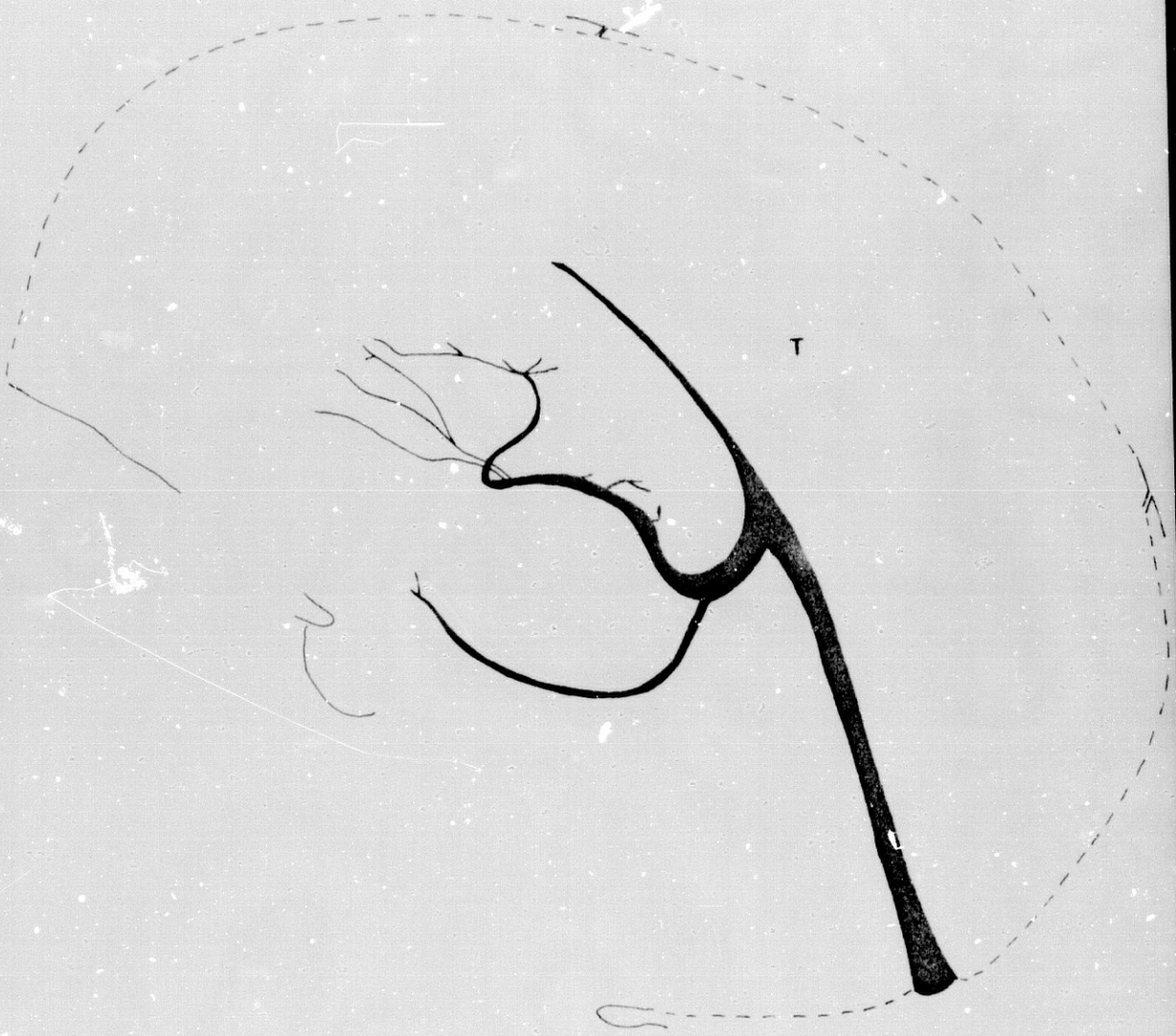

FIG. 315

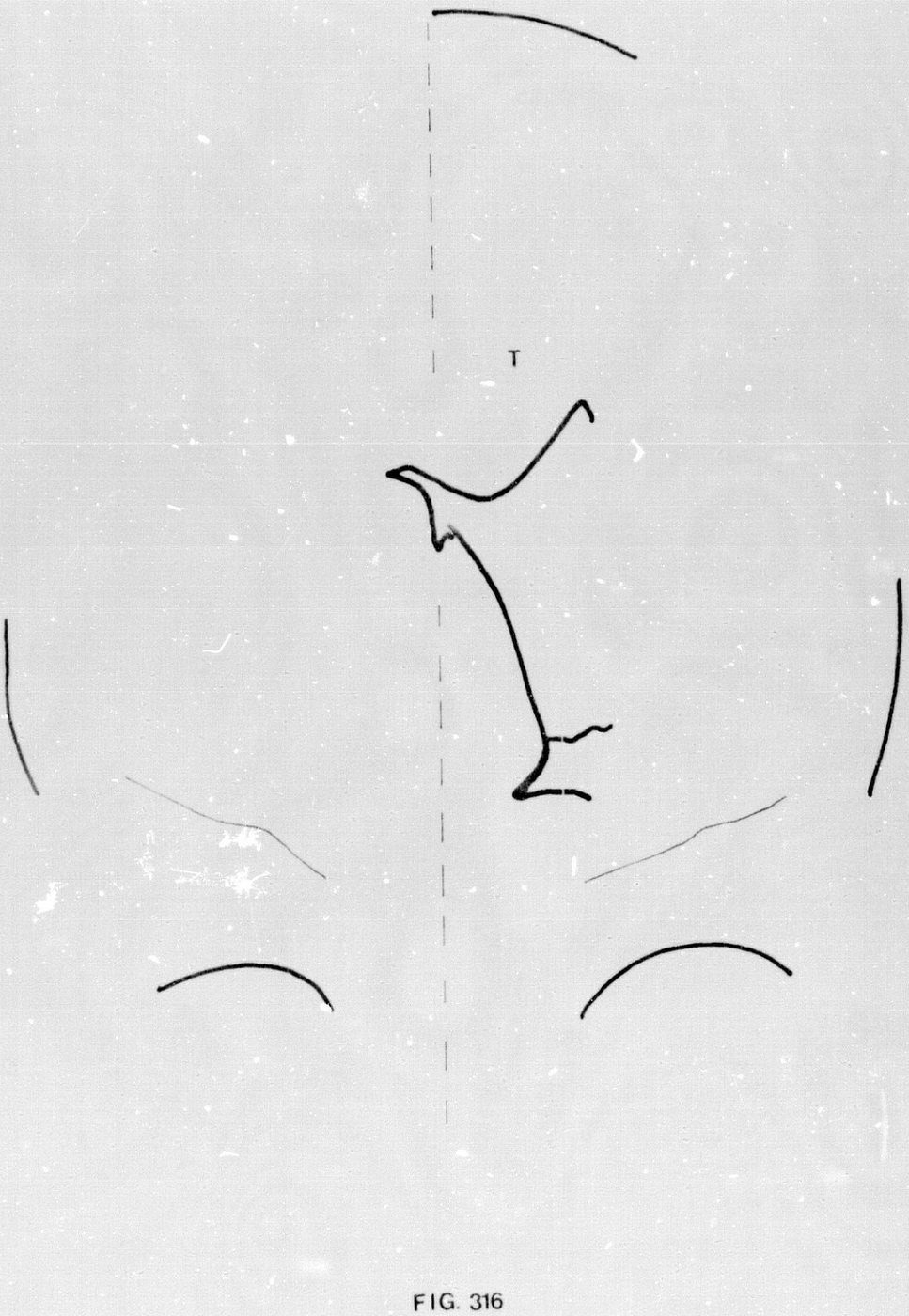

FIG. 316

S E R I E: Patológica

- Masa supraaxial posterior parasagital
-(Suprasilviana posterior)

Caso nº P-72 (H-176)

Reseña personal: J.S.M. Mujer. 74 años.

Reseña clínica: Meningioma de la hoz parietal.

.....

FLEBOGRAMA LATERAL

Parámetros del ángulo venoso

- Método de Laine.....: H: 10; V: 21
- Método de Fischer.....: H: 10; V: 4,5
- Bisectriz de Fischer.....: B: 20,5; M: 17º; D: - 3,5º;
- Método de Newton.....: V: 0,5; H: 9

Ang. Tubérculo-Inion-Monro.: 17º
Ang. Monro-Inion-Bregma....: 24º
Ang. Tubérculo-Lambda-Monro: 13,5º
Ang. Monro-Glabela-Bregma..: 42º
Ang. Monro-Bregma-Tubérculo: 8º
Ang. Monro-Tubérculo-Inion.: 71º
Ang. Apex-Tubérculo-Monro..: 44,5º
Ang. Monro-Apex-Bregma.....: 43º
Lín. fleboaxial-Monro.....: 0,5

FLEBOGRAMA LATERAL

Parámetros de la v. cerebral interna

- Método de Potts y Taveras: A-B: 36; b: 4; c: 0; d: -0,2
- Método de Shah-Kendall...: A: 32,6; B: 34,1; C: 20,7
- Método de Babin y cols...: c: 56º; b: 41º

Cociente de giro sagital.: Inviable (no se opacificó el SSI)

Arco venoso profundo.....: 2

Proyecciones de la v. basal

Eje incisural-vena basal.: A: 6; B: -5; C: -9; D: -

FLEBOGRAMA FRONTAL

- Angulo venoso-Línea media.: 9
- Talamoestriada-Línea media: 16,5

Referencias angiográficas complementarias

- Arteriograma frontal: no se aprecian alteraciones significativas.

- Arteriograma lateral: considerable depresión de la arteria pericallosa a nivel de la porción posterior del cuerpo calloso y del esplenio, combinada con elevación en esa área de las ramas de la arteria callosomarginal que bordean la neoplasia.

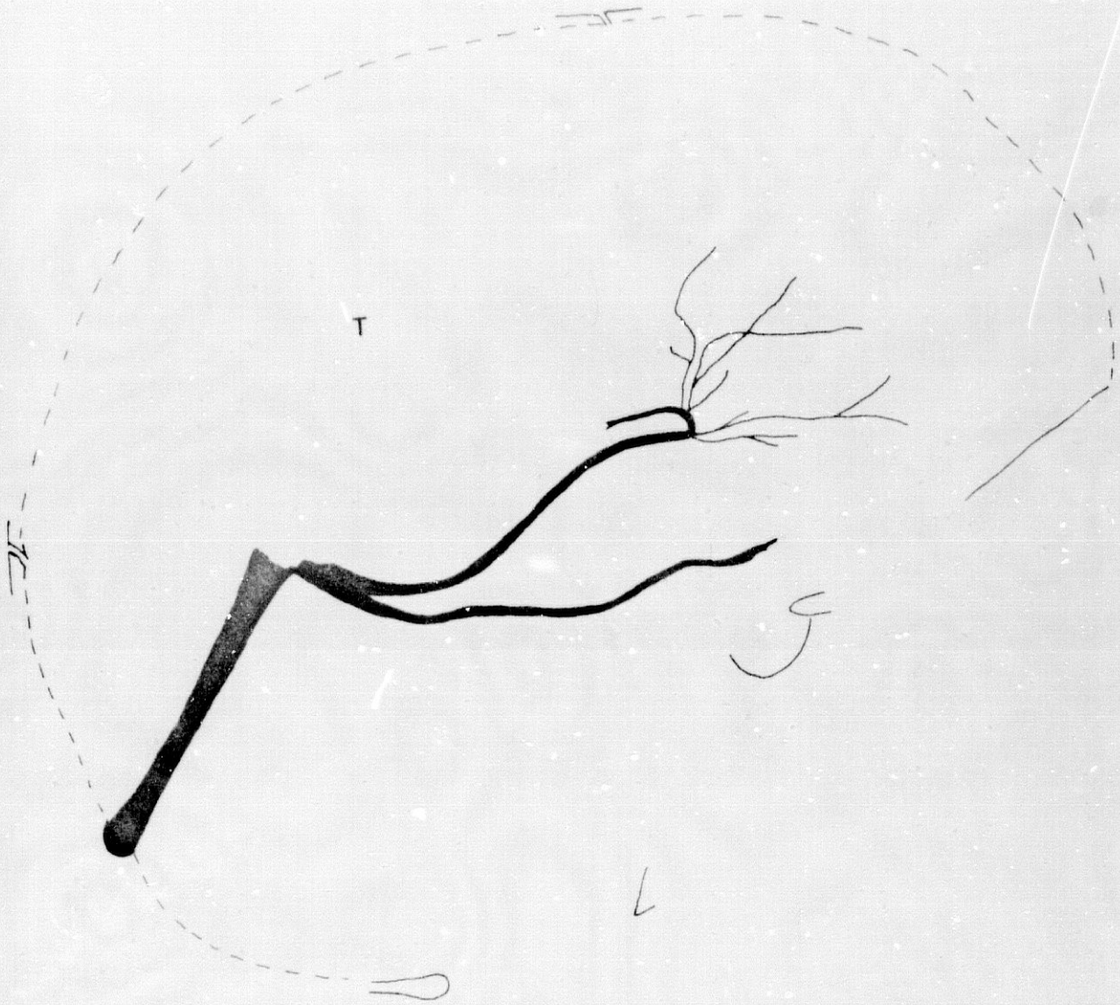

FIG. 317

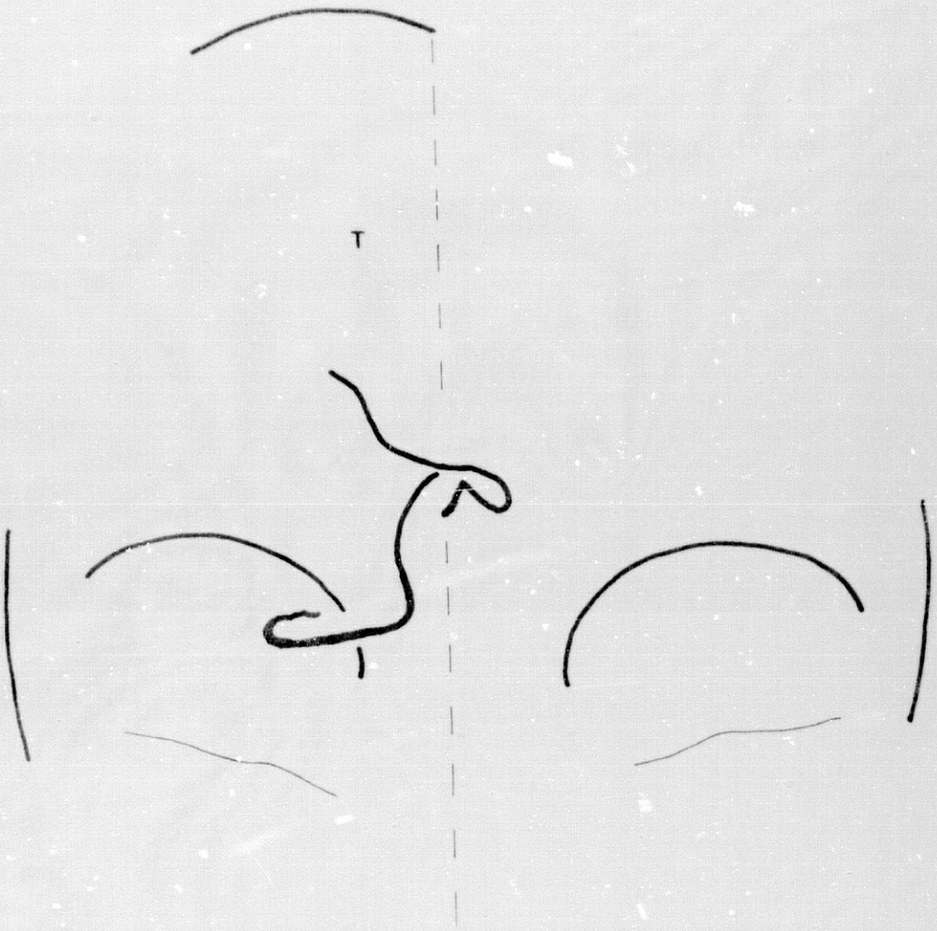

FIG. 318

S E R I E: Patológica

- Masa supraaxial posterior parasagital
- (Suprasilviana posterior)

Caso nº P-73 (H-193)

Reseña personal: M.B.V. Mujer. 53 años.

Reseña clínica: Meningioma parietal posterior.

.....

FLEBOGRAMA LATERAL

Parámetros del ángulo venoso

- Método de Laine.....:	H: 20,5;	V: 15	
- Método de Fischer.....:	H: 0;	V: -2,5	
- Bisectriz de Fischer.....:	B: 23,5º;	M: 23º;	D: -0,5º
- Método de Newton.....:	V: 0;	H: -11	
Ang. Tubérculo-Inion-Monro.:	23,5º		
Ang. Monro-Inion-Bregma....:	24º		
Ang. Tubérculo-Lambda-Monro:	16º		
Ang. Monro-Glabela-Bregma..:	49,5º		
Ang. Monro-Bregma-Tubérculo:	16º		
Ang. Monro-Tubérculo-Inion.:	53º		
Ang. Apex-Tubérculo-Monro..:	23,5º		
Ang. Monro-Apex-Bregma.....:	57,5º		
Lín. fleboaxial-Monro.....:	-3		

FLEBOGRAMA LATERAL

Parámetros de la v. cerebral interna

- Método de Potts y Taveras: A-B: 28; B: 5; c: -0,5; d: 0
- Método de Shah-Kendall...: A: 30,4; B: 33,2; C: 26,3
- Método de Babin y cols...: c: 53º; b: 45º

Cociente de giro sagital.: Inviable (no se opacificó el SSI)

Arco venoso profundo.....: 6

Proyecciones de la v. basal

Eje incisural-vena basal.: A: -; B: -5; C: -8,5 D: -

FLEBOGRAMA FRONTAL

- Angulo venoso-Línea media.: -1
- Talamoestriada-Línea media: 23

Referencias angiográficas complementarias

- Arteriograma frontal: no se aprecian alteraciones significativas.

- Arteriograma lateral: estiramiento de vasos a nivel de la convexidad alta. Rápida aparición de venas de drenaje que desembocan en el seno longitudinal superior.

FIG. 319

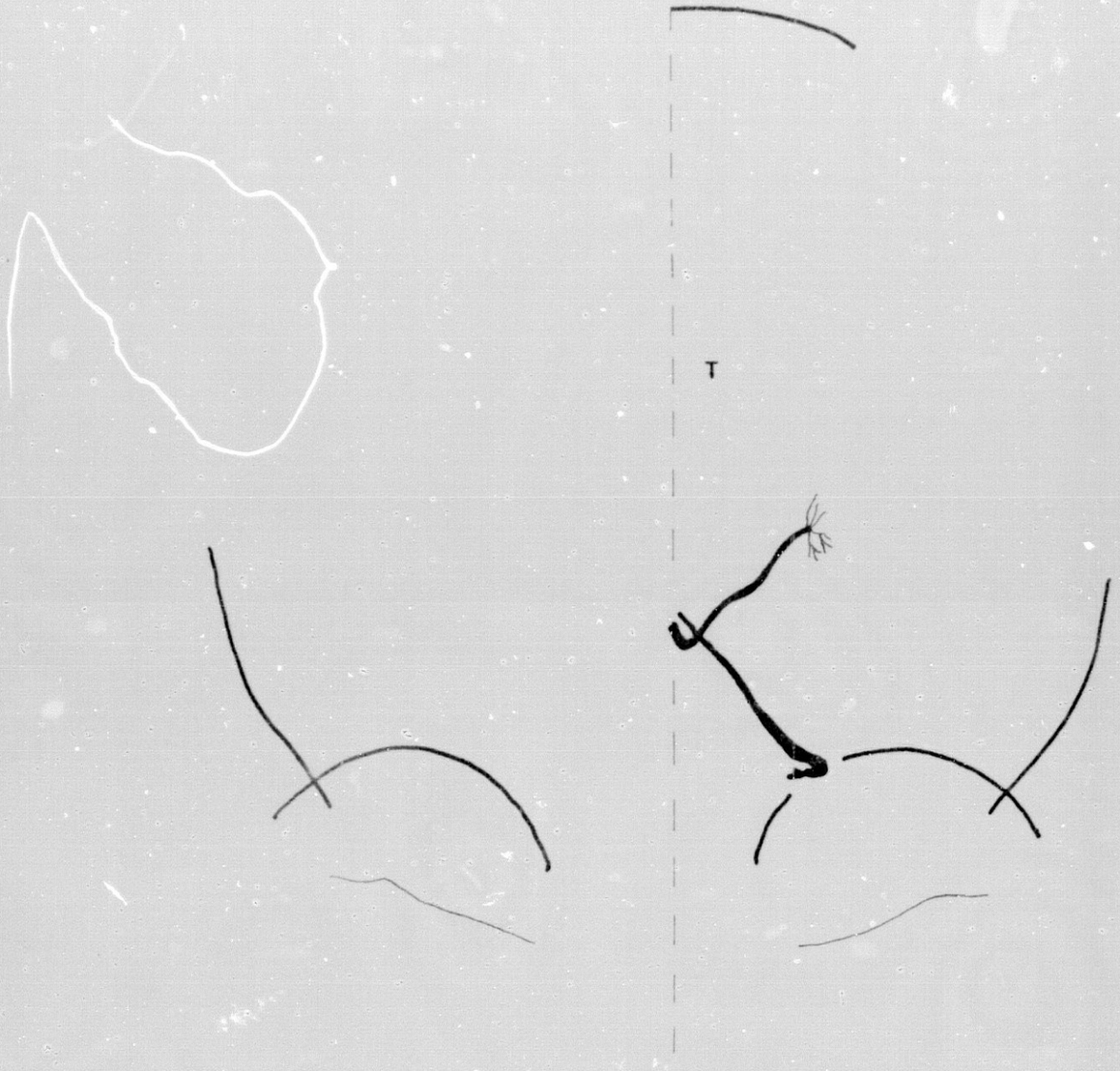

FIG. 320

S E R I E: Patológica

- Masa supraaxial posterior parasagital
- (Suprasilviana línea media)

Caso nº P-74 (H-211)

Reseña personal: M.H.L. Mujer. 50 años.

Reseña clínica: Tumor parietal izquierdo. La enferma no fue intervenida: no se pudo determinar la naturaleza exacta del tumor.

.....

FLEBOGRAMA LATERAL

Parámetros del ángulo venoso

- Método de Laine.....:	H: 17;	V: 18	
- Método de Fischer.....:	H: 3;	V: 3	
- Bisectriz de Fischer.....:	B: 21º;	M: 20º;	D: -1º
- Método de Newton.....:	V: 2,5;	H: 9	
Ang. Tubérculo-Inion-Monro.:	20º		
Ang. Monro-Inion-Bregma....:	22º		
Ang. Tubérculo-Lambda-Monro:	11º		
Ang. Monro-Glabela-Bregma..:	43º		
Ang. Monro-Bregma-Tubérculo:	14,5º		
Ang. Monro-Tubérculo-Inion.:	62,5º		
Ang. Apex-Tubérculo-Monro..:	29º		
Ang. Monro-Apex-Bregma.....:	52,5º		
Lín. fleboaxial-Monro.....:	-1,5		

FLEBOGRAMA LATERAL

Parámetros de la v. cerebral interna

- Método de Potts y Taveras: A-B: 35; b: 7,5; c: 0,5; d: 0,1
- Método de Shah-Kendall...: A: 33; B: 39,3; C: 26,6
- Método de Babin y cols...: c: 51,5º; b: 41º

Cociente de giro sagital.: Inviable (no se opacificó el SSI)

Arco venoso profundo.....: 5,5

Proyecciones de la v. basal

Eje incisural-vena basal.: A: -; B: -8,5; C: -12,5; D: -

FLEBOGRAMA FRONTAL

- Angulo venoso-Línea media.: -4
- Talamoestriada-Línea media: 21

Referencias angiográficas complementarias

- Arteriograma frontal: apenas se opacifica la arteria cerebral anterior.
- Arteriograma lateral: considerable descenso de la arteria cerebral posterior. Estiramiento de los vasos operculares y descenso de la porción posterior del grupo silviano.

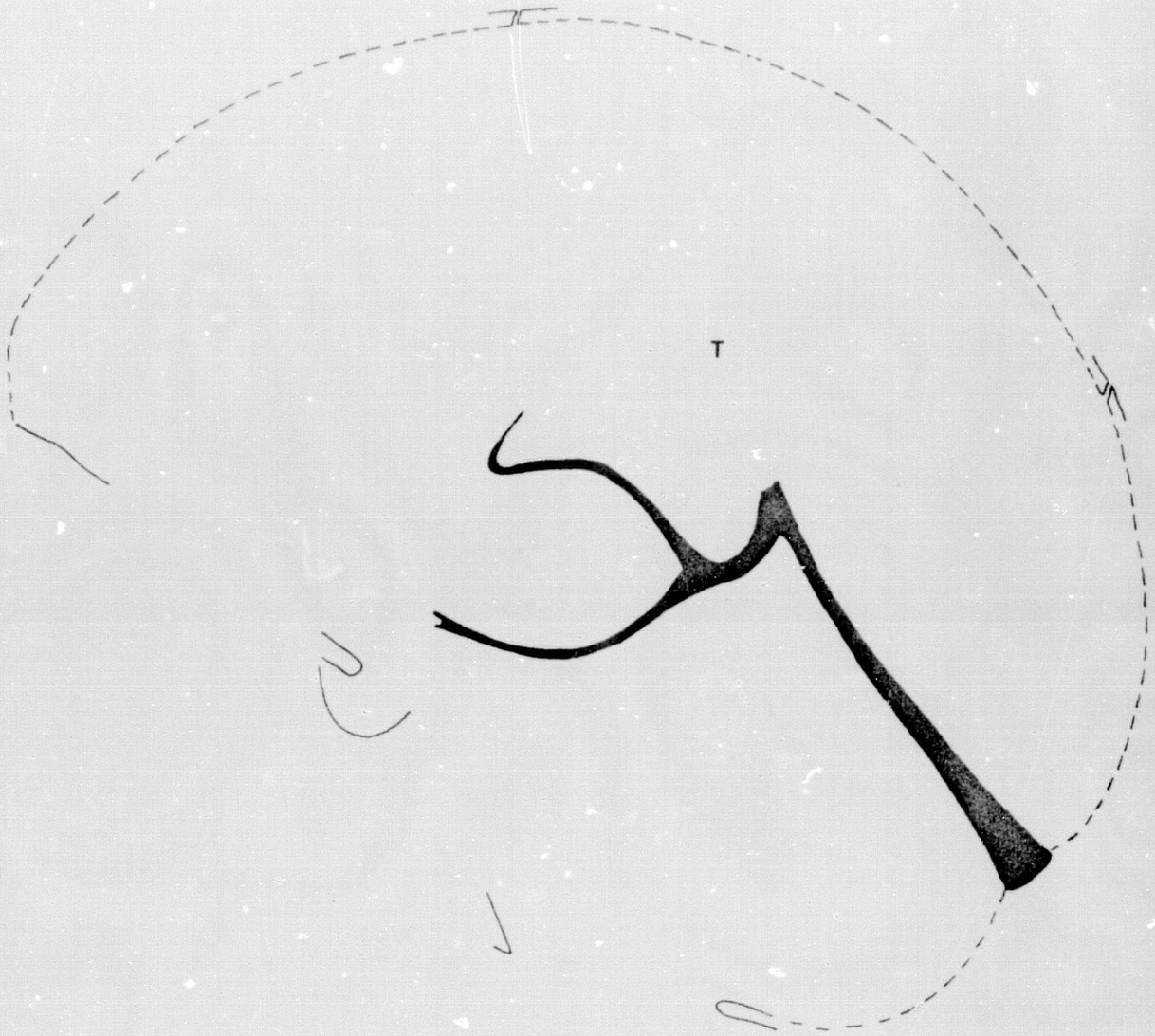

FIG. 321

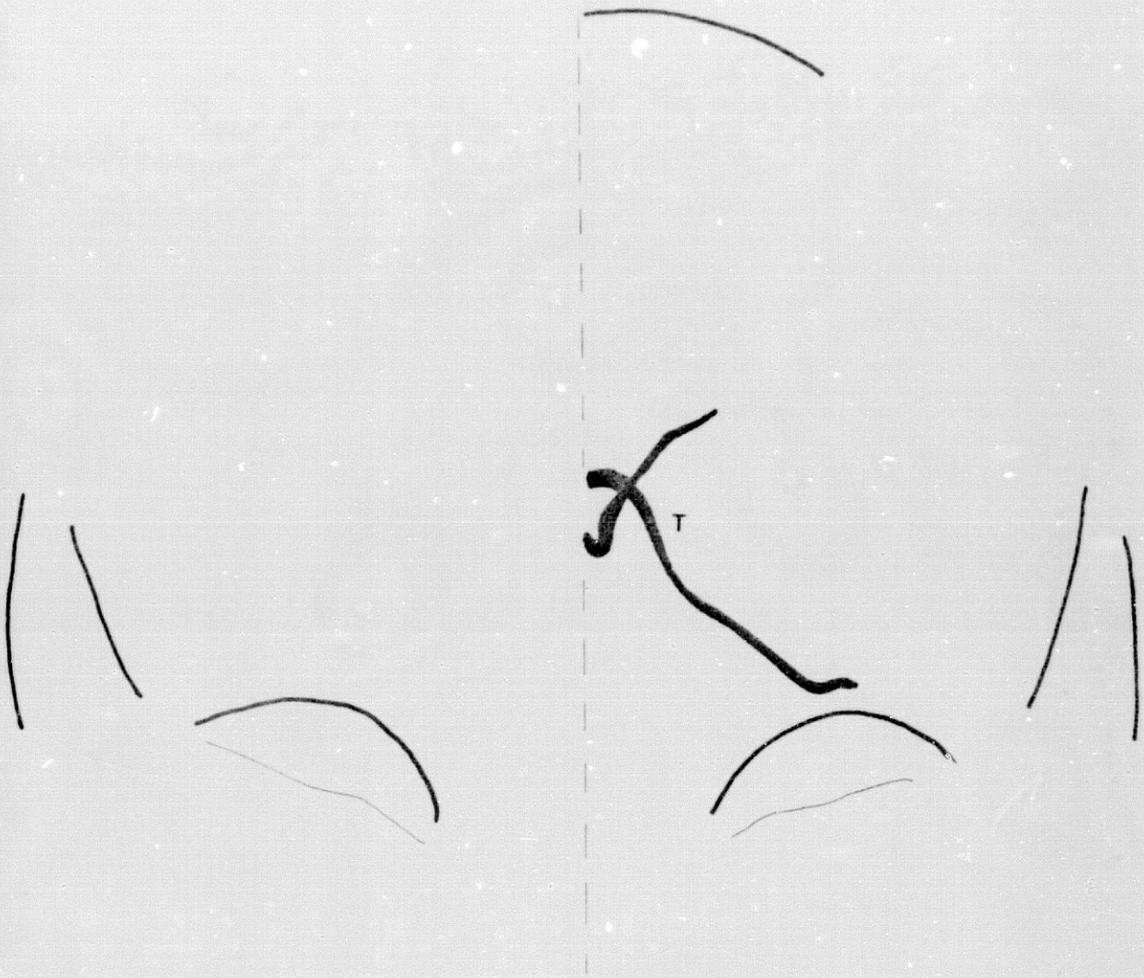

FIG. 322

Tumores supraaxiales posteriores laterales

S E R I E: Patológica

- Masa supraaxial posterior lateral
- (Petrosilviana superior)

Caso nº P-75 (H-13)

Reseña personal: A.G.P. Varón. 51 años.

Reseña clínica: Glioblastoma parietooccipital izquierdo.

.....

FLEBOGRAMA LATERAL

Parámetros del ángulo venoso

- Método de Laine.....: H: 16; V: 17
- Método de Fischer.....: H: -4,5; V: 8
- Bisectriz de Fischer.....: B: 20º; M: 18,5º; D: -1,5º
- Método de Newton.....: V: 0; H: 3

Ang. Tubérculo-Inion-Monro.: 18,5º
Ang. Monro-Inion-Bregma....: 21,5º
Ang. Tubérculo-Lambda-Monro: 9,5º
Ang. Monro-Glabela-Bregma..: 43,5º
Ang. Monro-Bregma-Tubérculo: 15,5º
Ang. Monro-Tubérculo-Inion.: 63,5º
Ang. Apex-Tubérculo-Monro..: 28,5º
Ang. Monro-Apex-Bregma.....: 51,5º
Lín. fleboaxial-Monro.....: 2

FLEBOGRAMA LATERAL

Parámetros de la v. cerebral interna

- Método de Potts y Taveras: A-B: 35; b: 6; c: 0; d: -0,5
- Método de Shah-Kendall...: A: 32,5; B: 33,5; C: 22
- Método de Babin y cols...: c: 53º; b: 41º

Cociente de giro sagital.: 107

Arco venoso profundo.....: 7

Proyecciones de la v. basal

Eje incisural-vena basal.: A: -; B: -2; C: -16,5; D: -

FLEBOGRAMA FRONTAL

- Angulo venoso-Línea media.: 12,5
- Talamoestriada-Línea media: 0

Referencias angiográficas complementarias

- Arteriograma frontal: desviación general, más distal que proximal, de la arteria cerebral anterior. Desplazamiento medial de las arterias cerebral posterior, coroidea anterior y lenticuloestriadas. Descenso de los vasos silvianos.

- Arteriograma lateral: estiramiento de las ramas operculares de la arteria cerebral media. Depresión de la arteria cerebral posterior. Adelantamiento y descenso del triángulo silviano.

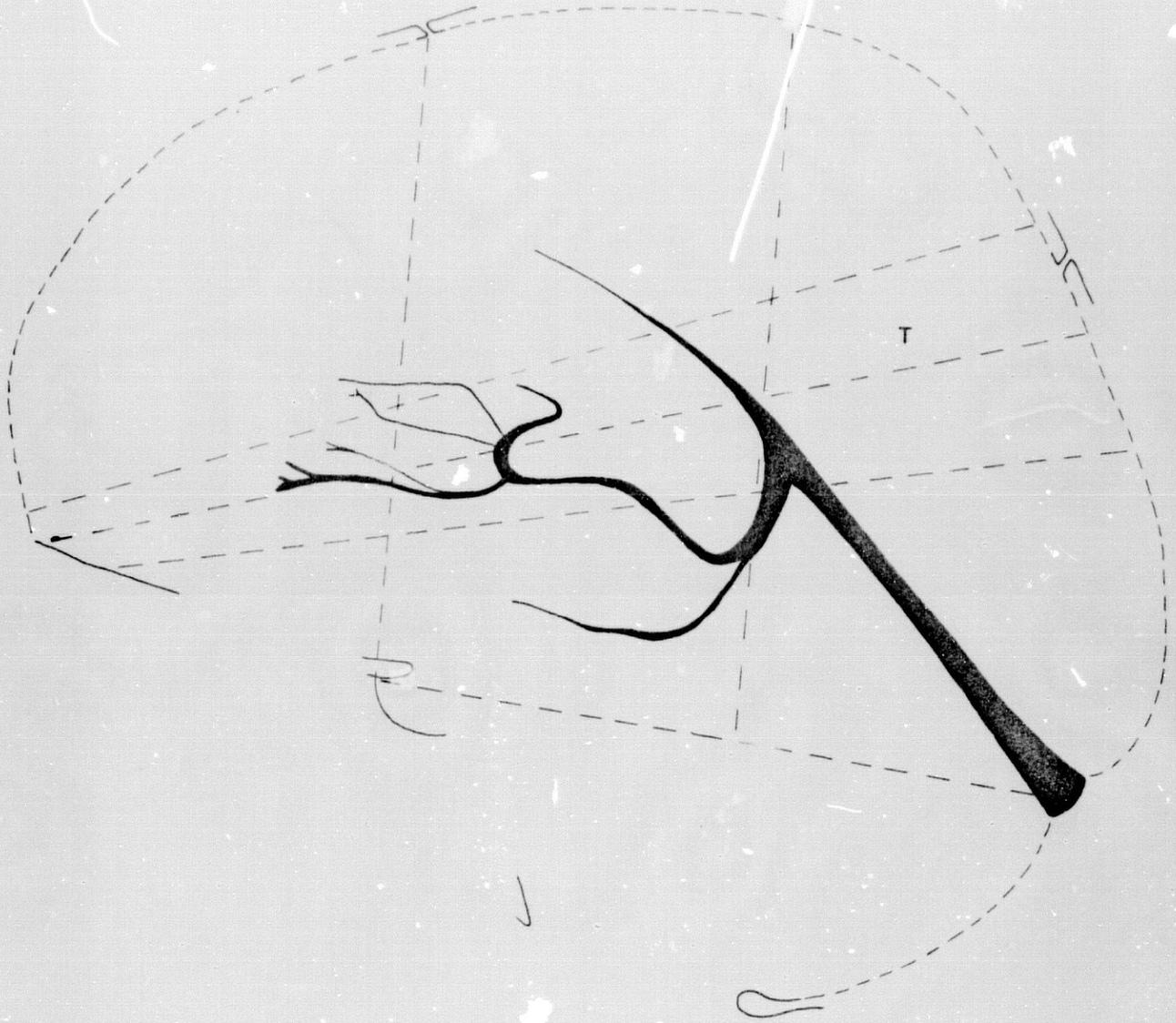

FIG. 325

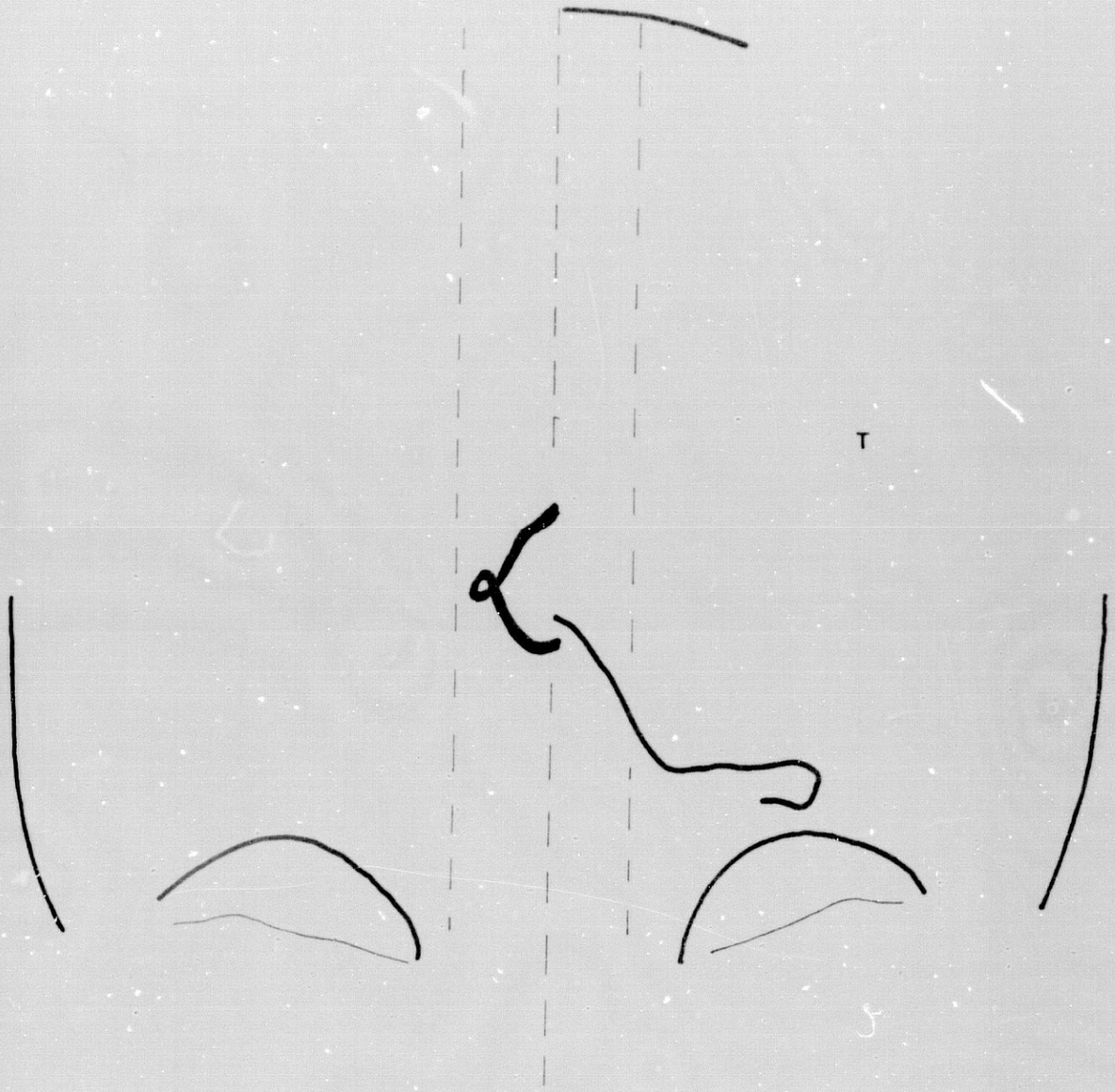

FIG. 326

S E R I E: Patológica

- Masa supraaxial posterior lateral
- (Retrosilviana superior)

Caso nº P-76 (H-18)

Reseña personal: A.L.F. Varón. 21 años.

Reseña clínica: Astrocitoma parietooccipital izquierdo.

.....

FLEBOGRAMA LATERAL

Parámetros del ángulo venoso

- Método de Laine.....: H: 19; V: 22
- Método de Fischer.....: H: 0; V: 5
- Bisectriz de Fischer.....: B: 22,2º; M: 23º; D: 0,8º
- Método de Newton.....: V: 9; H: 0

Ang. Tubérculo-Inion-Monro.: 23º
Ang. Monro-Inion-Bregma....: 21,5º
Ang. Tubérculo-Lambda-Monro: 15,5º
Ang. Monro-Glabela-Bregma..: 41º
Ang. Monro-Bregma-Tubérculo: 14,5º
Ang. Monro-Tubérculo-Inion.: 60,5º
Ang. Apex-Tubérculo-Monro..: 25º
Ang. Monro-Apex-Bregma.....: 51,5º
Lín. fleboaxial-Monro.....: 1,5

FLEBOGRAMA LATERAL

Parámetros de la v. cerebral interna

- Método de Potts y Taveras: A-B: 29,5; b: 4,7; c: 1,2; d: -1
- Método de Shah-Kendall...: A: 38,4; B: 41,4; C: 29,5
- Método de Babin y cols...: c: 63,5º; b: 48º

Cociente de giro sagital.: Inviable (no se opacificó el SSI)

Arco venoso profundo.....: 4

Proyecciones de la v. basal

Eje incisural-vena basal.: A: 8.5; B: 1,5; C: -10; D: -

FLEBOGRAMA FRONTAL

- Angulo venoso-Línea media.: 2
- Talamoestriada-Línea media: 19,5

Referencias angiográficas complementarias

- Arteriograma frontal: posible descenso del punto silviano.
- Arteriograma lateral: redondeamiento no muy apreciable de las ramas opercu-lares de la cerebral media. Adelantamiento del triángulo silviano.

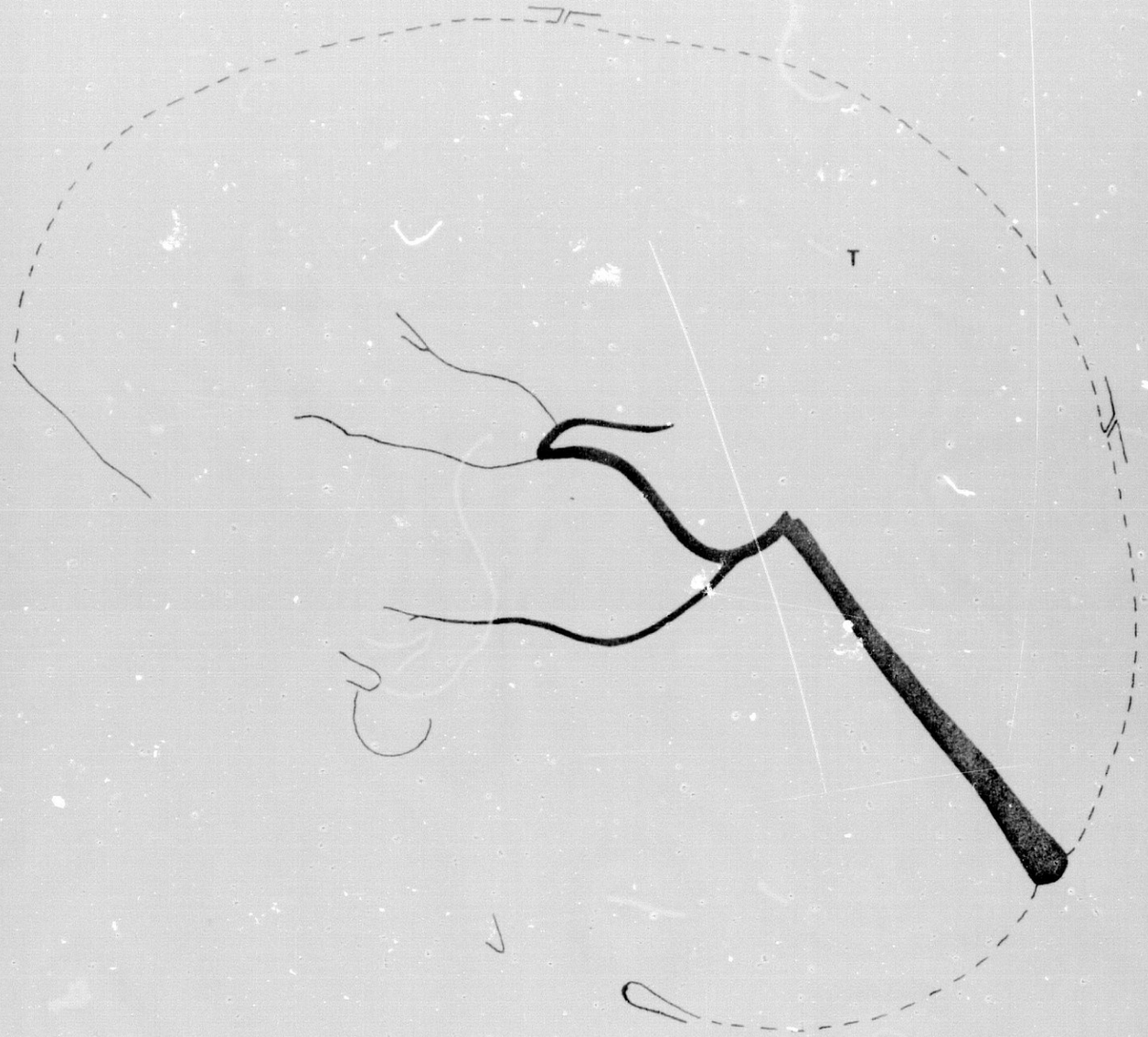

FIG. 327

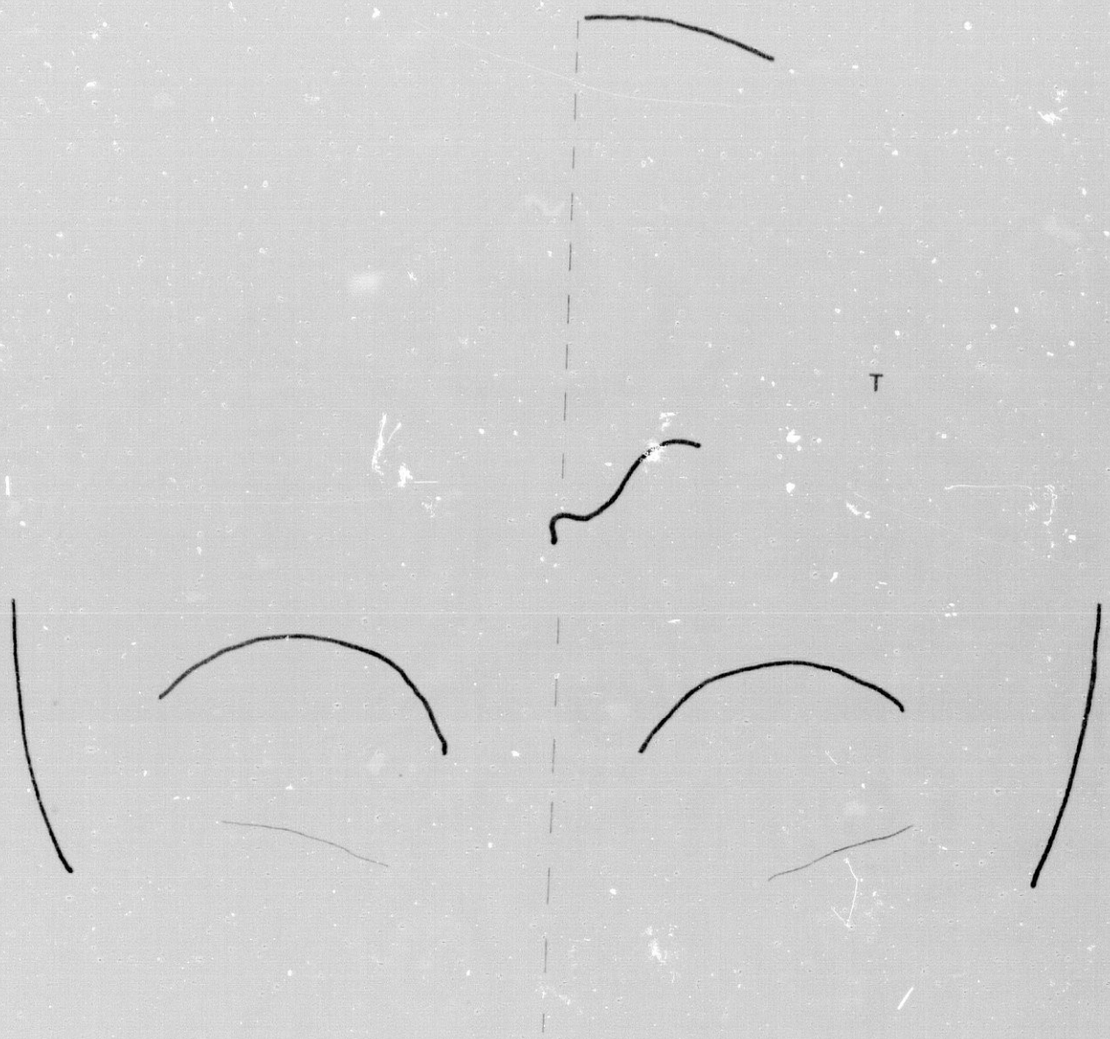

FIG. 328

S E R I E: Patológica

- Masa supraaxial posterior lateral

-(Retrosilviana superior)

Caso nº P-77 (H-69)

Reseña personal: D.H.S. Mujer. 53 años.

Reseña clínica: Tumor parietal derecho. El paciente no fue intervenido: no se pudo determinar la naturaleza exacta del tumor.

.....

FLEBOGRAMA LATERAL

Parámetros del ángulo venoso

- Método de Laine.....:	H: 6;	V: 21,5	
- Método de Fischer.....:	H: 5;	V: 0	
- Bisectriz de Fischer.....:	B: 20º;	M: 15º;	D: -5º
- Método de Newton.....:	V: -6,5;	H: 3,5	
Ang. Tubérculo-Inion-Monro.:	15º		
Ang. Monro-Inion-Bregma....:	25º		
Ang. Tubérculo-Lambda-Monro:	11º		
Ang. Monro-Glabela-Bregma..:	47,5º		
Ang. Monro-Bregma-Tubérculo:	7,5º		
Ang. Monro-Tubérculo-Inion.:	76º		
Ang. Apex-Tubérculo-Monro..:	51,5º		
Ang. Monro-Apex-Bregma.....:	61,5º		
Lín. fleboaxial-Monro.....:	0		

FLEBOGRAMA LATERAL

Parámetros de la v. cerebral interna

- Método de Potts y Taveras: A-B: 45; b: 9; c: 1,2; d: 0,2
- Método de Shah-Kendall...: A: 26,5; B: 35,9; C: 25
- Método de Babin y cols...: c: 39º; b: 43,5º

Cociente de giro sagital.: 138

Arco venoso profundo.....: 8

Proyecciones de la v. basal

Eje incisural-vena basal.: Inviable (la v. basal no es anastomótica)

FLEBOGRAMA FRONTAL

- Angulo venoso-Línea media.: -
- Talamoestriada-Línea media: -

Referencias angiográficas complementarias

- No se computan, por dudosos, los datos del flebograma frontal.
- Arteriograma frontal: no se aprecian alteraciones significativas.
- Arteriograma lateral: presumible depresión de la porción posterior de la arteria pericallosa.

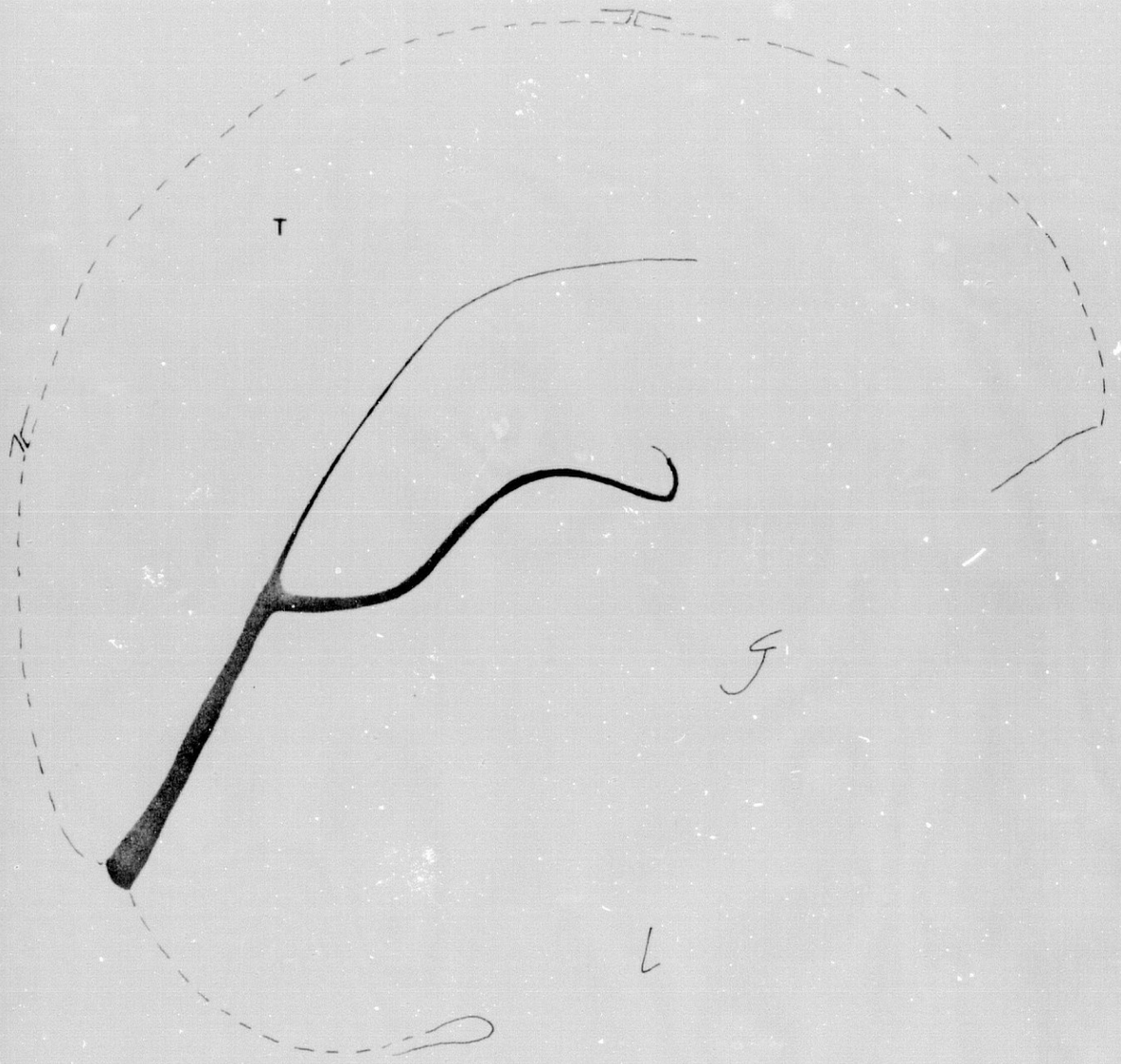

FIG. 329

S E R I E: Patológica

- Masa supraaxial posterior lateral
- (Retrosilviana superior)

Caso nº P-78 (H-70)

Reseña personal: D.L.A. Mujer. 69 años.

Reseña clínica: Glioblastoma multiforme parietal derecho.

.....

FLEBOGRAMA LATERAL

Parámetros del ángulo venoso

- Método de Laine.....:	H: 8,5;	V: 23,5	
- Método de Fischer.....:	H: 8;	V: 2,5	
- Bisectriz de Fischer.....:	B: 24º;	M: 19º;	D: -5º
- Método de Newton.....:	V: -2;	H: 6	
Ang. Tubérculo-Inion-Monro.:	19º		
Ang. Monro-Inion-Bregma....:	29º		
Ang. Tubérculo-Lambda-Monro:	14º		
Ang. Monro-Glabela-Bregma..:	42,5º		
Ang. Monro-Bregma-Tubérculo:	3,5º		
Ang. Monro-Tubérculo-Inion.:	76º		
Ang. Apex-Tubérculo-Monro..:	45º		
Ang. Monro-Apex-Bregma.....:	51,5º		
Lín. fleboaxial-Monro.....:	2		

FLEBOGRAMA LATERAL

Parámetros de la v. cerebral interna

- Método de Potts y Taveras:	A-B: 37;	b: 8;	c: 1;	d: -2
- Método de Shah-Kendall...:	A: 31,4;	B: 34,6;	C: 23	
- Método de Babin y cols...:	c: 57º;	b: 45º		
Cociente de giro sagital.:	92			
Arco venoso profundo.....:	7			

Proyecciones de la v. basal

Eje incisural-vena basal.:	A: -;	B: -6;	C: -10;	D: -

FLEBOGRAMA FRONTAL

- Angulo venoso-Línea media.: 6
- Talamoestriada-Línea media: 11

Referencias angiográficas complementarias

- Arteriograma frontal: desviación distal, muy poco valorable, de la arteria pericallosa.

- Arteriograma lateral: elevación y adelantamiento ligeros de la porción posterior del triángulo silviano y de sus ramas operculares.

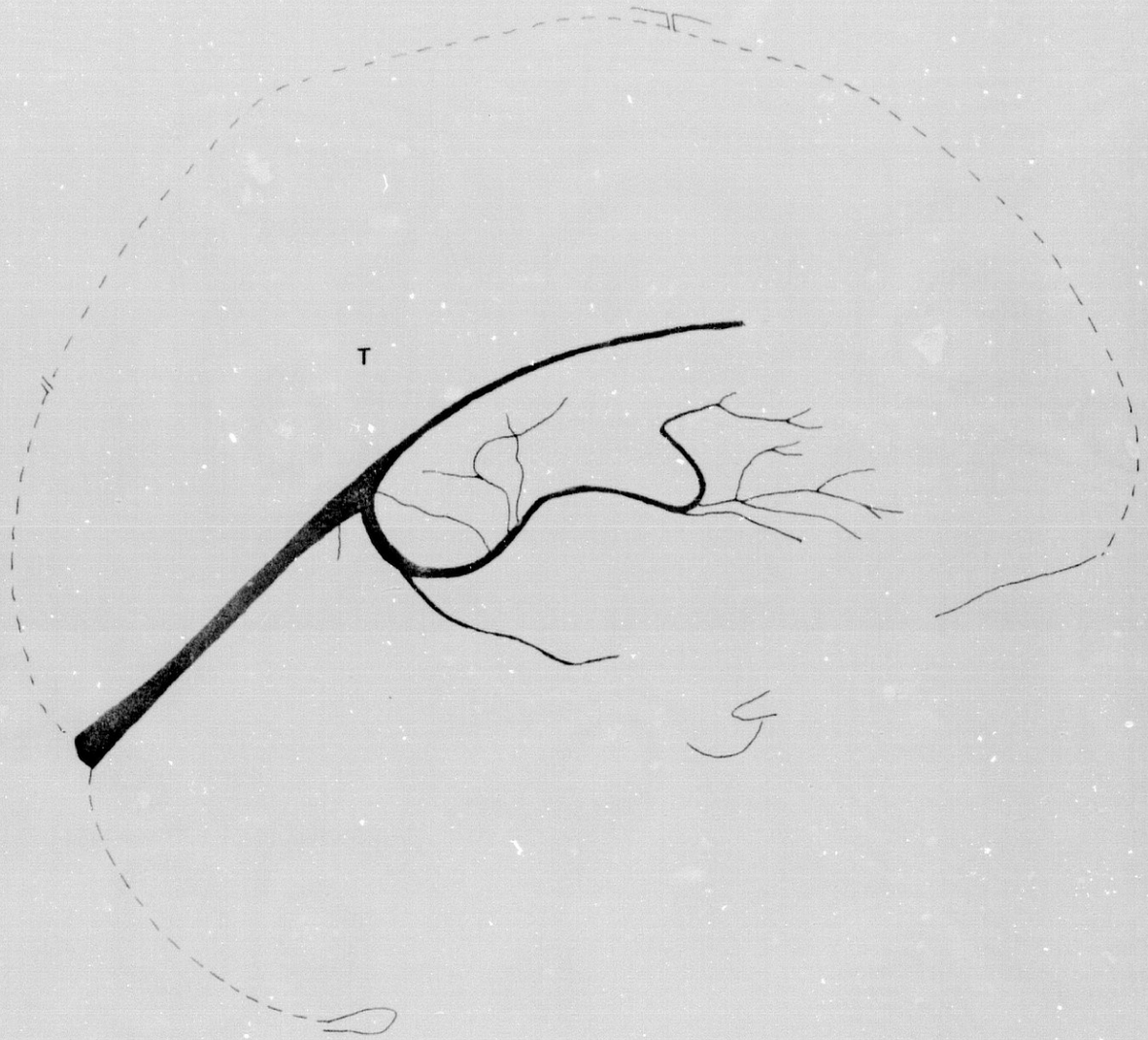

FIG. 330

FIG. 331

S E R I E: Patológica

- Masa supraaxial posterior lateral
- (Retrosilviana superior)

Caso nº P-79 (H-129)

Reseña personal: J.A.P. Varón. 49 años.

Reseña clínica: Glioblastoma temporoparietooccipital derecho.

.....

FLEBOGRAMA LATERAL

Parámetros del ángulo venoso

- Método de Laine.....:	H: 8;	V: 19	
- Método de Fischer.....:	H: -12;	V: 0	
- Bisectriz de Fischer.....:	B: 21,5º;	M: 17º;	D: -4,5º
- Método de Newton.....:	V: -3;	H: 9,5	
Ang. Tubérculo-Inion-Monro.:	17º		
Ang. Monro-Inion-Bregma....:	26º		
Ang. Tubérculo-Lambda-Monro:	12,5º		
Ang. Monro-Glabela-Bregma..:	41º		
Ang. Monro-Bregma-Tubérculo:	6º		
Ang. Monro-Tubérculo-Inion.:	75º		
Ang. Apex-Tubérculo-Monro..:	37º		
Ang. Monro-Apex-Bregma.....:	58º		
Lín. fleboaxial-Monro.....:	-2		

FLEBOGRAMA LATERAL

Parámetros de la v. cerebral interna

- Método de Potts y Taveras: A-B: 42; b: 7; c: 1; d: -2
- Método de Shah-Kendall...: A: 30,9; B: 36,4; C: 28,6
- Método de Babin y cols...: c: 55º; b: 46º

Cociente de giro sagital.: 111

Arco venoso profundo.....: 7

Proyecciones de la v. basal

Eje incisural-vena basal.: A: 11,5; B: -6,5; C: -18; D: -14,5

FLEBOGRAMA FRONTAL

- Angulo venoso-Línea media.: 10
- Talamoestriada-Línea media: 10

Referencias angiográficas complementarias

- Arteriograma frontal: no se aprecian alteraciones significativas.

- Arteriograma lateral: notable separación de las ramas terminales de la arteria cerebral media. Imagen de vascularidad patológica en una amplia área retroatrial.

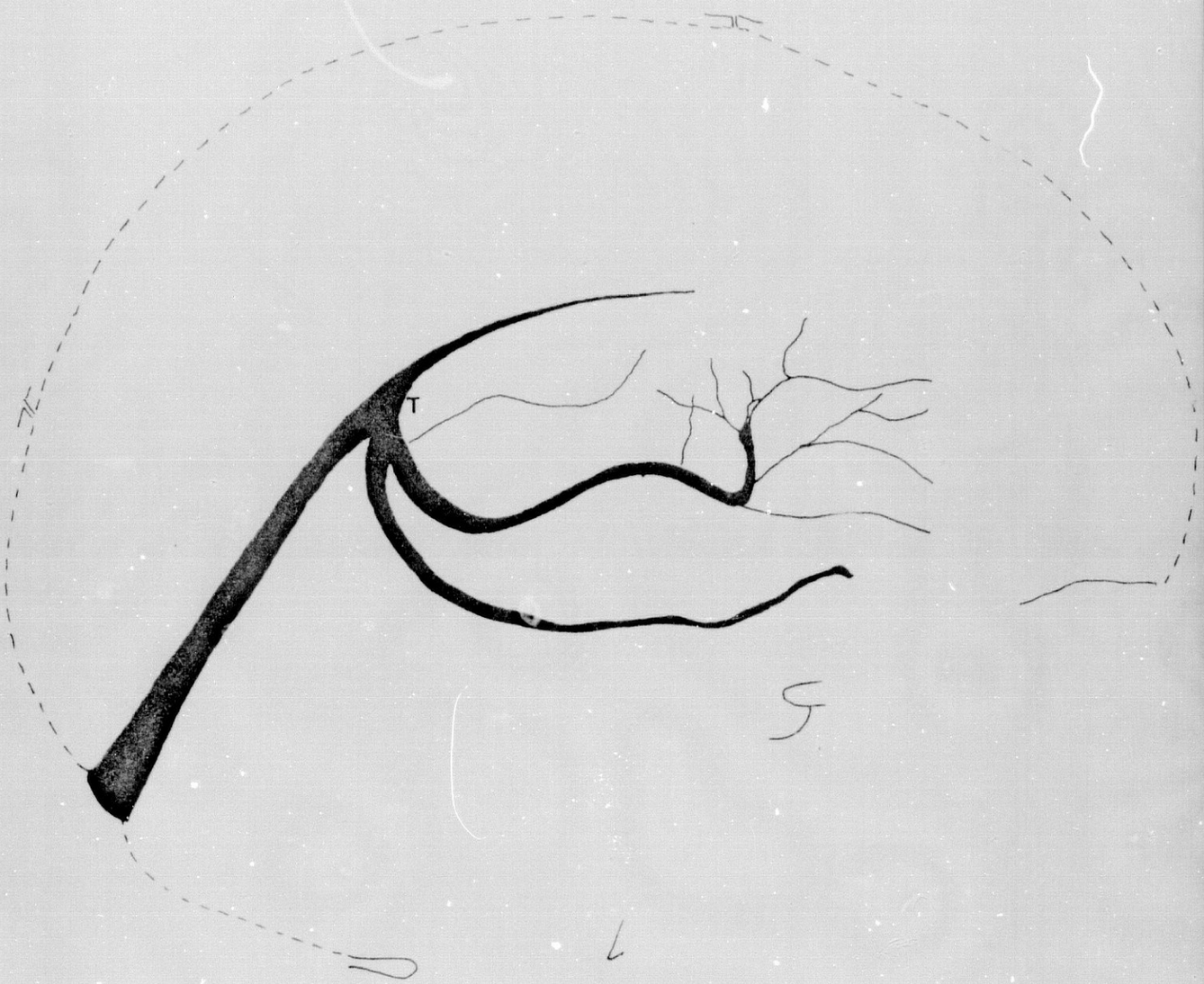

FIG. 332

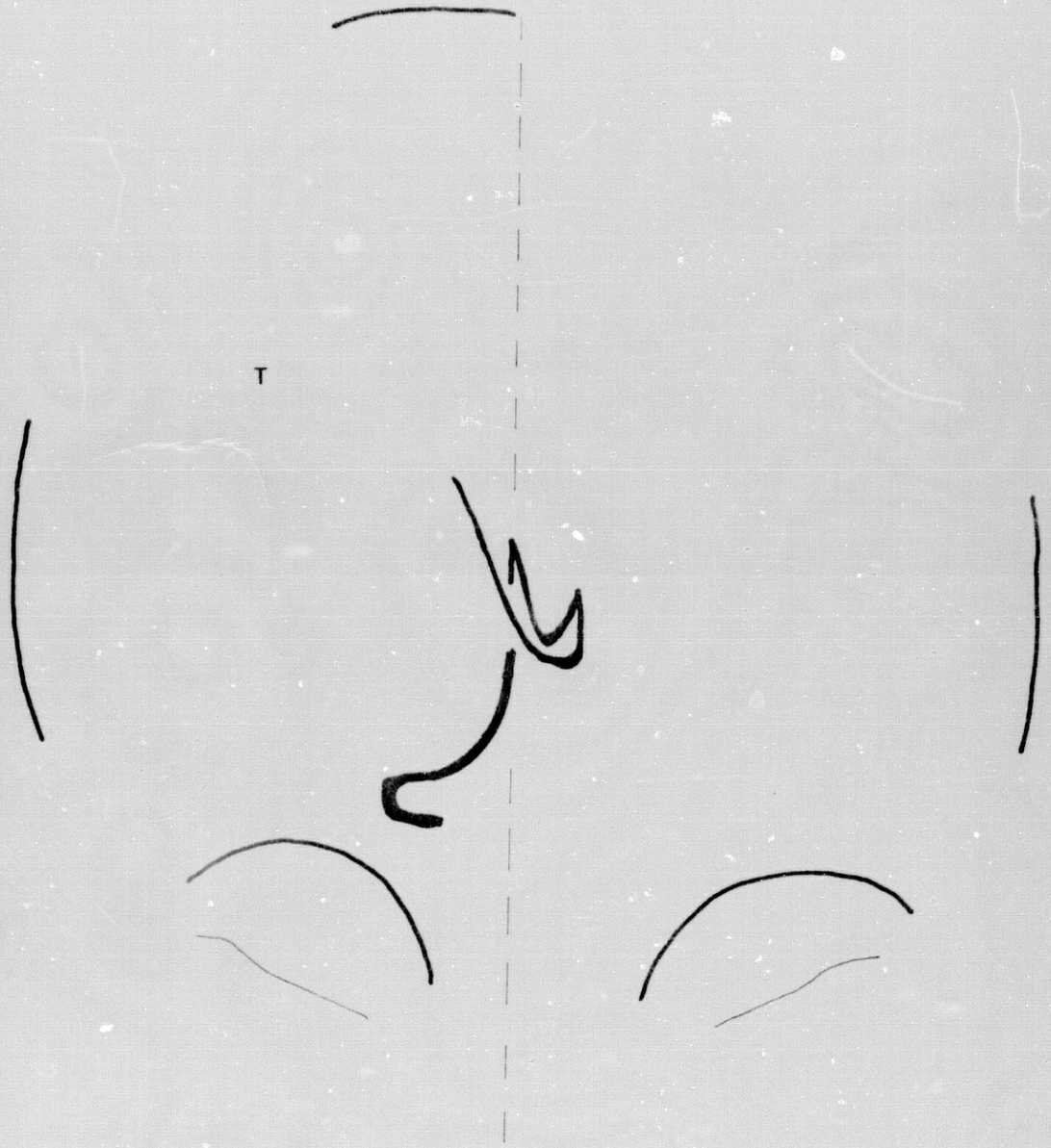

FIG. 333

S E R I E: Patológica

- Masa supraaxial posterior lateral
- (Suprasilviana posterior)

Caso nº P-80 (H-131)

Reseña personal: J.B.Z. Varón. 58 años.

Reseña clínica: Astrocitoma parietal posterior izquierdo.

.....

FLEBOGRAMA LATERAL

Parámetros del ángulo venoso

- Método de Laine.....:	H: 18;	V: 23	
- Método de Fischer.....:	H: -8;	V: 10	
- Bisectriz de Fischer.....:	B: 19,5º;	M: 23º;	D: 4º
- Método de Newton.....:	V: 5;	H: 1	
Ang. Tubérculo-Inion-Monro.:	23,5º		
Ang. Monro-Inion-Bregma....:	15,5º		
Ang. Tubérculo-Lambda-Monro:	17º		
Ang. Monro-Glabela-Bregma..:	37,5º		
Ang. Monro-Bregma-Tubérculo:	20º		
Ang. Monro-Tubérculo-Inion.:	66º		
Ang. Apex-Tubérculo-Monro..:	30º		
Ang. Monro-Apex-Bregma.....:	41,5º		
Lín. fleboaxial-Monro.....:	8		

FLEBOGRAMA LATERAL

Parámetros de la v. cerebral interna

- Método de Potts y Taveras: Inviable (rectificación total de la v.c.i.)
- Método de Shah-Kendall...: A: 36,7; B: 35,9; C: 28,4
- Método de Babin y cols...: c: 57,5º; b: 44º

Cociente de giro sagital.: 77

Arco venoso profundo.....: 3,2

Proyecciones de la v. basal

Eje incisural-vena basal.: A: -; B: -6; C: -12; D: -

FLEBOGRAMA FRONTAL

- Angulo venoso-Línea media.: 10
- Talamoestriada-Línea media: 14

Referencias angiográficas complementarias

- Arteriograma frontal: desviación cuadrada de la arteria cerebral anterior.

- Arteriograma lateral: trazado tortuoso e irregular de las ramas opercula-- res parietales de la arteria silviana. Depresión de la porción posterior del triángulo silviano.

FIG. 334

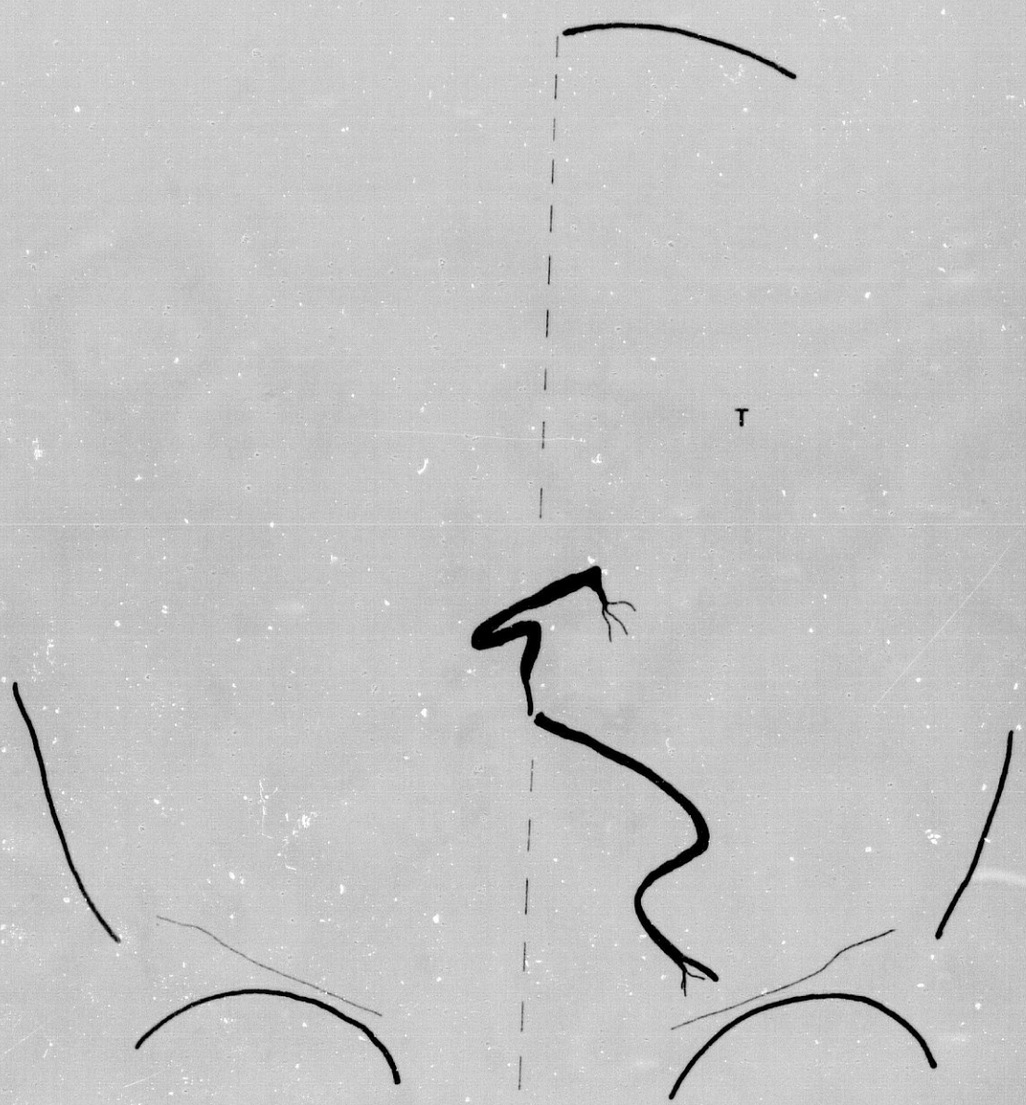

FIG. 335

S E R I E: Patológica

- Masa supraaxial posterior lateral
- (Retrosilviana superior)

Caso nº P-81 (H-145)

Reseña personal: JL.A.A. Varón. 25 años.

Reseña clínica: Ependimoma parietotemporooccipital izquierdo.

.....

FLEBOGRAMA LATERAL

Parámetros del ángulo venoso

- Método de Laine.....: H: 12; V: 25
- Método de Fischer.....: H: 4,5; V: 2
- Bisectriz de Fischer.....: B: 20,7º; M: 20º; D: -0,7º
- Método de Newton.....: V: 0; H: 7

Ang. Tubérculo-Inion-Monro.: 20º
Ang. Monro-Inion-Bregma....: 21,5º
Ang. Tubérculo-Lambda-Monro: 13º
Ang. Monro-Glabela-Bregma..: 42º
Ang. Monro-Bregma-Tubérculo: 11º
Ang. Monro-Tubérculo-Inion.: 72º
Ang. Apex-Tubérculo-Monro..: 39,5º
Ang. Monro-Apex-Bregma.....: 47º
Lín. fleboaxial-Monro.....: 8

FLEBOGRAMA LATERAL

Parámetros de la v. cerebral interna

- Método de Potts y Taveras: A-B: 38; b: 8,5; c: 1,5 d: 0
- Método de Shah-Kendall...: A: 33,4; B: 36,7; C: 24,4
- Método de Babin y cols...: c: 65,5º; b: 46,5º

Cociente de giro sagital.: 103

Arco venoso profundo.....: 5,5

Proyecciones de la v. basal

Eje incisural-vena basal.: A: -; B: -9,5; C: -8,5; D: -

FLEBOGRAMA FRONTAL

- Angulo venoso-Línea media.: 4
- Talamoestriada-Línea media: 13

Referencias angiográficas complementarias

- Arteriograma frontal: muesca de desviación bastante distal de la arteria cerebral anterior.

- Arteriograma lateral: depresión de las ramas parietal y angular de la arteria cerebral media, con arqueamiento de concavidad posterior de las ramas operculares parietales. Posible depresión de la arteria cerebral posterior.

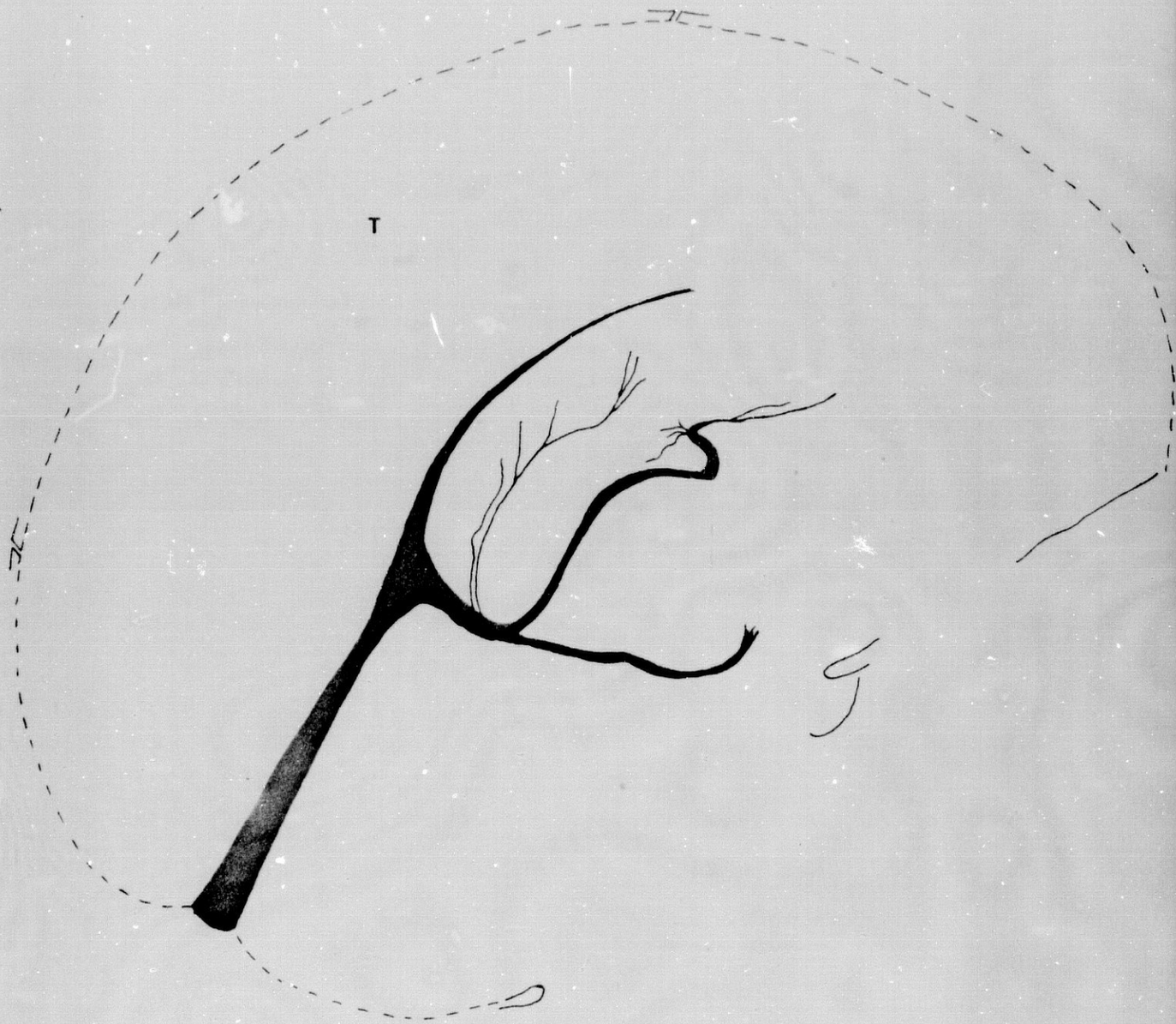

FIG. 336

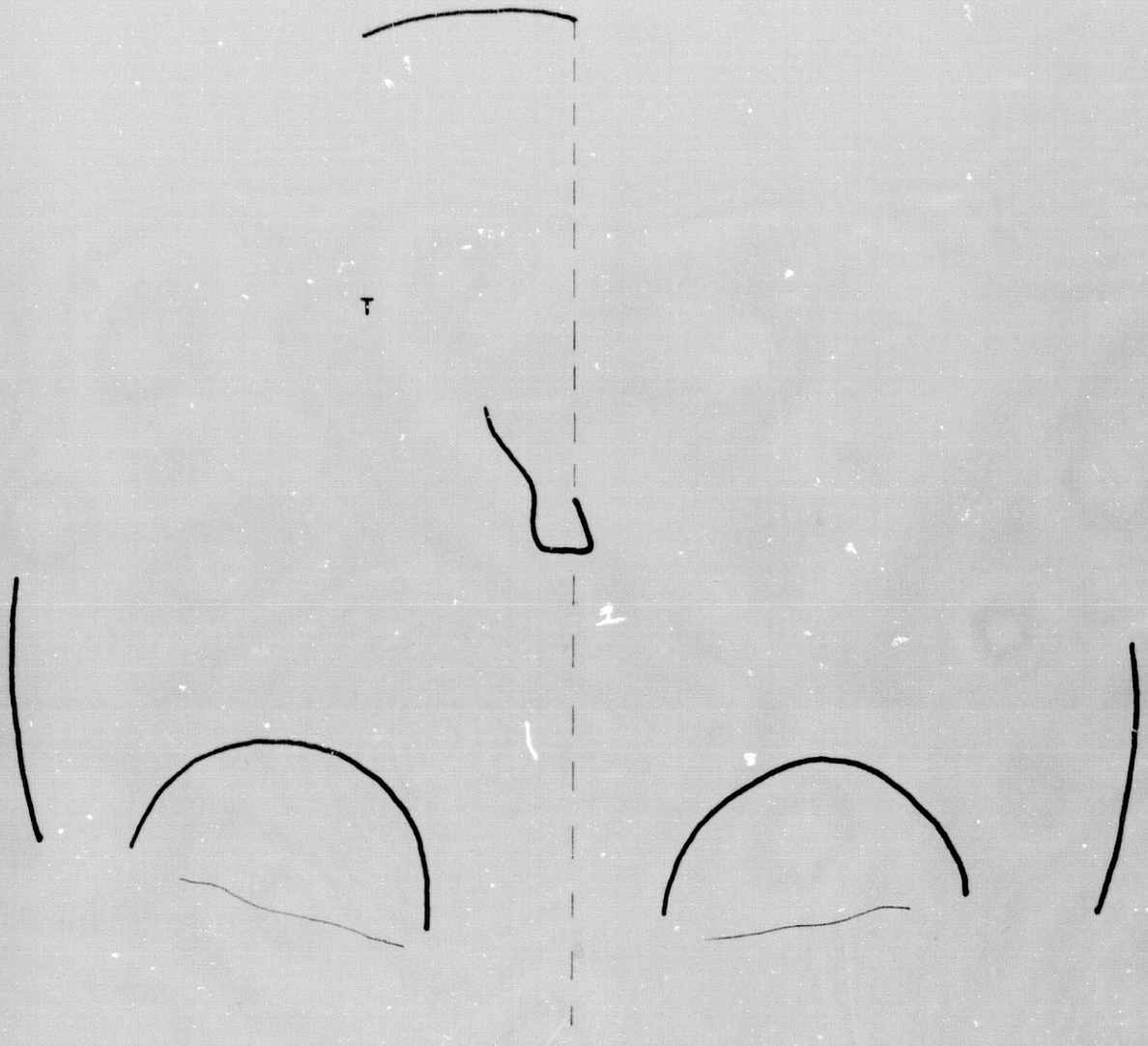

FIG. 337

S E R I E: Patológica

- Masa supraaxial posterior lateral
- (Supraslviana posterior)

Caso nº P-82 (H-179)

Reseña personal: L.M.G. Mujer. 73 años.

Reseña clínica: Hematoma intraparenquimatoso.

.....

FLEBOGRAMA LATERAL

Parámetros del ángulo venoso

- Método de Laine.....:	H: 15;	V: 19	
- Método de Fischer.....:	H: -4;	V: 6,5	
- Bisectriz de Fischer.....:	B: 19,3º;	M: 16º;	D: -3,3º
- Método de Newton.....:	V:1;	H: 5,5	
Ang. Tubérculo-Inion-Monro.:	16º		
Ang. Monro-Inion-Bregma....:	22,7º		
Ang. Tubérculo-Lambda-Monro:	11º		
Ang. Monro-Glabela-Bregma..:	44,5º		
Ang. Monro-Bregma-Tubérculo:	13,5º		
Ang. Monro-Tubérculo-Inion.:	63º		
Ang. Apex-Tubérculo-Monro..:	40,5º		
Ang. Monro-Apex-Bregma.....:	45,5º		
Lín. fleboaxial-Monro.....:	2		

FLEBOGRAMA LATERAL

Parámetros de la v. cerebral interna

- Método de Potts y Taveras: A-B: 35; b: 3; c: 1; d: -1
- Método de Shah-Kendall...: A: 30,7 B: 32,3; C: 22
- Método de Babin y cols...: c: 46,5º; b: 36º

Cociente de giro sagital.: 136

Arco venoso profundo.....: 6,5

Proyecciones de la v. basal

Eje incisural-vena basal.: Inviable (la v. basal no es anastomótica)

FLEBOGRAMA FRONTAL

- Angulo venoso-Línea media.: 10
- Talamoestriada-Línea media: 12,5

Referencias angiográficas complementarias

- Arteriograma frontal: ligera desviación de la arteria cerebral anterior. Efecto de "agujero" en el cerebro (zona avascular) que se proyecta aproximadamente en la región media del hemisferio izquierdo.

- Arteriograma lateral: depresión de la porción final de la arteria pericallosa y de las arterias angular y coroidea anterior.

FIG. 338

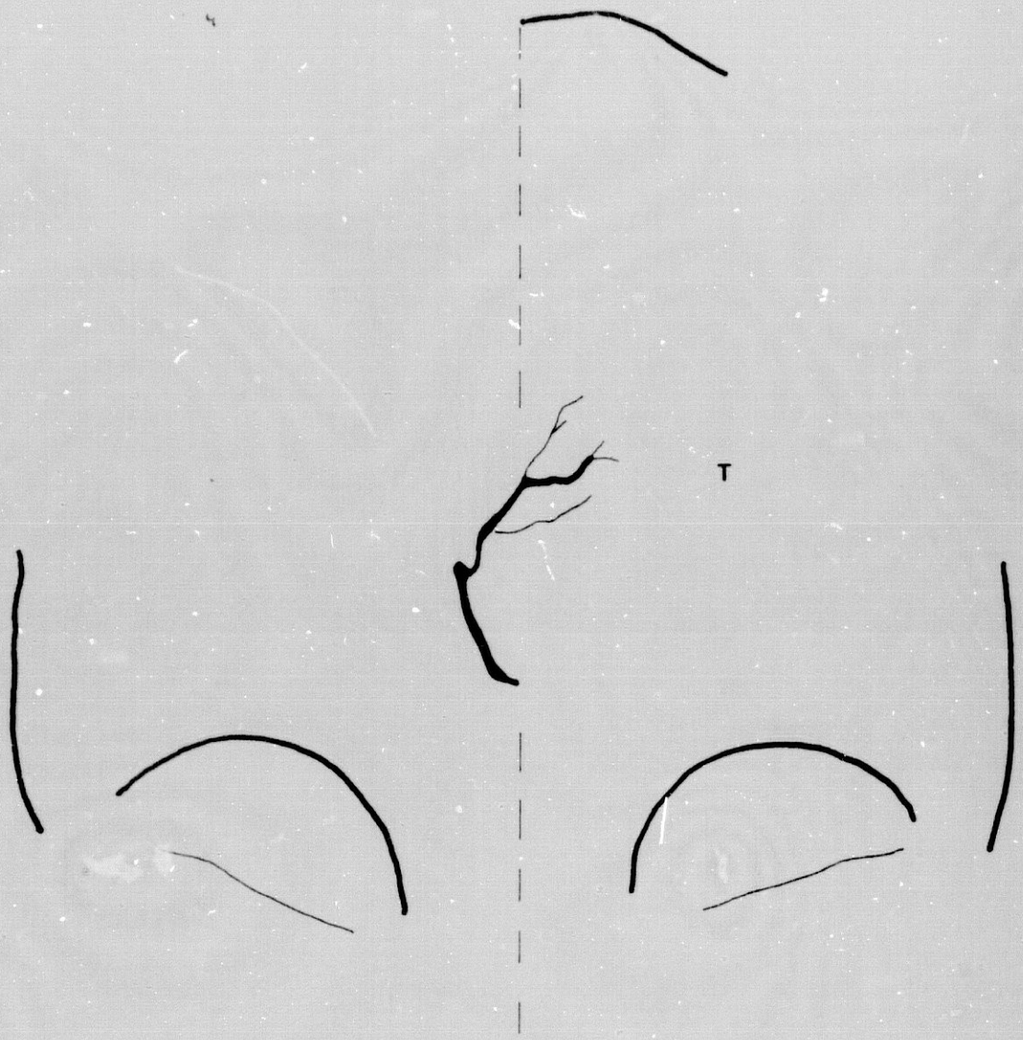

FIG. 339

S E R I E: Patológica

- Masa supraaxial posterior lateral
- (Suprasilviana posterior)

Caso nº P-83 (H-206)

Reseña personal: M.H.R. Mujer. 60 años.

Reseña clínica: Glioblastoma multiforme parietal posterior izquierdo.

.....

FLEBOGRAMA LATERAL

Parámetros del ángulo venoso

- Método de Laine.....:	H: 20;	V: 18	
- Método de Fischer.....:	H: -2;	V: 0	
- Bisectriz de Fischer.....:	B: 20º;	M: 20º;	D: 0º
- Método de Newton.....:	V: 2;	H: 5	
Ang. Tubérculo-Inion-Monro.:	20º		
Ang. Monro-Inion-Bregma....:	20º		
Ang. Tubérculo-Lambda-Monro:	11,5º		
Ang. Monro-Glabela-Bregma..:	44,5º		
Ang. Monro-Bregma-Tubérculo:	17,8º		
Ang. Monro-Tubérculo-Inion.:	59º		
Ang. Apex-Tubérculo-Monro..:	28º		
Ang. Monro-Apex-Bregma.....:	44º		
Lín. fleboaxial-Monro.....:	5		

FLEBOGRAMA LATERAL

Parámetros de la v. cerebral interna

- Método de Potts y Taveras: A-B: 37; b: 3,5; c: -0,2; d: -0,2
- Método de Shah-Kendall...: A: 32,2; B: 33,5; C: 24,2
- Método de Babin y cols...: c: 47º; b: 37,5º

Cociente de giro sagital.: 86

Arco venoso profundo.....: 7

Proyecciones de la v. basal

Eje incisural-vena basal.: A: 6; B: 1; C: -9; D: -

FLEBOGRAMA FRONTAL

- Angulo venoso-Línea media.: 1
- Talamoestriada-Línea media: 22,5

Referencias angiográficas complementarias

- Arteriograma frontal: ligerísima desviación proximal de la arteria cerebral anterior y signo de la "V" a nivel del segmento medio de la arteria pericallosa. Desplazamiento lateral e inferior de las arterias coroidea anterior y lenticuloestriadas.

- Arteriograma lateral: depresión de la porción más posterior del triángulo silviano.

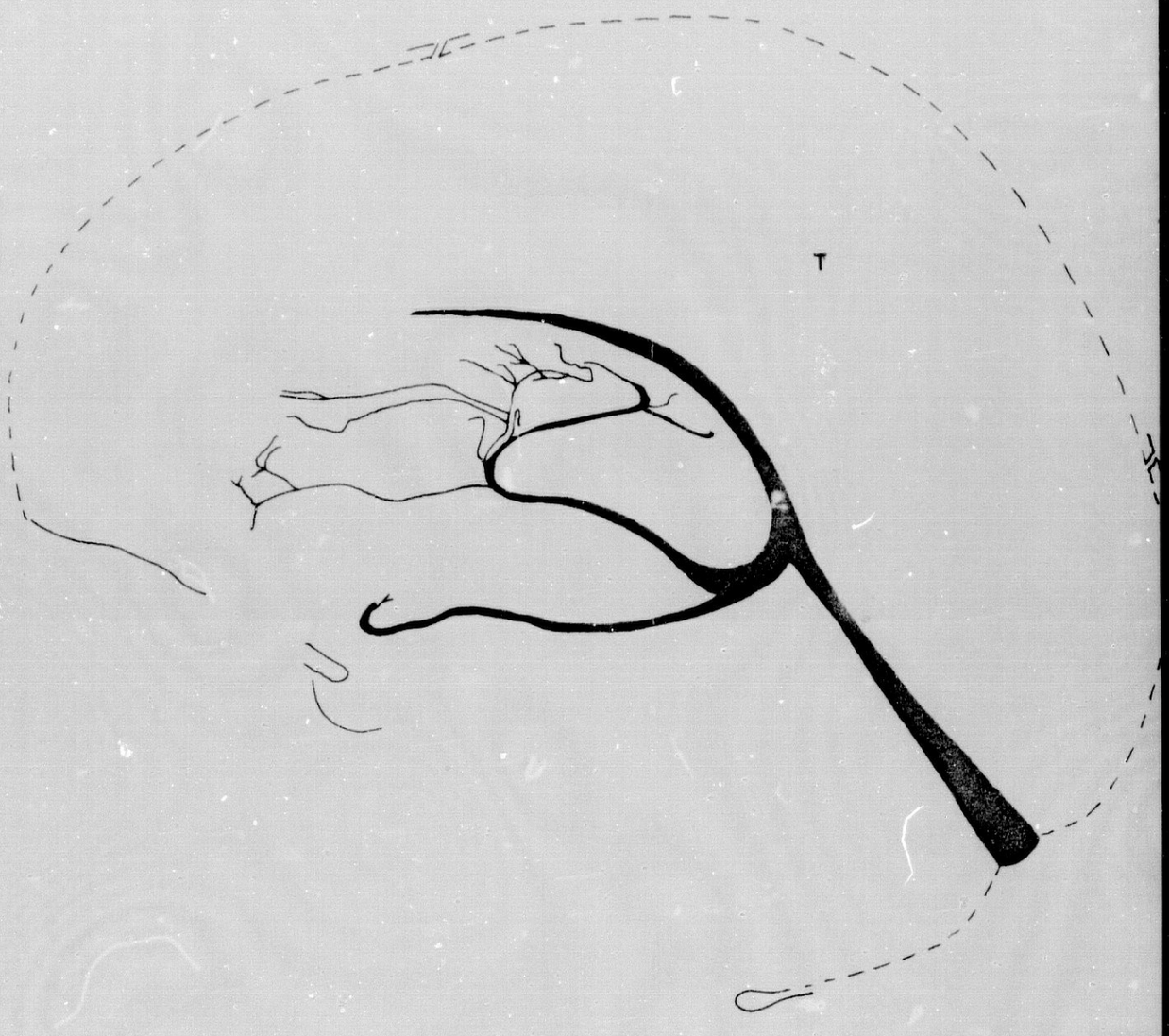

FIG. 340

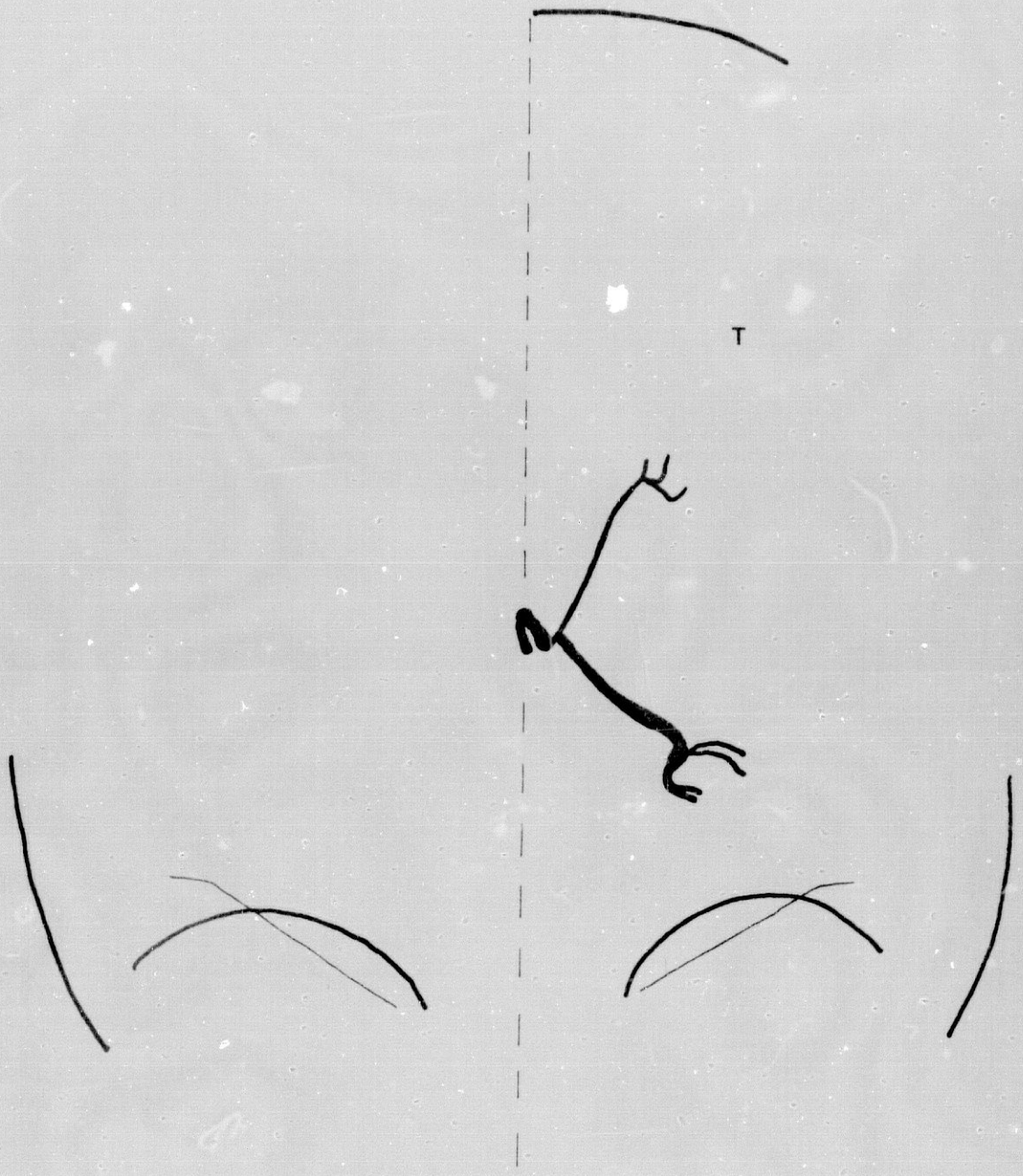

FIG. 341

S E R I E: Patológica

- Masa supraaxial posterior
- (Retrosilviana superior)

Caso nº P-84 (H-271)

Reseña personal: J.C.L. Varón. 25 años.

Reseña clínica: Tumor parietal posterior derecho. El pacien tervenido: no pudo determinarse la naturale tumor.

.....

FLEBOGRAMA LATERAL

Parámetros del ángulo venoso

- Método de Laine.....:	H: 9,5;	V: 22
- Método de Fischer.....:	H: 0;	V: 2
- Bisectriz de Fischer.....:	B: 18,2º;	M: 17,5º; D: -
- Método de Newton.....:	V: -3;	H: -3
Ang. Tubérculo-Inion-Monro.:	17,5º	
Ang. Monro-Inion-Bregma....:	19º	
Ang. Tubérculo-Lambda-Monro:	13,5º	
Ang. Monro-Glabela-Bregma..:	51,5º	
Ang. Monro-Bregma-Tubérculo:	12º	
Ang. Monro-Tubérculo-Inion.:	71º	
Ang. Apex-Tubérculo-Monro..:	34,5º	
Ang. Monro-Apex-Bregma.....:	46,5º	
Lín. fleboaxial-Monro.....:	-2	

FLEBOGRAMA LATERAL

rámetros de la v. cerebral interna

Método de Potts y Taveras:	A-B: 48;	b: 5,5;	c: 2,5;	d: 1
Método de Shah-Kendall...:	A: 31,7;	B: 38,9;	C: 33,7	
Método de Babin y cols...:	c: 56º;	b: 56º		
Cociente de giro sagital.:	98			
Arco venoso profundo.....:	5,5			

oyecciones de la v. basal

Eje incisural-vena basal.:	A: -;	B: -;	C: -4;	D: -3

FLEBOGRAMA FRONTAL

Angulo venoso-Línea media.:	5
Talamoestriada-Línea media:	17

Referencias angiográficas complementarias

- Arteriograma frontal: leve desplazamiento lateral de los últimos vasos silvianos.

- Arteriograma lateral: ligera elevación de las ramas parietooccipitales de las arterias silvianas.

FIG. 342

FIG. 343

S E R I E: Patológica

- Masa supraaxial posterior lateral
- (Retrosilviana superior)

Caso nº P-85 (H-276)

Reseña personal: A.Q.S. Mujer. 59 años.

Reseña clínica: Tumor parietal posterior derecho. La paciente no fue intervenida: se desconoce la naturaleza exacta del tumor.

.....

FLEBOGRAMA LATERAL

Parámetros del ángulo venoso

- Método de Laine.....: H: 10; V: 18
- Método de Fischer.....: H: 7,5; V: -1
- Bisectriz de Fischer.....: B: 21º; M: 17º; D: 4º
- Método de Newton.....: V: -3; H: 6

Ang. Tubérculo-Inion-Monro.: 17º
Ang. Monro-Inion-Bregma....: 25º
Ang. Tubérculo-Lambda-Monro: 14º
Ang. Monro-Glabela-Bregma..: 49º
Ang. Monro-Bregma-Tubérculo: 8,5º
Ang. Monro-Tubérculo-Inion.: 72º
Ang. Apex-Tubérculo-Monro..: 34º
Ang. Monro-Apex-Bregma.....: 58,5º
Lín. fleboaxial-Monro.....: -5,5

FLEBOGRAMA LATERAL

Parámetros de la v. cerebral interna

- Método de Potts y Taveras: A-B: 41; b: 4,5; c: 0; d: -0,2
- Método de Shah-Kendall...: A: 30; B: 35; C: 29,1
- Método de Babin y cols...: c: 46º; b: 45º

Cociente de giro sagital.: 106

Arco venoso profundo.....: 4,5

Proyecciones de la v. basal

Eje incisural-vena basal.: Inviable (la v. basal no es anastomótica)

FLEBOGRAMA FRONTAL

- Angulo venoso-Línea media.: -
- Talamoestriada-Línea media: -

Referencias angiográficas complementarias

- No se computan, por dudosos, los datos del flebograma frontal.

- Arteriograma frontal: trazo anómalo de la arteria callosomarginal a nivel de la convexidad superior del cerebro.

- Arteriograma lateral: acaso excesiva elevación de la rama superficial de la arteria angular.

FIG. 344

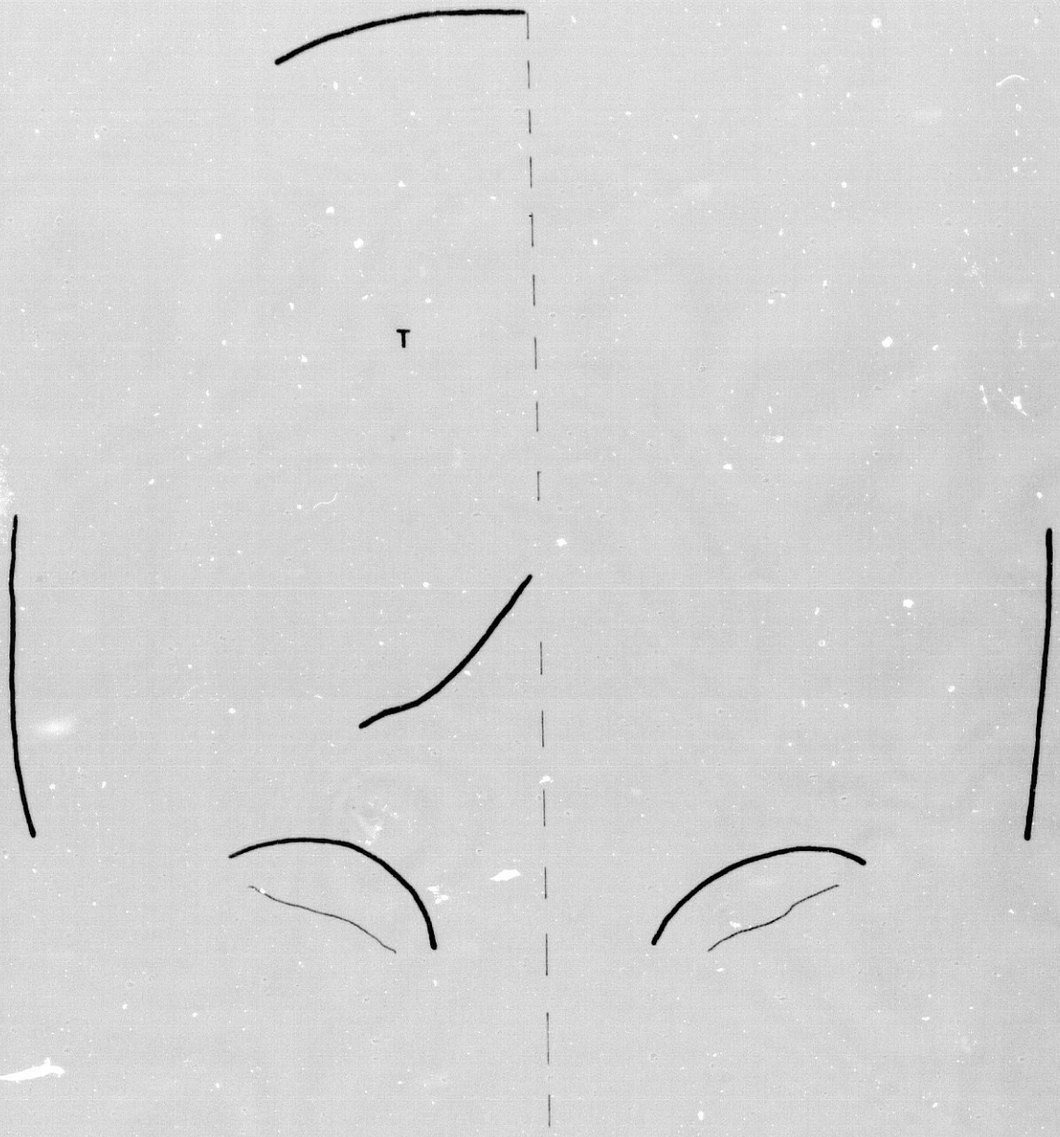

FIG. 345

Tumores paraaxiales anteriores laterales

S E R I E: Patológica

- Masa paraaxial anterior lateral
- (Presilviana)

Caso nº P-86 (H-50)

Reseña personal: C.B.H. Varón. 44 años.

Reseña clínica: Glioblastoma multiforme frontal posterior derecho

.....

FLEBOGRAMA LATERAL

Parámetros del ángulo venoso

- Método de Laine.....: H: 26; V: 14
- Método de Fischer.....: H: 10,5; V: -3
- Bisectriz de Fischer.....: B: 19,5º; M: 21,5º; D: 2º
- Método de Newton.....: V: -2; H: -10;

Ang. Tubérculo-Inion-Monro.: 21,5º
Ang. Monro-Inion-Bregma....: 17,5º
Ang. Tubérculo-Lambda-Monro: 10º
Ang. Monro-Glabela-Bregma..: 47º
Ang. Monro-Bregma-Tubérculo: 23,5º
Ang. Monro-Tubérculo-Inion.: 52º
Ang. Apex-Tubérculo-Monro..: 19,5º
Ang. Monro-Apex-Bregma.....: 48º
Lín. fleboaxial-Monro.....: -0,5

FLEBOGRAMA LATERAL

Parámetros de la v. cerebral interna

- Método de Potts y Taveras: A-B: 28; b: 3; c: 0,2; d: 0,2
- Método de Shah-Kendall...: A: 31; B: 33,5; C: 24,3
- Método de Babin y cols...: c: 53º; b: 36,5º

Cociente de giro sagital.: Inviable (no se opacifica el SSI)

Arco venoso profundo.....: 8,5

Proyecciones de la v. basal

Eje incisural-vena basal.: A: -; B: -4; C: -10,5; D: -

FLEBOGRAMA FRONTAL

- Angulo venoso-Línea media.: 8,5
- Talamoestriada-Línea media: 14

Referencias angiográficas complementarias

- Arteriograma frontal: desviación distal de la arteria cerebral anterior. Gran desplazamiento lateral de los vasos silvianos anteriores. Gran proliferación de vasos patológicos.

- Arteriograma lateral: estiramiento del complejo cerebral anterior. Notable proliferación de vasos patológicos en el área frontal.

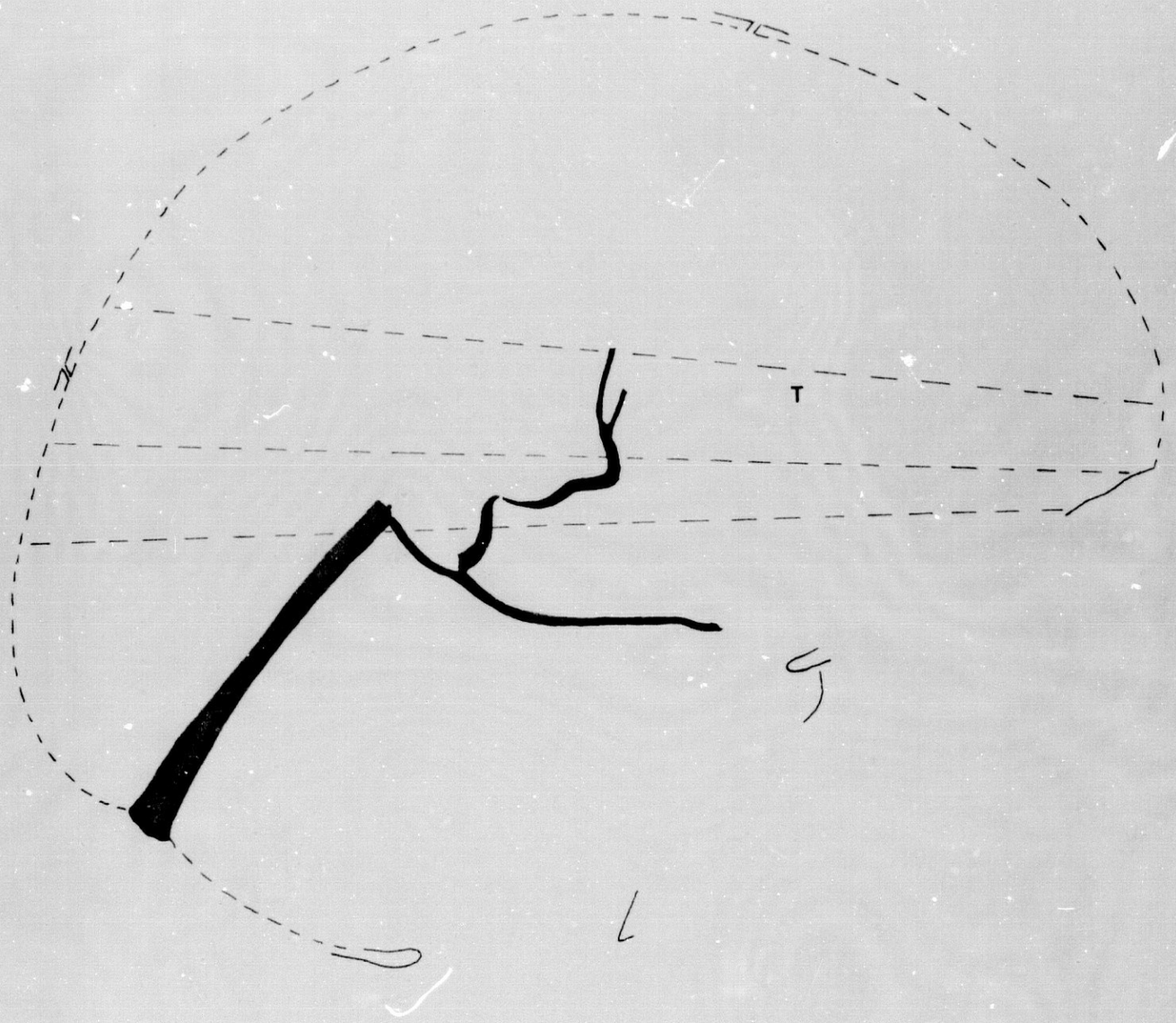

FIG. 351

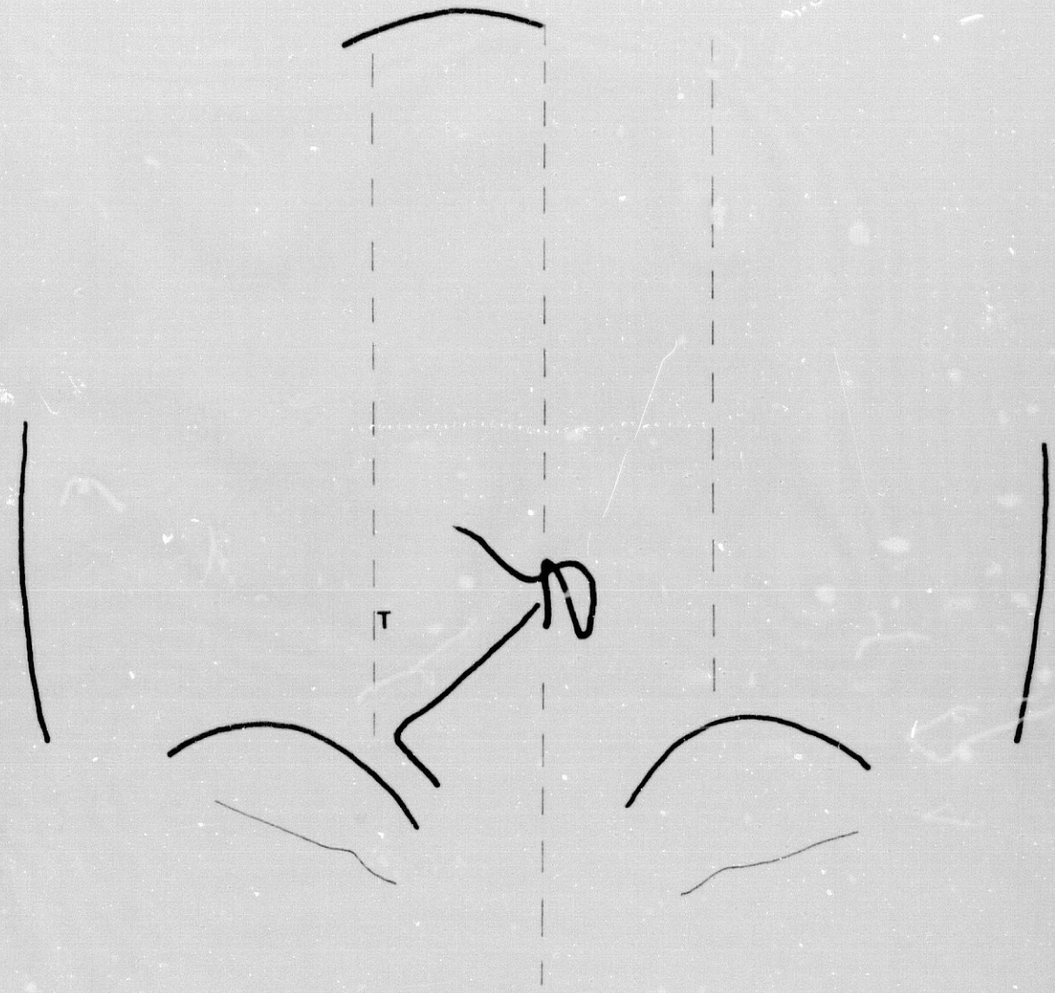

FIG. 352

S E R I E: Patológica

- Masa paraaxial anterior lateral
- (Presilviana inferior)

Caso nº P-87(H-81)

Reseña personal: E.E.P. Varón. 42 años.

Reseña clínica: Glioblastoma frontal derecho.

.....

FLEBOGRAMA LATERAL

Parámetros del ángulo venoso

- Método de Laine.....:	H: 36;	V: 7
- Método de Fischer.....:	H: 5;	V: 4,5
- Bisectriz de Fischer.....:	B: 20,2º;	M: 18,5º; D: -1,7º
- Método de Newton.....:	V: 4;	H: 2,5
Ang. Tubérculo-Inion-Monro.:	18,5º	
Ang. Monro-Inion-Bregma....:	12º	
Ang. Tubérculo-Lambda-Monro:	7,5º	
Ang. Monro-Glabela-Bregma..:	46º	
Ang. Monro-Bregma-Tubérculo:	27º	
Ang. Monro-Tubérculo-Inion.:	40,5º	
Ang. Apex-Tubérculo-Monro..:	6,5º	
Ang. Monro-Apex-Bregma.....:	65,5º	
Lín. fleboaxial-Monro.....:	-6,5	

FLEBOGRAMA LATERAL

Parámetros de la v. cerebral interna

- Método de Potts y Taveras: A-B: 26; b: 5,5; c: -0,5; d: 0,2
- Método de Shah-Kendall...: A: 27,7; B: 33,8; C: 24,7
- Método de Babin y cols...: c: 38,5º; b: 30º

Cociente de giro sagital.: Inviable (no se opacificó el SSI)

Arco venoso profundo.....: 3

Proyecciones de la v. basal

Eje incisural-vena basal.: A: -; B: -14,5; C: -18; D: -

FLEBOGRAMA FRONTAL

- Angulo venoso-Línea media.: -
- Talamoestriada-Línea media: -

Referencias angiográficas complementarias

- No se computan, por dudosos, los datos del flebograma frontal.
- Arteriograma frontal: estiramiento y rechazo medial de las arterias lenticuloestriadas y, especialmente, de la coroidea anterior.
- Arteriograma lateral: gran estiramiento de la arteria coroidea anterior. Notable elevación y rechazo posterior de la porción inicial del triángulo silviano.

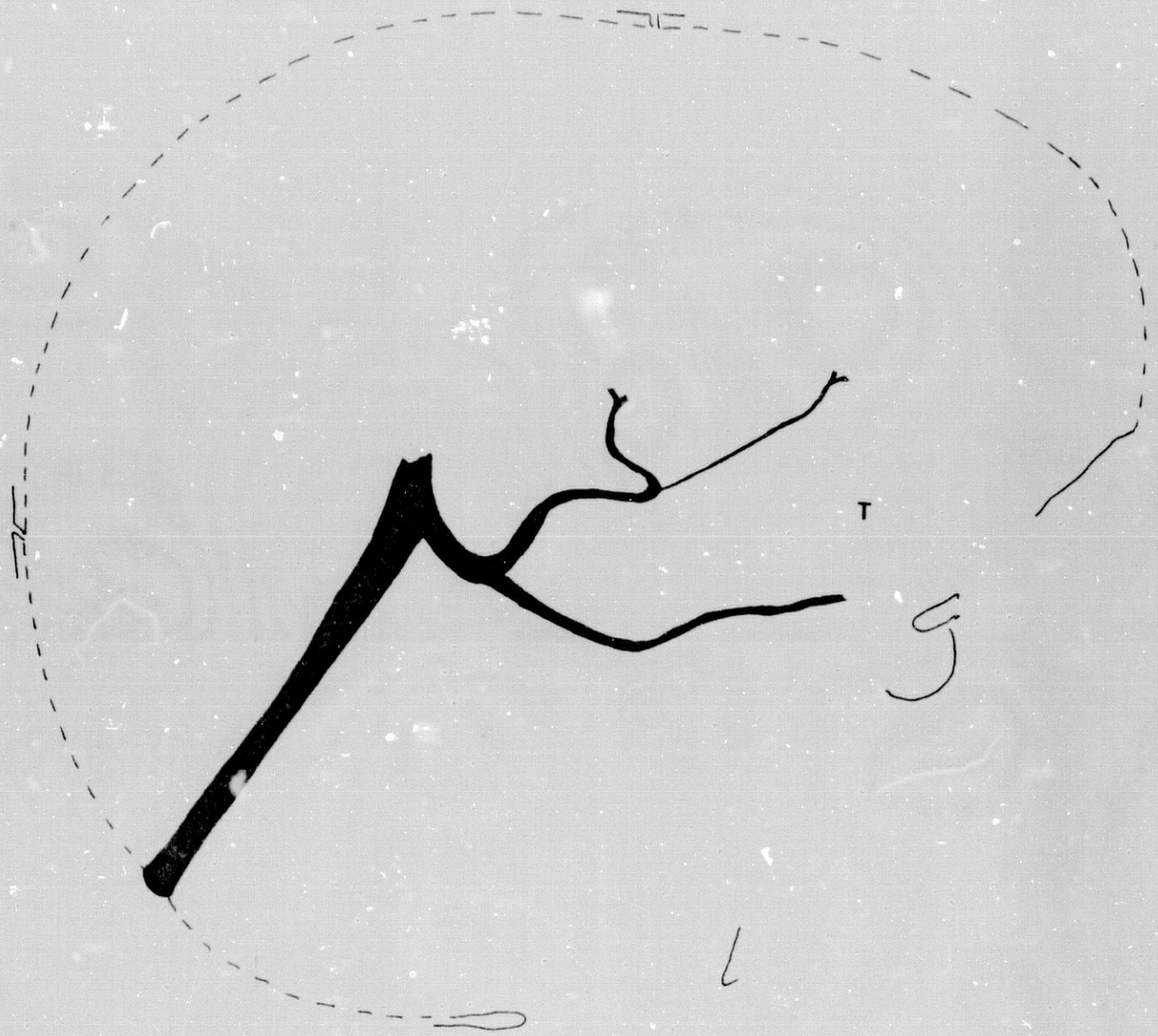

FIG. 353

S E R I E: Patológica

- Masa paraaxial anterior lateral
- (Presilviana)

Caso nº P-88 (H-86)

Reseña personal: E.M.S. Varón. 59 años.

Reseña clínica: Tumor frontal izquierdo. El paciente no fue intervenido: No pudo determinarse la naturaleza exacta del tumor.

.....

FLEBOGRAMA LATERAL

Parámetros del ángulo venoso

- Método de Laine.....:	H: 28;	V: 12	
- Método de Fischer.....:	H: -10;	V: 0	
- Bisectriz de Fischer.....:	B: 20,5º;	M: 24º;	D: 3,5º
- Método de Newton.....:	V: -1;	H:-11;	
Ang. Tubérculo-Inion-Monro.:	24º		
Ang. Monro-Inion-Bregma....:	17º		
Ang. Tubérculo-Lambda-Monro:	10,5º		
Ang. Monro-Glabela-Bregma..:	48,5º		
Ang. Monro-Bregma-Tubérculo:	25,2º		
Ang. Monro-Tubérculo-Inion.:	51º		
Ang. Apex-Tubérculo-Monro..:	14º		
Ang. Monro-Apex-Bregma.....:	54º		
Lín. fleboaxial-Monro.....:	-6		

FLEBOGRAMA LATERAL

Parámetros de la v. cerebral interna

- Método de Potts y Taveras: A-B: 29; b: 5,5; c: 1; d: 0
- Método de Shah-Kendall...: A: 31,4; B: 34,5; C: 24,1
- Método de Babin y cols...: c: 54º; b: 36º

Cociente de giro sagital.: 97

Arco venoso profundo.....: 4,2

Proyecciones de la v. basal

Eje incisural-vena basal.: A: -; B: -7; C: -16,5; D: -

FLEBOGRAMA FRONTAL

- Angulo venoso-Línea media.: 6
- Talamoestriada-Línea media: 22

Referencias angiográficas complementarias

- Arteriograma frontal: desviación redonda de la arteria cerebral anterior.

- Arteriograma lateral: rectificación de la rodilla de la arteria pericallosa. Gran estiramiento de la arteria coroidea anterior. Rechazo posterior de los vasos silvianos anteriores.

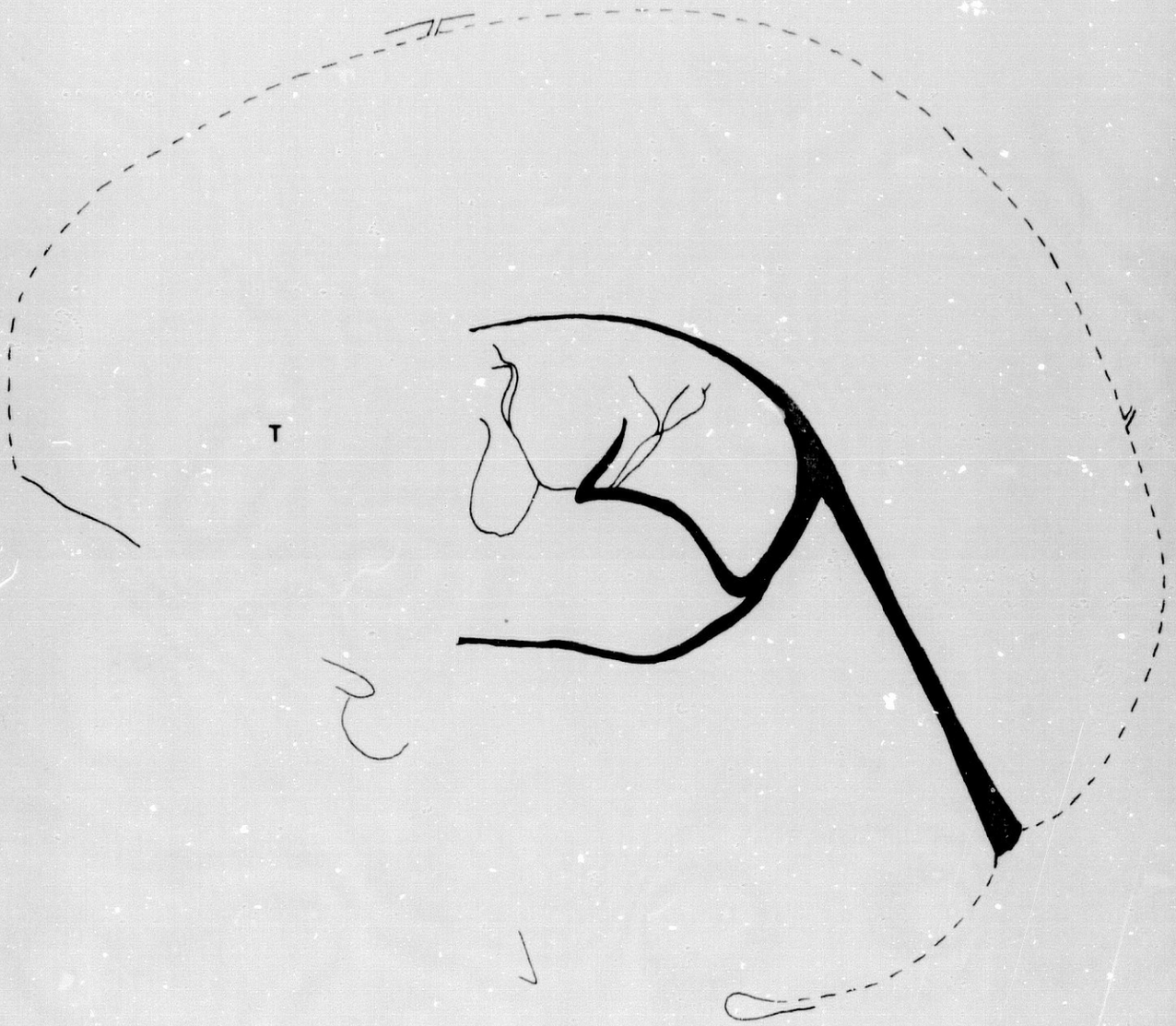

FIG. 354

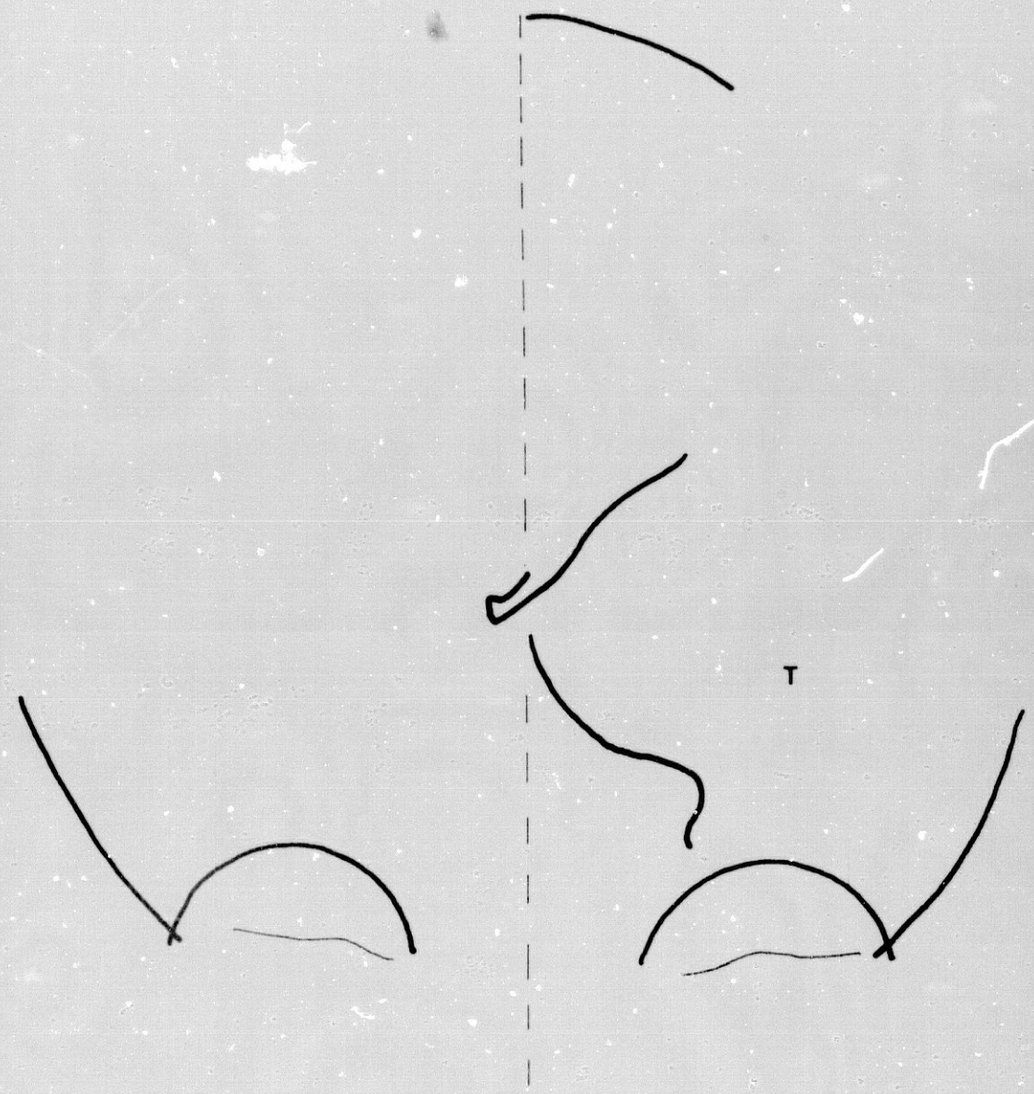

FIG. 355

S E R I E: Patológica

- Masa paraaxial anterior lateral
- (Presilviana subfrontal)

Caso nº P-89(H-102)

Reseña personal: F.M.R. Mujer. 53 años.

Reseña clínica: Meningioma subfrontal izquierdo.

.....

FLEBOGRAMA LATERAL

Parámetros del ángulo venoso

- Método de Laine.....:	H: 17;	V: 15	
- Método de Fischer.....:	H: -2;	V: 1,5	
- Bisectriz de Fischer.....:	B: 18,7º;	M: 18,5º;	D: -0,2º
- Método de Newton.....:	V: 0;	H: 3	
Ang. Tubérculo-Inion-Monro.:	18,5º		
Ang. Monro-Inion-Bregma....:	19º		
Ang. Tubérculo-Lambda-Monro:	18º		
Ang. Monro-Glabela-Bregma..:	38,5º		
Ang. Monro-Bregma-Tubérculo:	16º		
Ang. Monro-Tubérculo-Inion.:	62º		
Ang. Apex-Tubérculo-Monro..:	26º		
Ang. Monro-Apex-Bregma.....:	51º		
Lín. fleboaxial-Monro.....:	3		

FLEBOGRAMA LATERAL

Parámetros de la v. cerebral interna

- Método de Potts y Taveras: A-B: 31; b: 6; c: 1; d: 0,5
- Método de Shah-Kendall...: A: 32,3; B: 37; C: 26
- Método de Babin y cols...: c: 52º; b: 42º

Cociente de giro sagital.: 94

Arco venoso profundo.....: Inviable

Proyecciones de la v. basal

Eje incisural-vena basal.: A: 4,5; B: -3; C: -14; D: -3

FLEBOGRAMA FRONTAL

- Angulo venoso-Línea media.: 9
- Talamoestriada-Línea media: 3

Referencias angiográficas complementarias

- Vena talamoestriada anormalmente corta en el flebograma lateral
- Arteriograma frontal: la substancia de contraste opacifica una gran masa redondeada que invade la parte media de la fosa anterior, con extensión medial. Acusada desviación redonda de la arteria cerebral anterior. Notable desplazamiento lateral del grupo silviano.
- Arteriograma lateral: tortuoso trayecto del tramo ascendente de la arteria cerebral anterior. Rechazo posterior de los vasos silvianos iniciales, que insinúan herniación transesfenoidal descendente (retroalar).

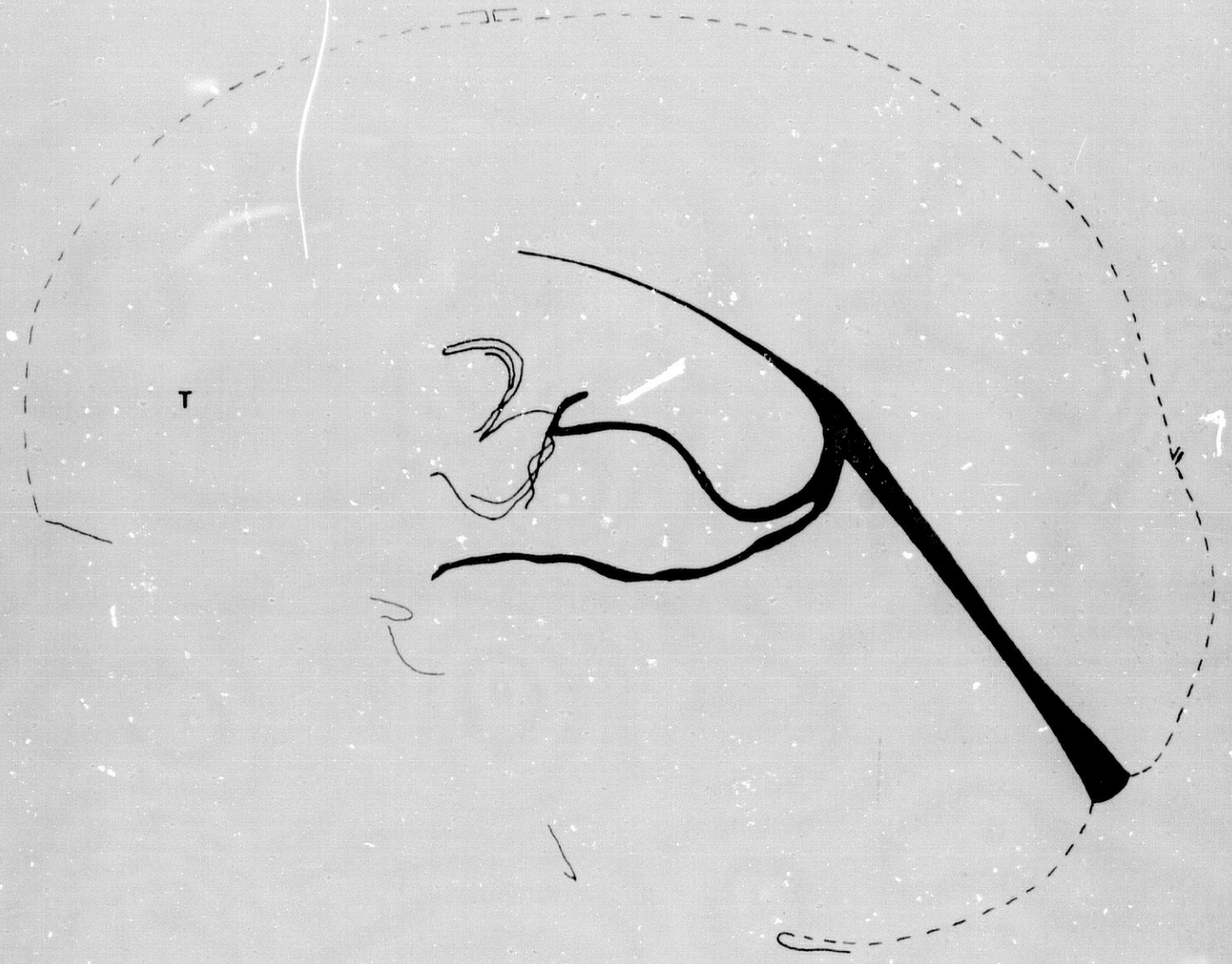

FIG. 356

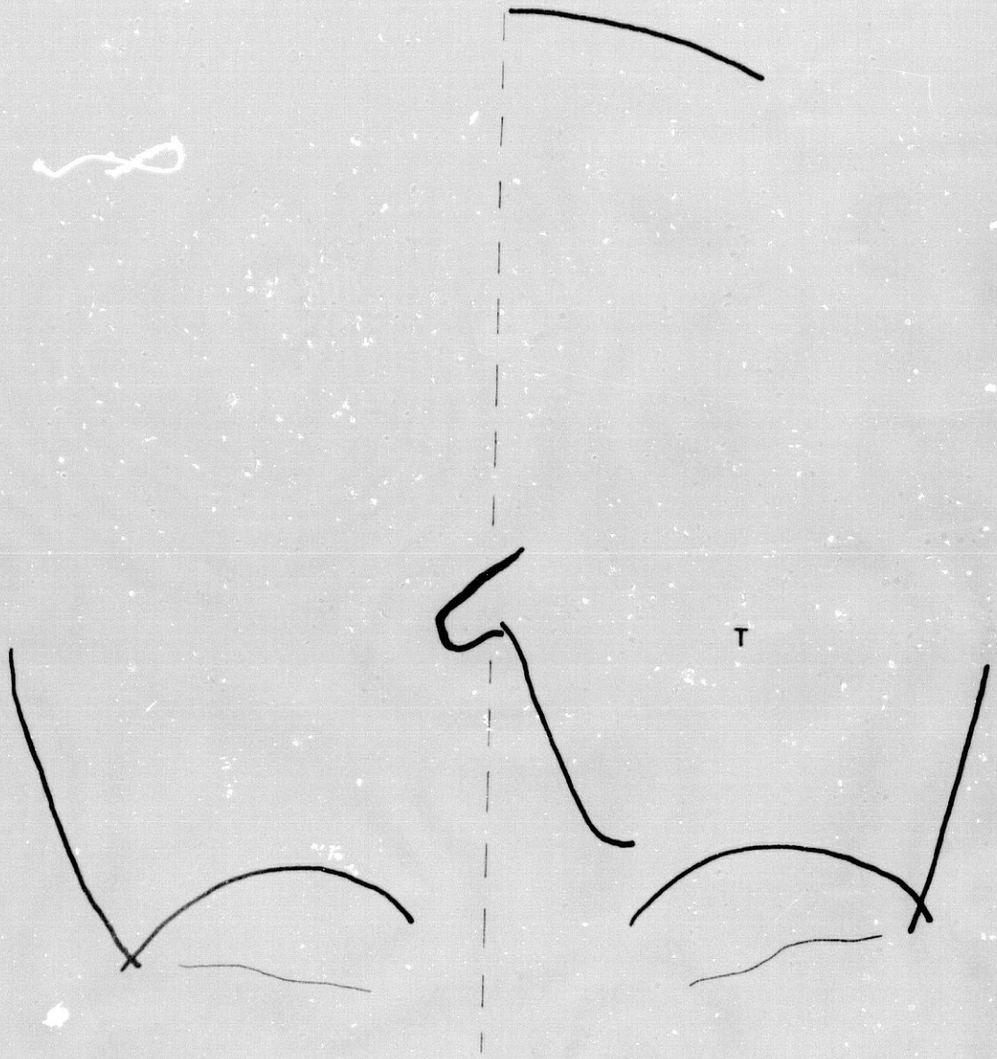

FIG. 357

S E R I E: Patológica

- Masa paraaxial anterior lateral
- (Presilviana subfrontal)

Caso nº P-90 (H-114)

Reseña personal: G.R.P. Mujer. 57 años.

Reseña clínica: Meningioma mixto meningotelial fibromatoso (con fístula del seno frontal). Hemisferio derecho.

.....

FLEBOGRAMA LATERAL

Parámetros del ángulo venoso

- Método de Laine.....:	H: 29;	V: 14,5	
- Método de Fischer.....:	H: -14;	V: -3	
- Bisectriz de Fischer.....:	B: 19,5º;	M: 21,5º;	D: 2º
- Método de Newton.....:	V: -1,5;	H: -12	
Ang. Tubérculo-Inion-Monro.:	21,5º		
Ang. Monro-Inion-Bregma....:	17,5º		
Ang. Tubérculo-Lambda-Monro:	18º		
Ang. Monro-Glabela-Bregma..:	43,5º		
Ang. Monro-Bregma-Tubérculo:	25º		
Ang. Monro-Tubérculo-Inion.:	48,5º		
Ang. Apex-Tubérculo-Monro..:	20º		
Ang. Monro-Apex-Bregma.....:	43,7º		
Lín. fleboaxial-Monro.....:	-5		

FLEBOGRAMA LATERAL

Parámetros de la v. cerebral interna

- Método de Potts y Taveras: A-B: 25; b: 7; c: 1,5; d: 0
- Método de Shah-Kendall...: A: 30,9; B: 34,1; C: 20,3
- Método de Babin y cols...: c: 56º; b: 35º

Cociente de giro sagital.: 79

Arco venoso profundo.....: Inviable

Proyecciones de la v. basal

Eje incisural-vena basal.: A: -; B: -5; C: -9; D:-

FLEBOGRAMA FRONTAL

- Angulo venoso-Línea media.: 3
- Talamoestriada-Línea media: 15

Referencias angiográficas complementarias

- Arteriograma frontal: notable desviación redonda de la arteria cerebral anterior. Desplazamiento medial de la arteria cerebral posterior. Desplazamiento medial de la cerebral media y sus ramas.

- Arteriograma lateral: apreciable estiramiento y descenso de las arterias cerebral posterior y coroidea anterior. Estiramiento y curvatura de concavidad inferior de las primeras ramas de la cerebral media. Depresión de la porción inicial del triángulo silviano.

FIG. 358

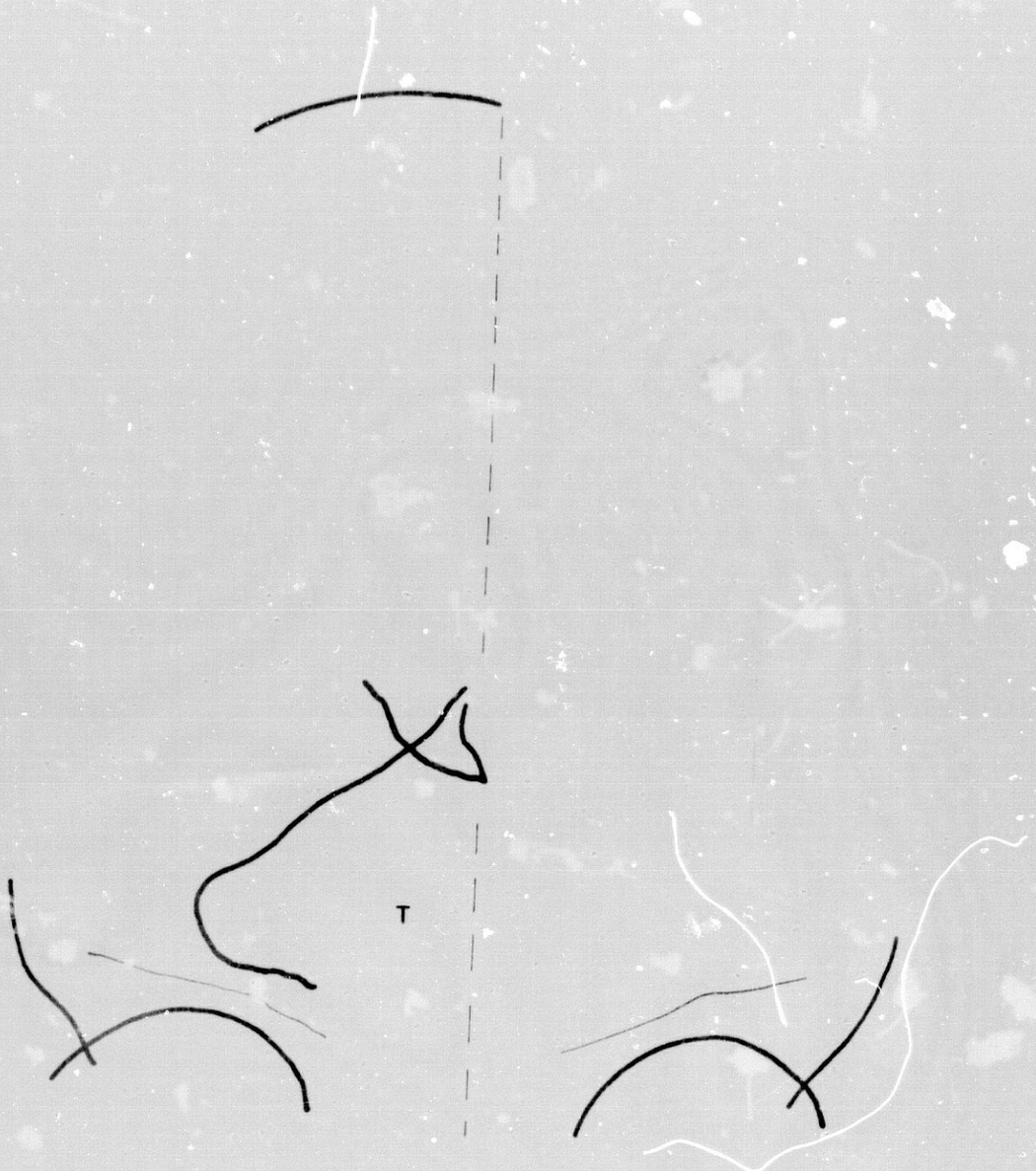

FIG.359

S E R I E: Patológica

- Masa paraaxial anterior lateral
- Presilviana lateral

Caso nº P-91 (H-190)

Reseña personal: M.B.S. Mujer. 47 años.

Reseña clínica: Tumor frontal derecho con extensión paramedial. La paciente no fue intervenida: no se pudo determinar la naturaleza exacta del tumor.

.....

FLEBOGRAMA LATERAL

Parámetros del ángulo venoso

- Método de Laine.....:	H: 23,5;	V: 5	
- Método de Fischer .....:	H: -4;	V: 0	
- Bisectriz de Fischer.....:	B: 21,7º;	M: 21,5;	D: -0,2
- Método de Newton.....:	H: 7;	V: 0	
Ang. Tubérculo-Inion-Monro.:	21,5º		
Ang. Monro-Inion-Bregma....:	22º		
Ang. Tubérculo-Lambda-Monro:	12º		
Ang. Monro-Glabela-Bregma..:	14º		
Ang. Monro-Bregma-Tubérculo:	19,5º		
Ang. Monro Tubérculo-Inion.:	55º		
Ang. Apex-Tubérculo-Monro..:	25,5º		
Ang. Monro-Apex-Bregma.....:	54º		
Lín. fleboaxial-Monro.....:	-2		

FLEBOGRAMA LATERAL

Parámetros de la v. cerebral interna

- Método de Potts y Taveras: A-B: 34; b: 4; c: 1,5; d: 0,2
- Método de Shah-Kendall...: A: 32,7; B: 36,4; C: 32,7
- Método de Babin y cols...: c: 30º; b: 40º

Cociente de giro sagital.: 108

Arco venoso profundo.....: 3

Proyecciones de la v. basal

Eje incisural-vena basal.: Inviable (la v. basal no es anastomótica).

FLEBOGRAMA FRONTAL

- Angulo venoso-Línea media.: 5
- Talamoestriada-Línea media: 28

Referencias angiográficas complementarias

- Arteriograma frontal: desplazamiento izquierdo de la arteria cerebral anterior.
- Arteriograma lateral: depresión de todo el grupo silviano, especialmente de su porción anterior.

FIG. 360

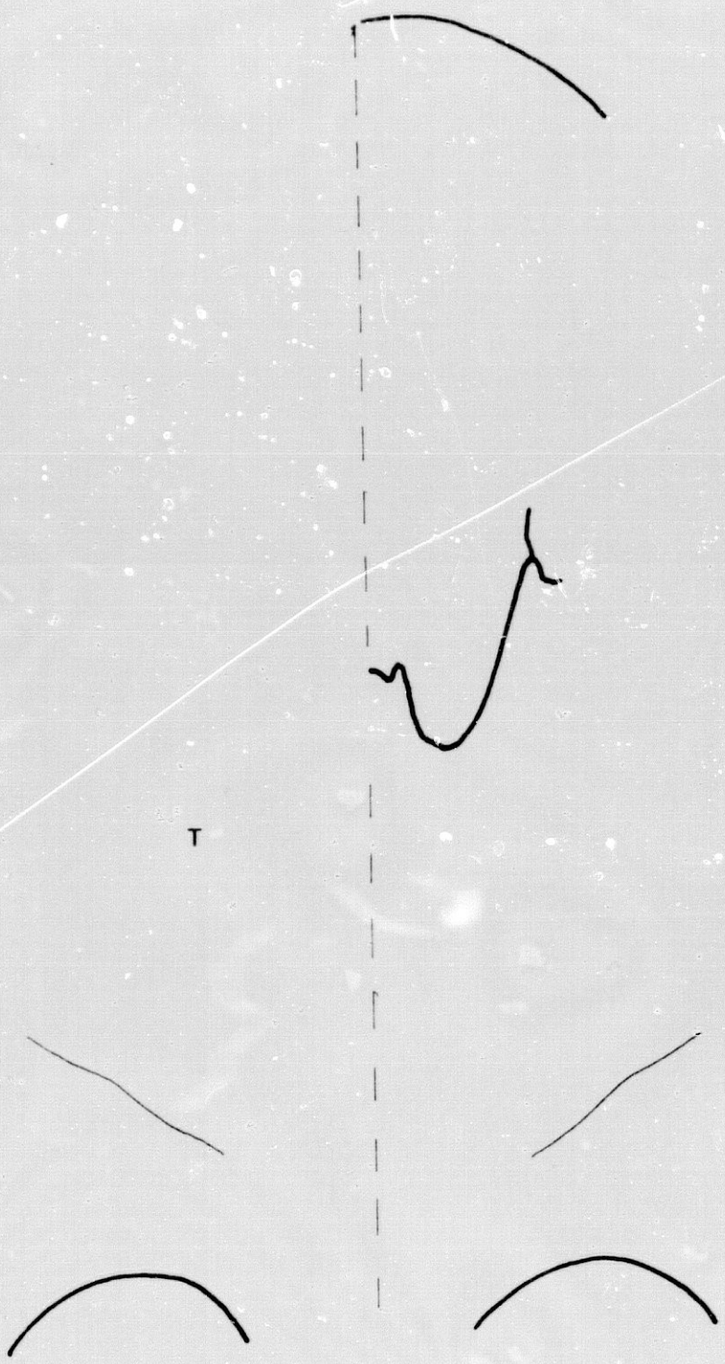

FIG. 361

SERIE: Patológica

- Masa paraaxial anterior lateral
- (Presilviana)

Caso nº P-92 (H-200)

Reseña personal: M.G.G. Mujer. 55 años.

Reseña clínica: Tumor frontal. El paciente no fue intervenido: no se pudo determinar la naturaleza exacta de la lesión (hemisferio derecho).

.....

FLEBOGRAMA LATERAL

Parámetros del ángulo venoso

- Método de Laine.....:	H: 19;	V: 17,5	
- Método de Fischer.....:	H: -6;	V: 5	
- Bisectriz de Fischer.....:	B: 20º;	M: 25º;	D: 5º
- Método de Newton.....:	V: 3;	H: -4,5	
Ang. Tubérculo-Inion-Monro.:	25º		
Ang. Monro-Inion-Bregma....:	15º		
Ang. Tubérculo-Lambda-Monro:	16º		
Ang. Monro-Glabela-Bregma..:	42º		
Ang. Monro-Bregma-Tubérculo:	21º		
Ang. Monro-Tubérculo-Inion.:	63,5º		
Ang. Apex-Tubérculo-Monro..:	23º		
Ang. Monro-Apex-Bregma.....:	48º		
Lín. fleboaxial-Monro.....:	4		

FLEBOGRAMA LATERAL

Parámetros de la v. cerebral interna

- Método de Potts y Taveras: A-B: 24; b: 5; c: 0,5; d: 0,2
- Método de Shah-Kendall...: A: 38,5; B: 38,9; C: 27,1
- Método de Babin y cols...: c: 75º; b: 49º

Cociente de giro sagital.: 52

Arco venoso profundo.....: 9,5

Proyecciones de la v. basal

Eje incisural-vena basal.: Inviable (la v. basal no es anastomótica)

FLEBOGRAMA FRONTAL

- Angulo venoso-Línea media.: 2,2
- Talamoestriada-Línea media: 20

Referencias angiográficas complementarias

- Arteriograma frontal: ligera desviación proximal y distal de la arteria cerebral anterior. Posible depresión del tramo horizontal de la arteria cerebral media.

- Arteriograma lateral: depresión de la rodilla de la arteria pericallosa. estiramiento y curvatura de las ramas de la convexidad frontal en arcos de concavidad anterior.

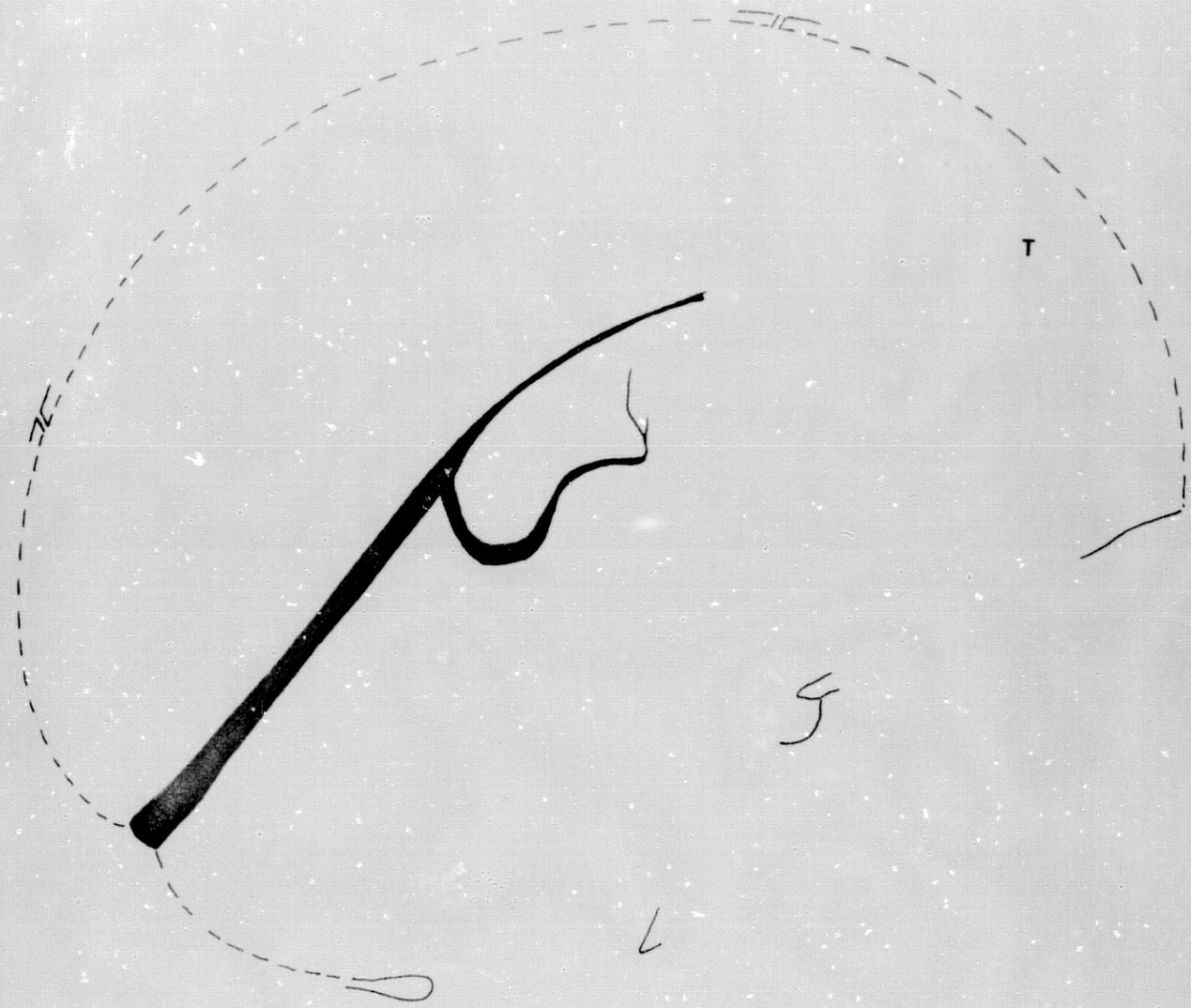

FIG. 362

FIG. 363

S E R I E: Patológica

- Masa paraaxial anterior lateral
- (Presilviana anterior)

Caso nº P-93 (H-207)

Reseña personal: M.J.F. Varón. 45 años.

Reseña clínica: Tumor frontal izquierdo. El paciente no fue intervenido: no se pudo determinar la naturaleza exacta del tumor.

.....

FLEBOGRAMA LATERAL

Parámetros del ángulo venoso

- Método de Laine.....: H: 16; V: 22
- Método de Fischer.....: H: 0; V: -4
- Bisectriz de Fischer.....: B: 21º; M: 20º; D: -1º
- Método de Newton.....: V: -2,5; H: 3

Ang. Tubérculo-Inion-Monro.: 20º
Ang. Monro-Inion-Bregma....: 22º
Ang. Tubérculo-Lambda-Monro: 13º
Ang. Monro-Glabela-Bregma..: 44,5º
Ang. Monro-Bregma-Tubérculo: 13,5º
Ang. Monro-Tubérculo-Inion.: 66º
Ang. Apex-Tubérculo-Monro..: 35º
Ang. Monro-Apex-Bregma.....: 48º
Lín. fleboaxial-Monro.....: 5

FLEBOGRAMA LATERAL

Parámetros de la v. cerebral interna

- Método de Potts y Taveras: A-B: 42; b: 8; c: 0,2; d: 0,1
- Método de Shah-Kendall...: A: 32,1; B: 37,9; C: 27,4
- Método de Babin y cols...: c: 50º; b: 41º

Cociente de giro sagital.: 78

Arco venoso profundo.....: 6,5

Proyecciones de la v. basal

Eje incisural-vena basal.: A: -; B: -5; C: -7; D: -10

FLEBOGRAMA FRONTAL

- Angulo venoso-Línea media.: 0
- Talamoestriada-Línea media: 21

Referencias angiográficas complementarias

- Arteriograma frontal: ligera muesca de desviación distal de la arteria cerebral anterior.

- Arteriograma lateral: trayecto irregular de algunos vasos laterales de las ramas calloso marginales.

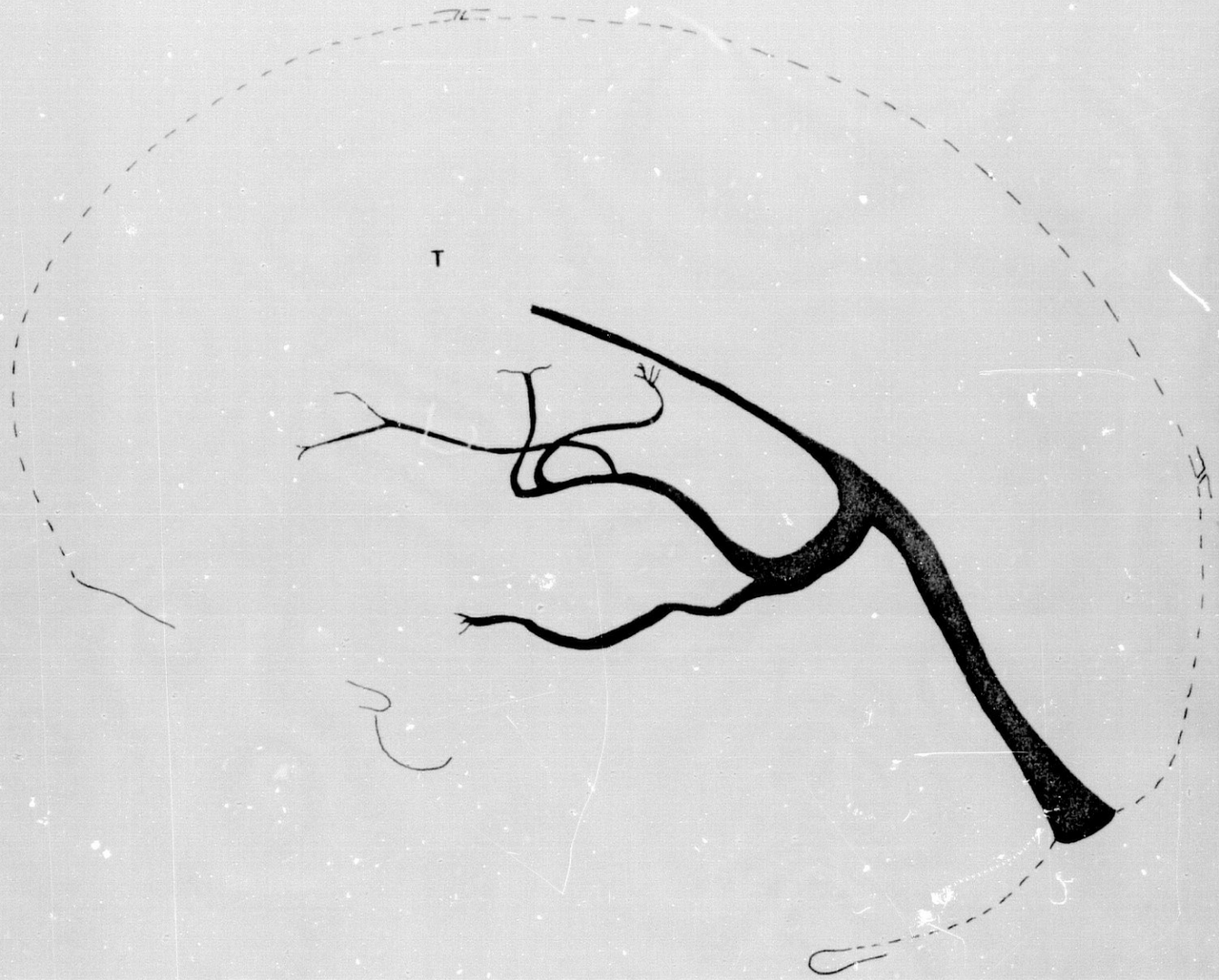

FIG. 364

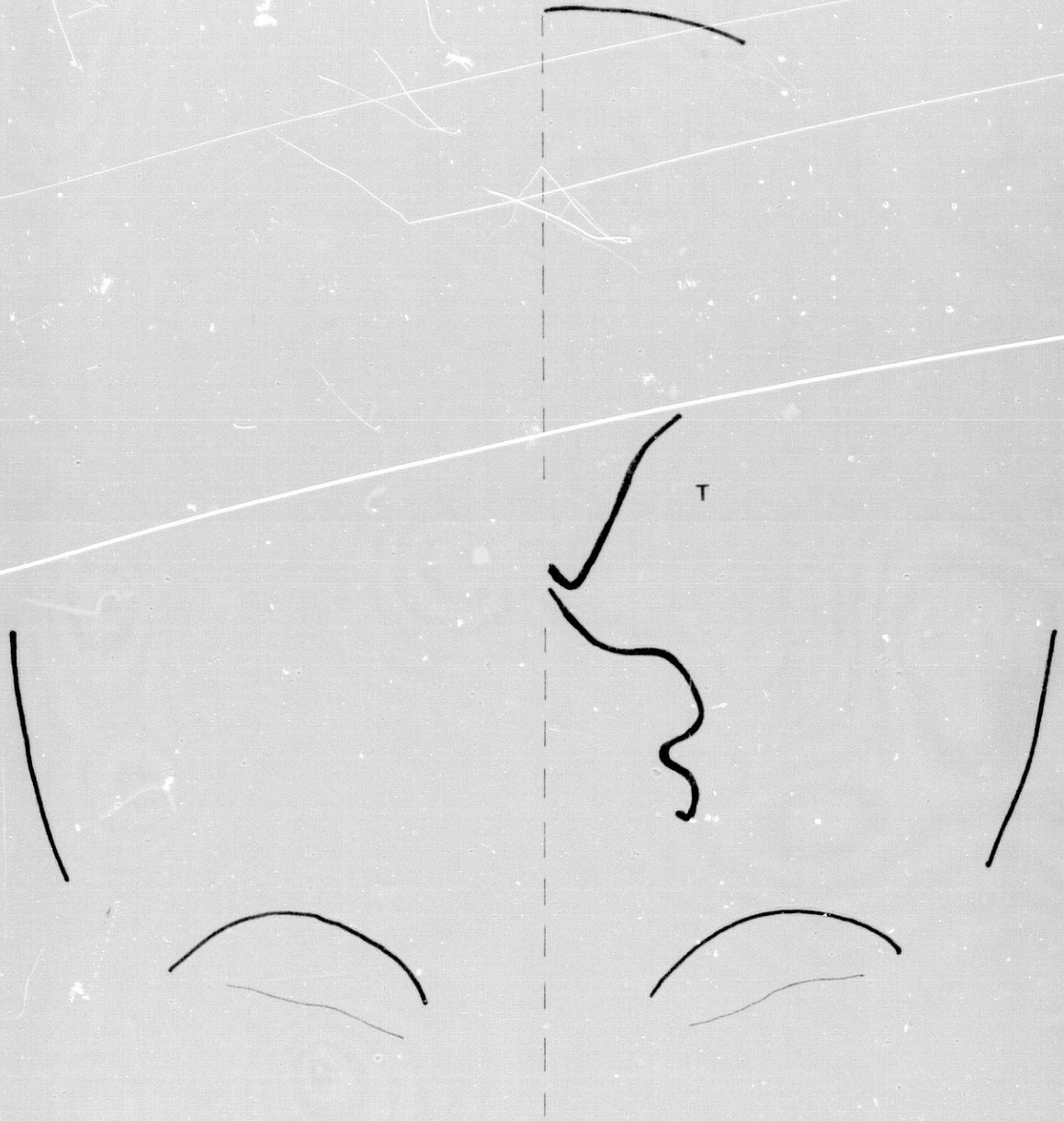

FIG. 365

Tumores paraaxiales medios parasagitales

S E R I E: Patológica

- Masa paraaxial media parasagital
- (Centrosilviana)

Caso nº P-94 (H-10)

Reseña personal: A.G.G. Varón. 52 años.

Reseña clínica: Tumor talámico posterior.

.....

FLEBOGRAMA LATERAL

Parámetros del ángulo venoso

- Método de Laine.....:	H: 12;	V: 16,5	
- Método de Fischer.....:	H: 2;	V: 4	
- Bisectriz de Fischer.....:	B: 18,2º;	M: 17,5º;	D: -0,7º
- Método de Newton.....:	V: 0;	H: 9	
Ang. Tubérculo-Inion-Monro.:	17,5º		
Ang. Monro-Inion-Bregma....:	19º		
Ang. Tubérculo-Lambda-Monro:	11,5º		
Ang. Monro-Glabela-Bregma..:	42,5º		
Ang. Monro-Bregma-Tubérculo:	13,5º		
Ang. Monro-Tubérculo-Inion.:	68º		
Ang. Apex-Tubérculo-Monro..:	28º		
Ang. Monro-Apex-Bregma.....:	54º		
Lín. fleboaxial-Monro.....:	-3		

FLEBOGRAMA LATERAL

Parámetros de la v. cerebral interna

- Método de Potts y Taveras: A-B: 44,5; b: 7; c: 1,8; d: -0,5
- Método de Shah-Kendall...: A: 32,3; B: 39,4; C: 28,9
- Método de Babin y cols...: c: 45º; b: 42º

Cociente de giro sagital.: Inviable (no se opacificó el SSI)

Arco venoso profundo.....: 5

Proyecciones de la v. basal

Eje incisural-vena basal.: A: 6; B: -6,5; C: -24; D: -18,5

FLEBOGRAMA FRONTAL

- Angulo venoso-Línea media.: 9,5
- Talamoestriada-Línea media: 29

Referencias angiográficas complementarias

- Arteriograma frontal: no se aprecian alteraciones significativas.

- Arteriograma lateral: se observan vasos patológicos a nivel subatrial. Ligero estiramiento de la arteria pericallosa.

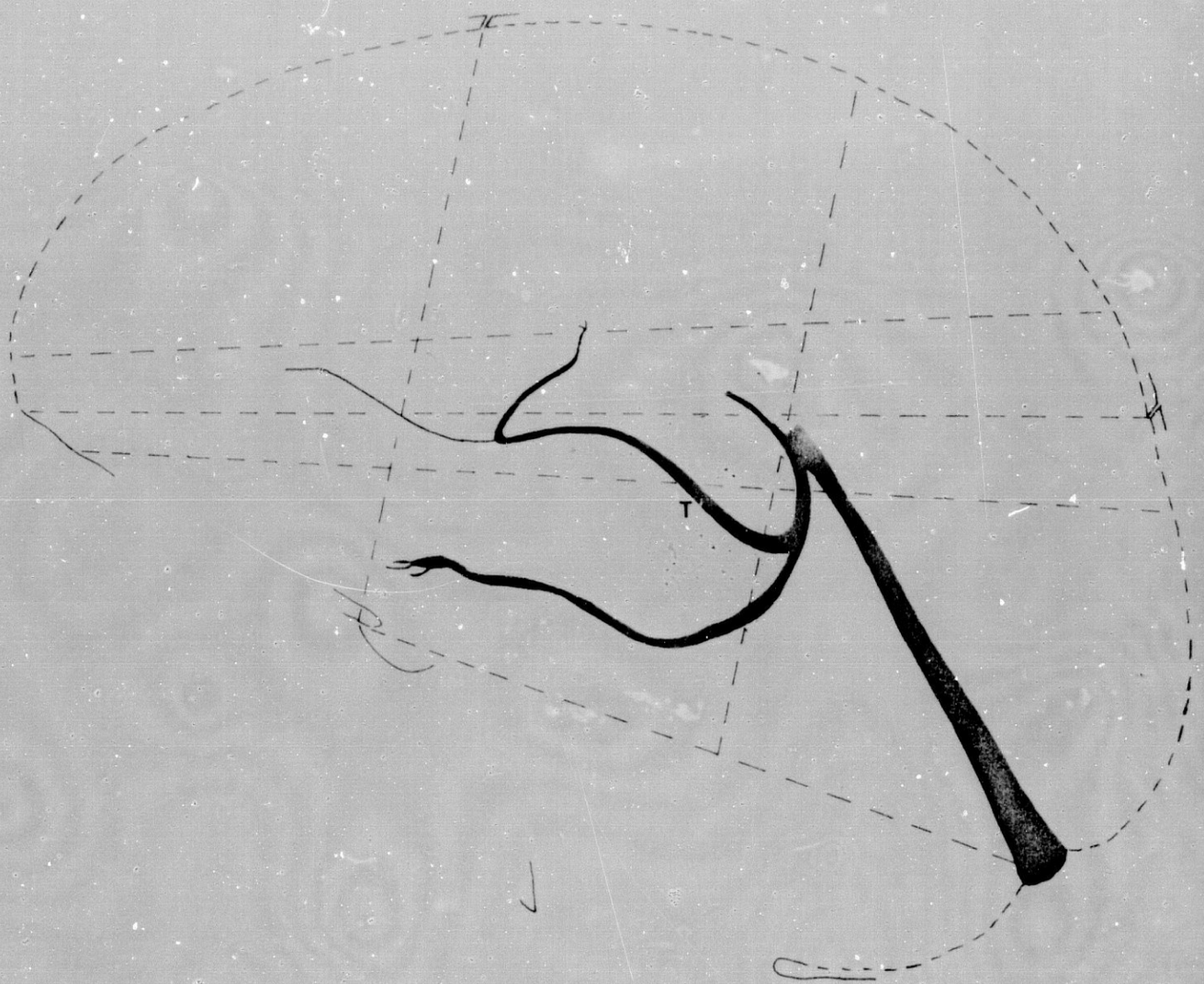

FIG. 369

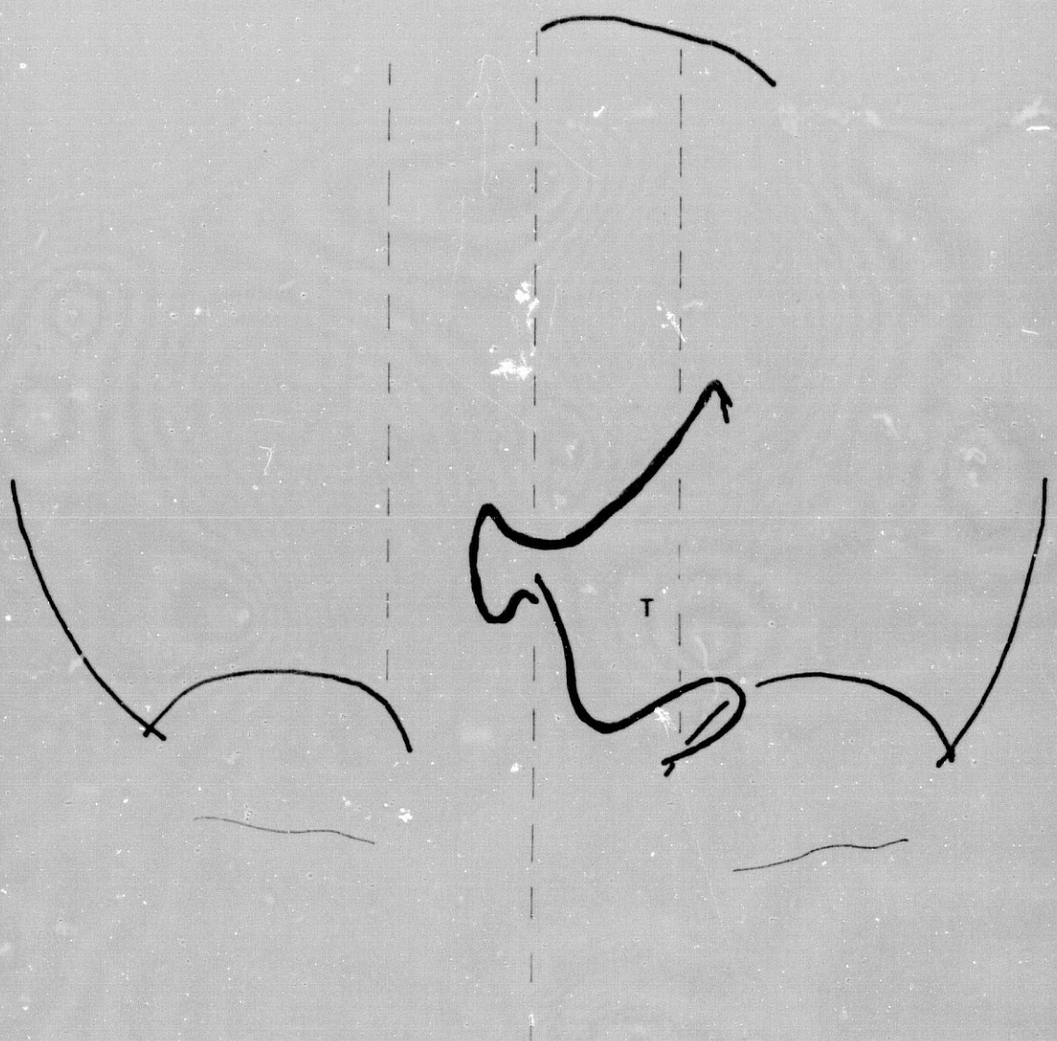

FIG. 370

S E R I E: Patológica

- Masa paraaxial media parasagital
- (Centrosilviana)

Caso nº P-95 (H-76)

Reseña personal: E.A.A. Varón. 65 años.

Reseña clínica: Hemorragia en cápsula interna.

.....

FLEBOGRAMA LATERAL

Parámetros del ángulo venoso

- Método de Laine.....:	H: 21;	V: 27	
- Método de Fischer.....:	H: -3,5;	V: -2,5	
- Bisectriz de Fischer.....:	B: 22º;	M: 20º;	D: -2º
- Método de Newton.....:	V: 4;	H: 6	
Ang. Tubérculo-Inion-Monro.:	20º		
Ang. Monro-Inion-Bregma....:	24º		
Ang. Tubérculo-Lambda-Monro:	13,5º		
Ang. Monro-Glabela-Bregma..:	39º		
Ang. Monro-Bregma-Tubérculo:	12,5º		
Ang. Monro-Tubérculo-Inion.:	64º		
Ang. Apex-Tubérculo-Monro..:	31,5º		
Ang. Monro-Apex-Bregma.....:	53º		
Lín. fleboaxial-Monro.....:	1,8		

FLEBOGRAMA LATERAL

Parámetros de la v. cerebral interna

- Método de Potts y Taveras: A-B: 43; b: 7,5; c: 0,2; d: 0,5
- Método de Shah-Kendall...: A: 34,1; B: 40,8; C: 29
- Método de Babin y cols...: c: 48,5º; b: 40º

Cociente de giro sagital.: 78

Arco venoso profundo.....: 6,5

Proyecciones de la v. basal

Eje incisural-vena basal.: A: 6,5; B: -5,5; C: -16,5; D: -12,5

FLEBOGRAMA FRONTAL

- Angulo venoso-Línea media.: 10
- Talamoestriada-Línea media: 24

Referencias angiográficas complementarias

- Arteriograma frontal: desviación cuadrada de la arteria cerebral anterior. Desviación lateral de las ramas insulares de la arteria cerebral media.

- Arteriograma lateral: imagen de vascularidad patológica que se proyecta en el área media de la ínsula.

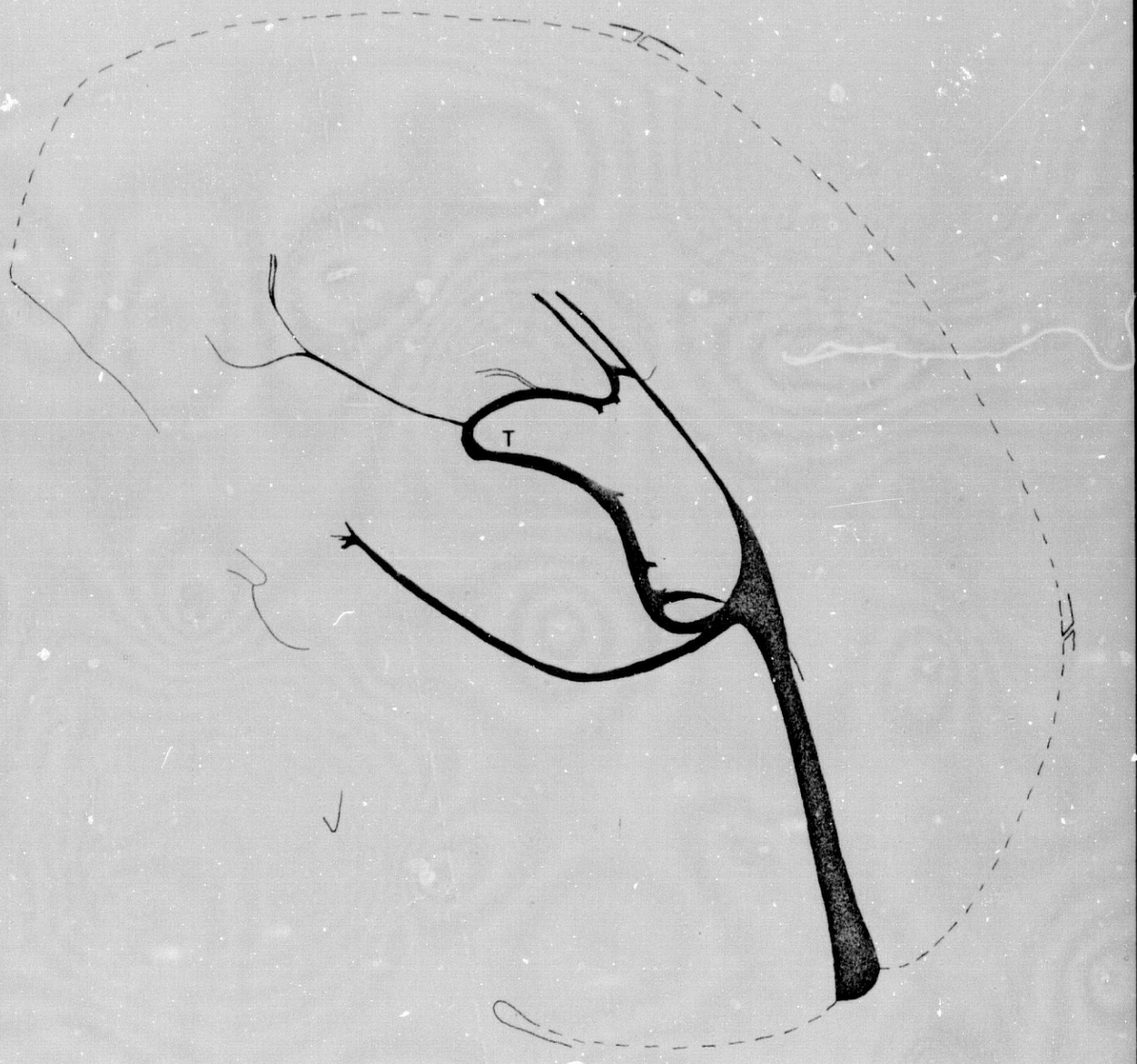

FIG. 371

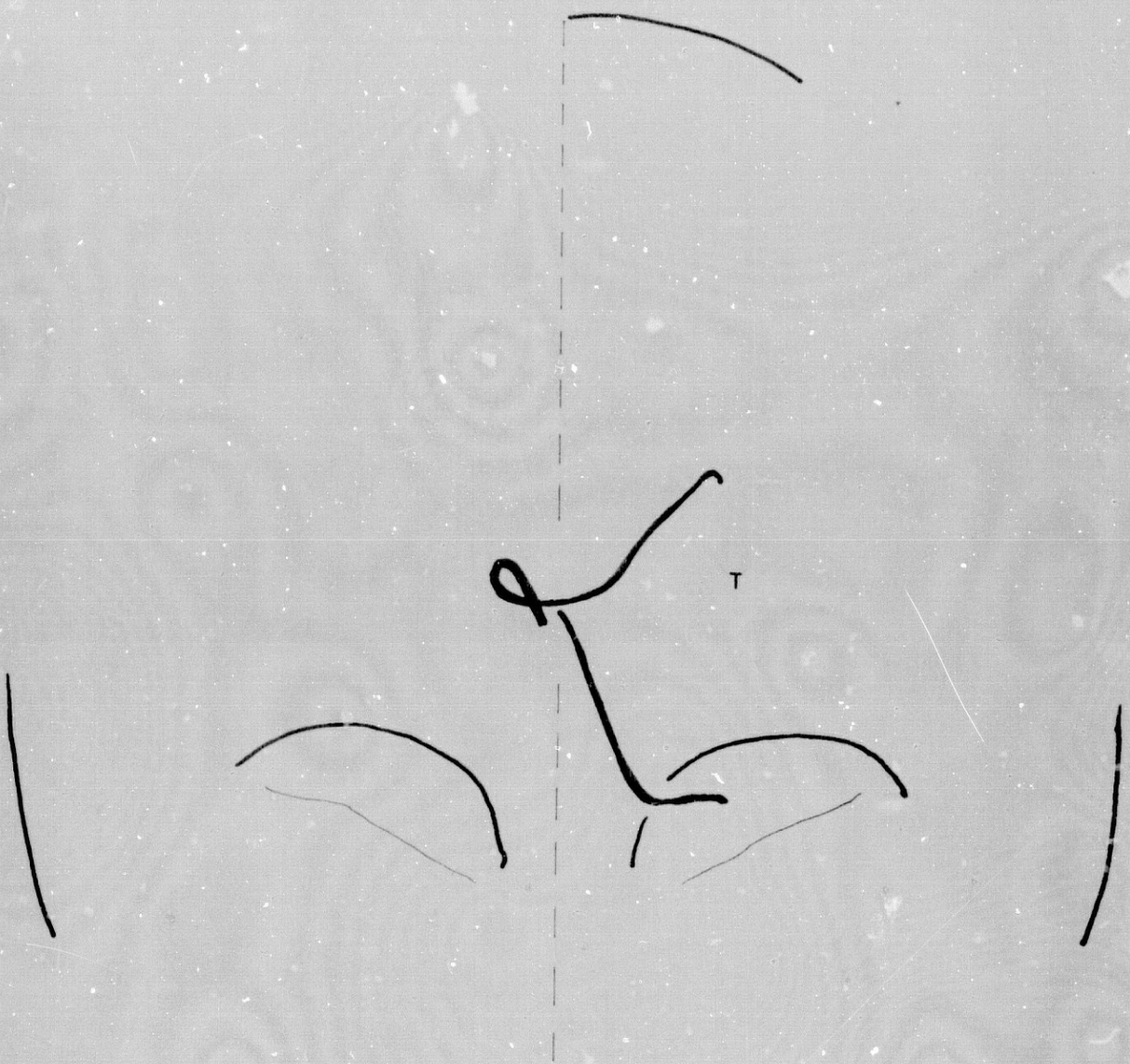

FIG. 372

S E R I E: Patológica

- Masa paraaxial media parasagital
- (Interventricular)

Caso nº P-96;(H-92)

Reseña personal: F.A.P. Varón. 49 años.

Reseña clínica: Glioblastoma del septum pellucidum.

.....

FLEBOGRAMA LATERAL (Derecho)

Parámetros del ángulo venoso

- Método de Laine.....:	H: 20,5;	V: 19	
- Método de Fischer.....:	H: -1,5;	V: 1,5	
- Bisectriz de Fischer.....:	B: 19,5º;	M: 17º;	D: -2,5º
- Método de Newton.....:	V: -1;	H: 9	
Ang. Tubérculo-Inion-Monro.:	17º		
Ang. Monro-Inion-Bregma....:	22º		
Ang. Tubérculo-Lambda-Monro:	10º		
Ang. Monro-Glabela-Bregma..:	43º		
Ang. Monro-Bregma-Tubérculo:	16,5º		
Ang. Monro-Tubérculo-Inion.:	55,5º		
Ang. Apex-Tubérculo-Monro..:	29,5º		
Ang. Monro-Apex-Bregma.....:	45º		
Lín. fleboaxial-Monro.....:	0		

FLEBOGRAMA LATERAL (Derecho)

Parámetros de la v. cerebral interna

- Método de Potts y Taveras: A-B: 33; b: 3; c: 0; d: -0,5
- Método de Shah-Kendall...: A: 30,1; B: 27; C: 14,8
- Método de Babin y cols...: c: 45,5º; b: 27º

Cociente de giro sagital.: 142

Arco venoso profundo.....: 10

Proyecciones de la v. basal

Eje incisural-vena basal.: A: -4,5; B: -4,5; C: -13,5; D: -

FLEBOGRAMA FRONTAL (Derecho)

- Angulo venoso-Línea media.: -4
- Talamoestriada-Línea media: 18,5

Referencias angiográficas complementarias

- Arteriograma lateral derecho: considerable depresión de las arterias comunicante posterior y cerebral posterior (en su porción inicial).

- Las restantes placas del angiograma (arteriograma frontal y lateral derecho e izquierdo) no se aprecian alteraciones significativas.

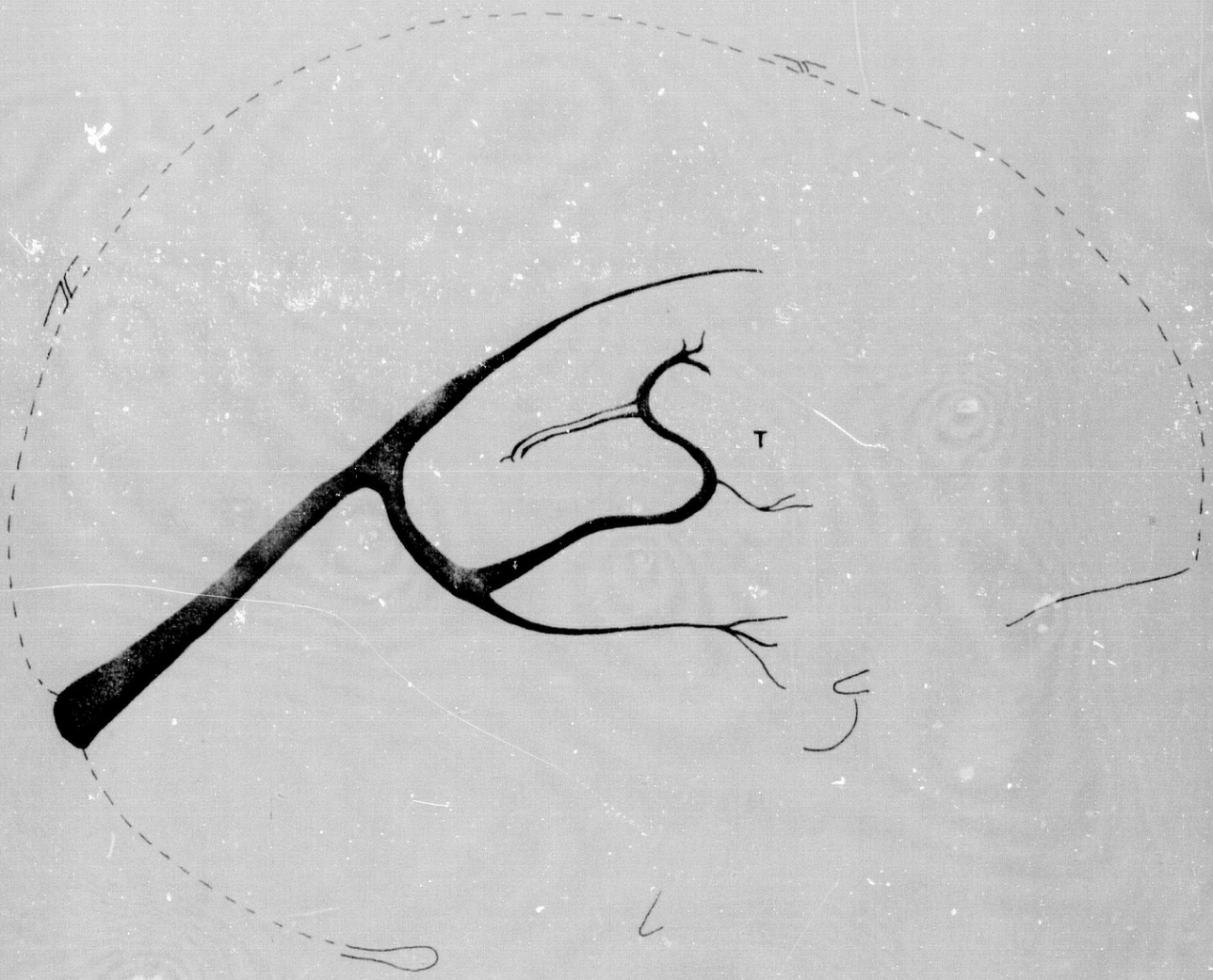

FIG. 373

FIG. 374

S E R I E: Patológica

- Masa paraaxial media parasagital
- (Interventricular)

Caso nº P-96 (H-92)

Reseña personal: F.A.P. Varón. 49 años.

Reseña clínica: Glioblastoma del septum pellucidum.

.....

FLEBOGRAMA LATERAL (Izquierdo)

Parámetros del ángulo venoso

- Método de Laine.....:	H: 15;	V: 20,5	
- Método de Fischer.....:	H: 5;	V: 2,5	
- Bisectriz de Fischer.....:	B: 20,5º;	M: 18º;	D: -2,5º
- Método de Newton.....:	V: -1;	H: 9	
Ang. Tubérculo-Inion-Monro.:	18º		
Ang. Monro-Inion-Bregma....:	23º		
Ang. Tubérculo-Lambda-Monro:	12º		
Ang. Monro-Glabela-Bregma..:	43º		
Ang. Monro-Bregma-Tubérculo:	12,5º		
Ang. Monro-Tubérculo-Inion.:	65º		
Ang. Apex-Tubérculo-Monro..:	35º		
Ang. Monro-Apex-Bregma.....:	50º		
Lín. fleboaxial-Monro.....:	0		

FLEBOGRAMA LATERAL (Izquierdo)

Parámetros de la v. cerebral interna

- Método de Potts y Taveras: A-B: 39; b: 4; c: -2; d: 0
- Método de Silah-Kendall...: A: 31,4; B: 29,9; C: 20,8
- Método de Babin y cols...: c: 51,5º; b: 37º

Cociente de giro sagital.: 109

Arco venoso profundo.....: 8

Proyecciones de la v. basal

Eje incisural-vena basal.: Inviable (la v. basal no es anastomótica)

FLEBOGRAMA FRONTAL (Izquierdo)

- Angulo venoso-Línea media.: 1
- Talamoestriada-Línea media: 17

Referencias angiográficas complementarias

- Arteriograma frontal: los hallazgos arteriales son semejantes a los del angiograma derecho (página 514).

- Arteriograma lateral: los hallazgos arteriales son semejantes a los del angiograma derecho (página 514).

FIG. 375

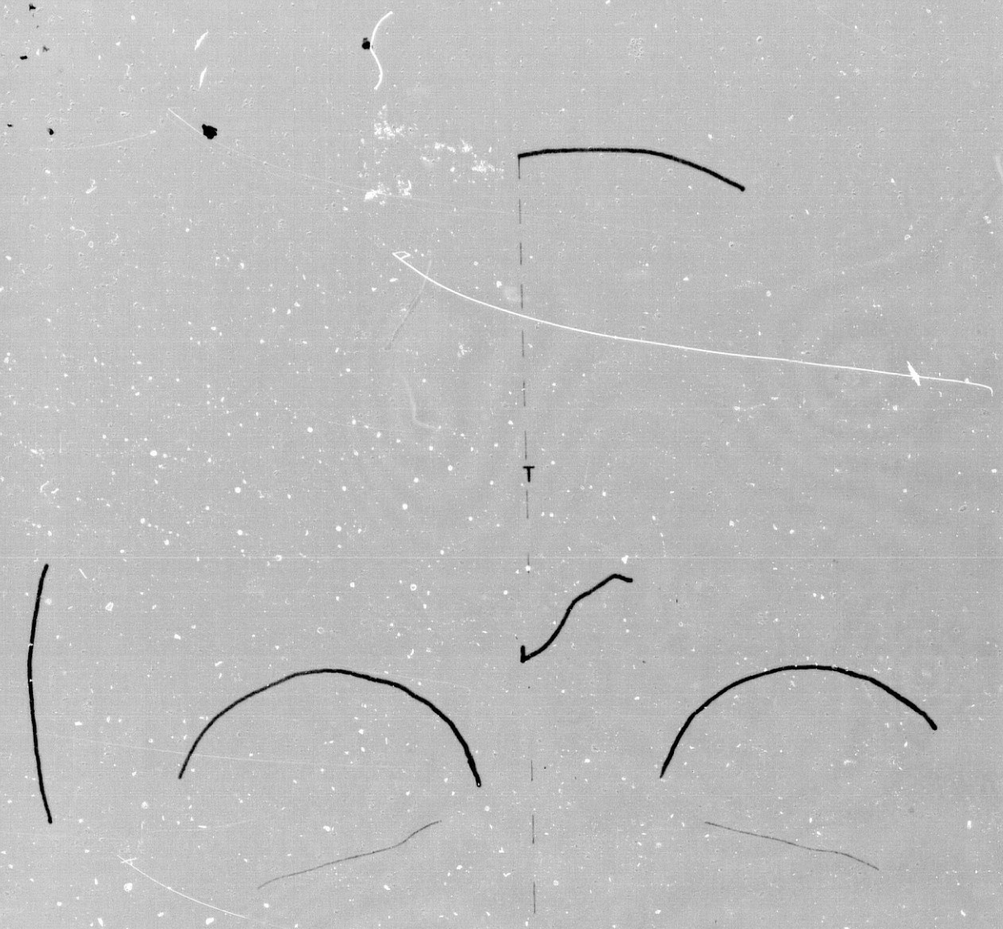

FIG. 376

S E R I E: Patológica

- Masa paraaxial media parasagital
- (Centrosilviana paramedial)

Caso nº P-97 (H-97)

Reseña personal: C.E.Ll. Mujer. 52 años.

Reseña clínica: Tumor profundo en región medial del hemisferio izquierdo. El paciente no fue intervenido: no se pudo determinar la naturaleza exacta del tumor.

.....

FLEBOGRAMA LATERAL

Parámetros del ángulo venoso

- Método de Laine.....:	H: 17;	V: 29
- Método de Fischer.....:	H: 8;	V: 6
- Bisectriz de Fischer.....:	B: 22,5º;	M: 23,5º; D: 1º
- Método de Newton.....:	V: 7;	H: 12
Ang. Tubérculo-Inion-Monro.:	23,5º	
Ang. Monro-Inion-Bregma....:	21,5º	
Ang. Tubérculo-Lambda-Monro:	16,5º	
Ang. Monro-Glabela-Bregma..:	34,2º	
Ang. Monro-Bregma-Tubérculo:	9º	
Ang. Monro-Tubérculo-Inion.:	75º	
Ang. Apex-Tubérculo-Monro..:	40,5º	
Ang. Monro-Apex-Bregma.....:	46º	
Lín. fleboaxial-Monro.....:	9,8	

FLEBOGRAMA LATERAL

Parámetros de la v. cerebral interna

- Método de Potts y Taveras: A-B: 31; b: 1; c: -0,2; d: -0,5
- Método de Shah-Kendall...: A: 38,5; B: 36,6; C: 27,7
- Método de Babin y cols...: c: 73º; b: 54,5º

Cociente de giro sagital.: 75

Arco venoso profundo.....: 9,5

Proyecciones de la v. basal

Eje incisural-vena basal.: A: 13; B: -2; C: -11; D: -

FLEBOGRAMA FRONTAL

- Angulo venoso-Línea media.: 11,2
- Talamoestriada-Línea media: 7

Referencias angiográficas complementarias

- Arteriograma frontal: posible desviación cuadrada de la arteria cerebral anterior.

- Arteriograma lateral: posible depresión de la arteria cerebral posterior. Gran estiramiento de la arteria coroidea anterior. Ligera depresión de la porción posterior del triángulo silviano.

FIG. 377

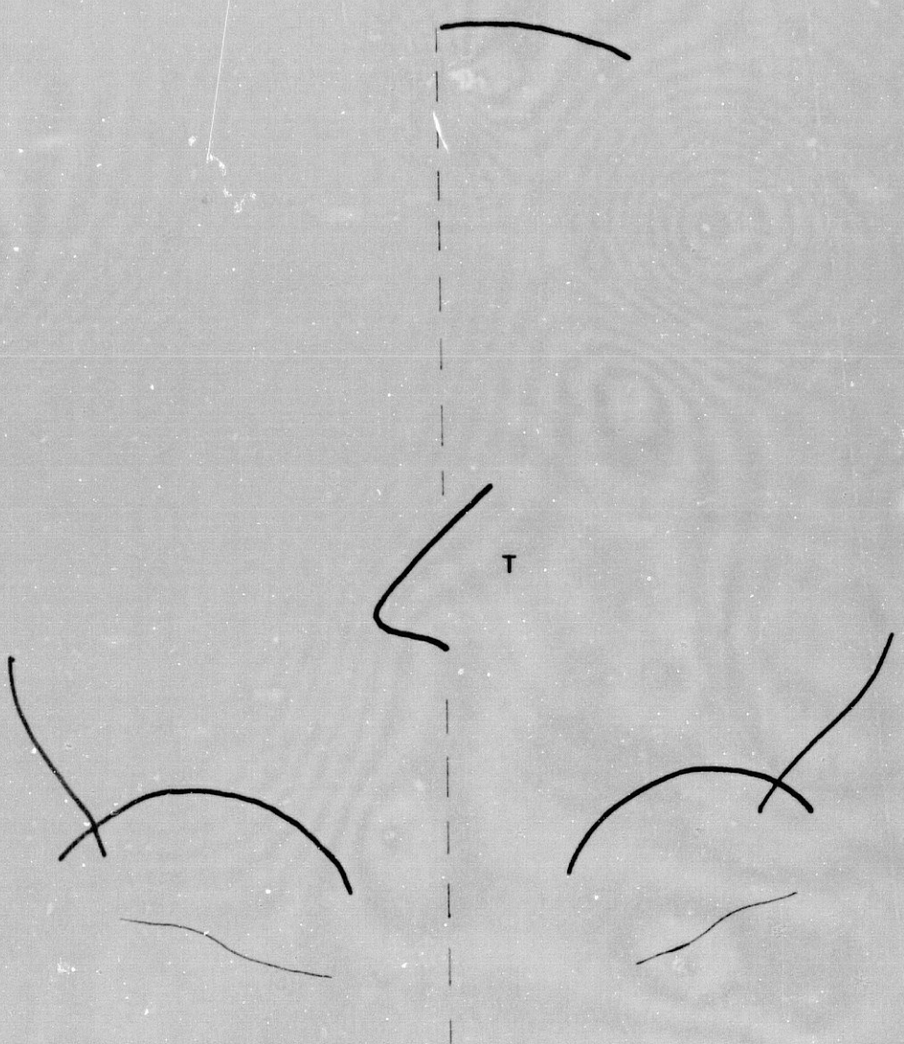

FIG. 378

S E R I E: Patológica

- Masa paraaxial media parasagital
- (Paraventricular línea media)

Caso nº P-98 (H-110)

Reseña personal: F.S.O. Mujer. 50 años.

Reseña clínica: Metástasis fibrosarcomatosa a nivel del esplenio del cuerpo calloso.

.....

FLEBOGRAMA LATERAL

Parámetros del ángulo venoso

- Método de Laine.....: H: 13; V: 15
- Método de Fischer.....: H: -9; V: -4
- Bisectriz de Fischer.....: B: 22,5º; M: 16,5º; D: -6º
- Método de Newton.....: V: -2,2; H: 7

Ang. Tubérculo-Inion-Monro.: 16,5º
Ang. Monro-Inion-Bregma....: 28,5º
Ang. Tubérculo-Lambda-Monro: 11º
Ang. Monro-Glabela-Bregma..: 45º
Ang. Monro-Bregma-Tubérculo: 8º
Ang. Monro-Tubérculo-Inion.: 60º
Ang. Apex-Tubérculo-Monro..: 26º
Ang. Monro-Apex-Bregma.....: 61,5º
Lín. fleboaxial-Monro.....: -5

FLEBOGRAMA LATERAL

Parámetros de la v. cerebral interna

- Método de Potts y Taveras: A-B: 32; b: 4,5; c: 2,0; d: 0
- Método de Shah-Kendall...: A: 28,9; B: 34; C: 22,7
- Método de Babin y cols...: c: 55º; b: 40º

Cociente de giro sagital.: 158

Arco venoso profundo.....: 5

Proyecciones de la v. basal

Eje incisural-vena basal.: A: -; B: -9; C: -10; D: -11

FLEBOGRAMA FRONTAL

- Angulo venoso-Línea media.: 5
- Talamoestriada-Línea media: 29

Referencias angiográficas complementarias

- Arteriograma frontal: ligera curvatura de la porción media de la arteria pericallosa.

- Arteriograma lateral: se observan pequeños vasos neoformados que contornean la silueta tumoral a nivel del esplenio del cuerpo calloso. Muy acusada depresión de las arterias cerebral posterior y comunicante posterior.

FIG. 379

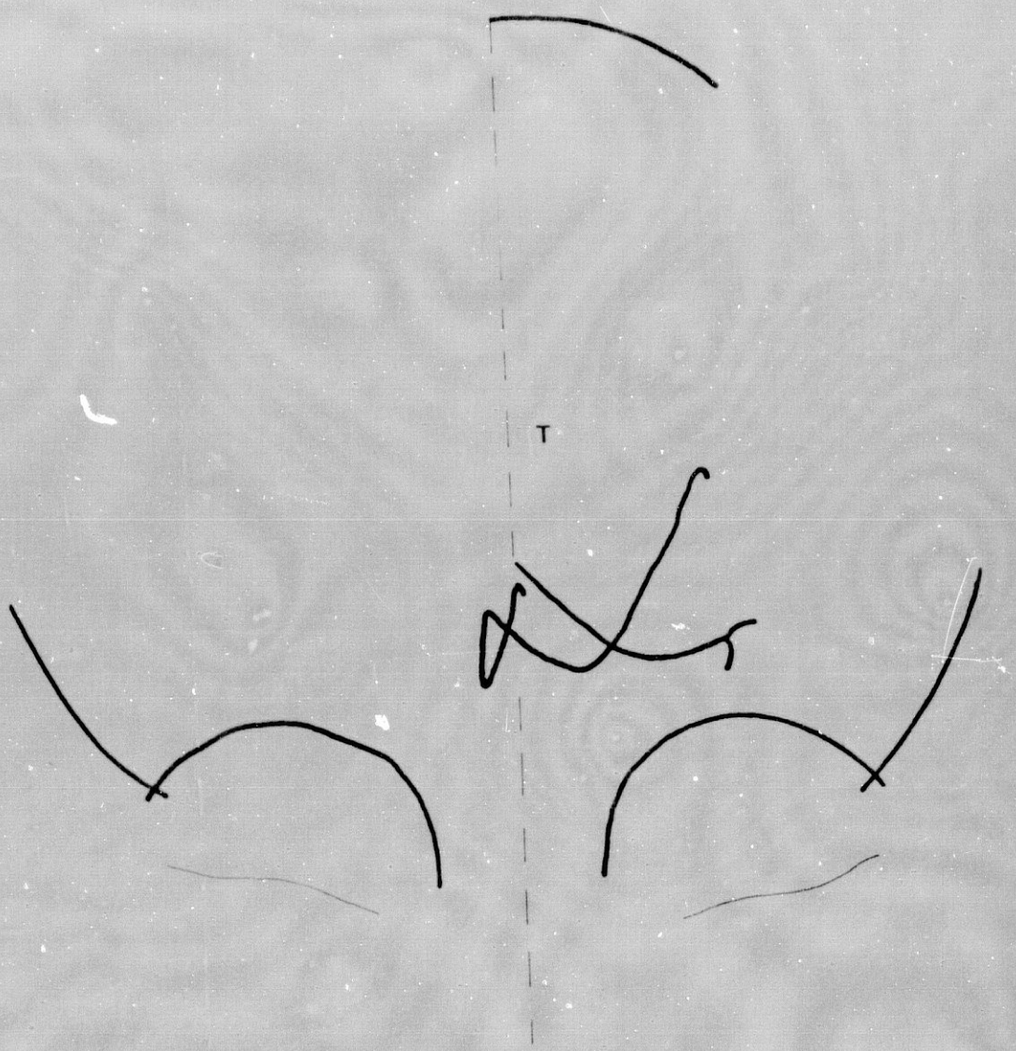

FIG. 380

S E R I E: Patológica

- Masa paraaxial media parasagital
- (Ventricular)

Caso nº P-99 (H-226)

Reseña personal: P.C.V. Mujer. 25 años.

Reseña clínica: Tumor del tercer ventrículo. El paciente no fue intervenido: no se pudo determinar la naturaleza exacta del tumor.

.....

FLEBOGRAMA LATERAL

Parámetros del ángulo venoso

- Método de Laine.....:	H: 13,5;	V: 20	
- Método de Fischer.....:	H: -0,5;	V: 1	
- Bisectriz de Fischer.....:	B: 21º;	M: 20º;	D: -1º
- Método de Newton.....:	V: 1;	H: -15	
Ang. Tubérculo-Inion-Monro.:	20º		
Ang. Monro-Inion-Bregma....:	22º		
Ang. Tubérculo-Lambda-Monro:	12,8º		
Ang. Monro-Glabela-Bregma..:	41º		
Ang. Monro-Bregma-Tubérculo:	12º		
Ang. Monro-Tubérculo-Inion.:	67,5º		
Ang. Apex-Tubérculo-Monro..:	35º		
Ang. Monro-Apex-Bregma.....:	50º		
Lín. fleboaxial-Monro.....:	3,5		

FLEBOGRAMA LATERAL

Parámetros de la v. cerebral interna

- Método de Potts y Taveras: A-B: 38; b: 0; c: 1; d: -1
- Método de Shah-Kendall...: A: 31,4; B: 32; C: 24
- Método de Babin y cols...: c: 53,5º; b: 42,5º

Cociente de giro sagital.: 101

Arco venoso profundo.....: 10,2

Proyecciones de la v. basal

Eje incisural-vena basal.: Inviable (La v. basal no es anastomótica)

FLEBOGRAMA FRONTAL

- Angulo venoso-Línea media.: 5
- Talamoestriada-Línea media: 29

Referencias angiográficas complementarias

- Arteriograma frontal: desplegamiento de la arteria cerebral anterior. Desviación medial y rectificación de la arteria coroidea anterior. Desplaza---miento lateral y elevación de los vasos silvianos.

- Arteriograma lateral: estiramiento de los vasos de la arteria cerebral anterior y de las arterias coroidea anterior y lenticuloestriadas, que denotan hidrocéfalo. Elevación del triángulo silviano.

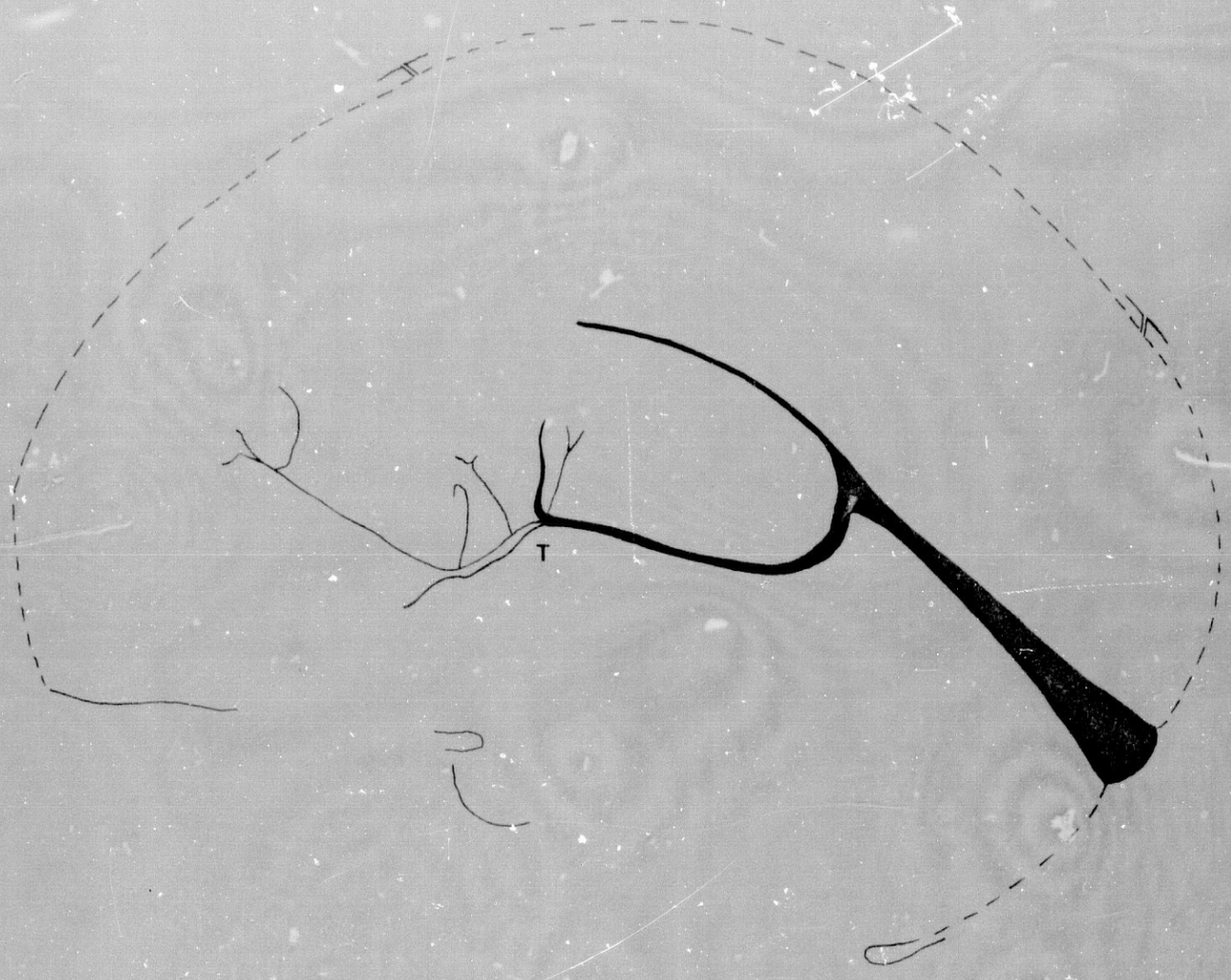

FIG. 381

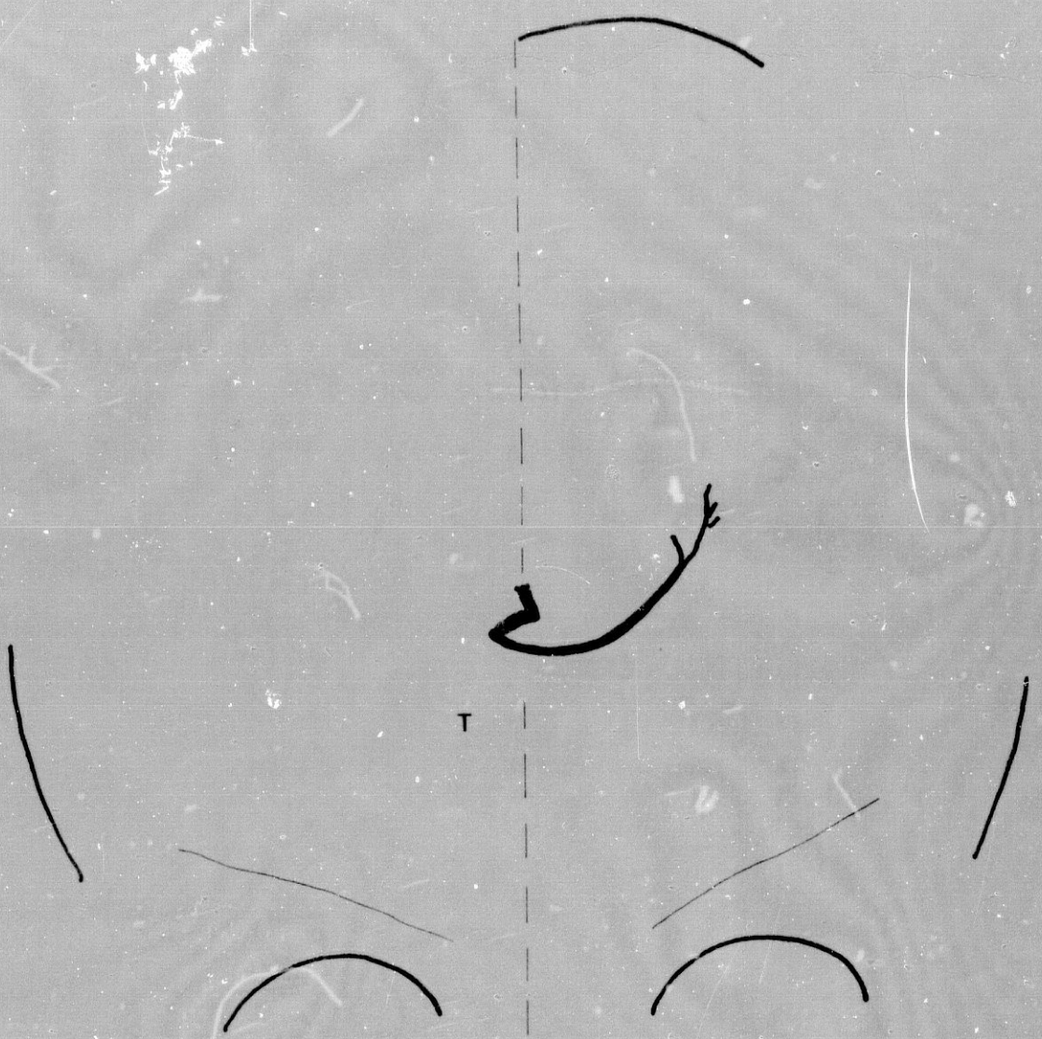

FIG. 382

Tumores paraaxiales medios laterales

S E R I E: Patológica

- Masa paraaxial media lateral
- (Laterosilviana)

Caso nº P-100 (H-9)

Reseña personal: A.G.B. Varón. 45 años.

Reseña clínica: Hematoma epidural parietotemporal derecho.

.....

FLEBOGRAMA LATERAL

Parámetros del ángulo venoso

- Método de Laine.....:	H: 40;	V: 23,5	
- Método de Fischer.....:	H: -23;	V: 3	
- Bisectriz de Fischer.....:	B: 19,7º;	M: 31º;	D: 11,3º
- Método de Newton.....:	V: 14;	H: -10,5	
Ang. Tubérculo-Inion-Monro.:	31º		
Ang. Monro-Inion-Bregma....:	8,5º		
Ang. Tubérculo-Lambda-Monro:	15º		
Ang. Monro-Glabela-Bregma..:	37º		
Ang. Monro-Bregma-Tubérculo:	39º		
Ang. Monro-Tubérculo-Inion.:	50,5º		
Ang. Apex-Tubérculo-Monro..:	23º		
Ang. Monro-Apex-Bregma.....:	28,5º		
Lín. fleboaxial-Monro.....:	13		

FLEBOGRAMA LATERAL

rámetros de la v. cerebral interna

- Método de Potts y Taveras:	A-B: 36;	b: 6;	c: 0;	d: 8;
- Método de Shah-Kendall...:	A: 42,2;	B: 47,3;	C: 42,4	
- Método de Babin y cols...:	c: 44º;	b: 36º		
Cociente de giro sagital.:	64			
Arco venoso profundo.....:	Inviable			

royecciones de la v. basal

Eje incisural-vena basal.: Inviable (la v. basal no es anastomótica)

FLEBOGRAMA FRONTAL

Angulo venoso-Línea media.: 5

Talamoestriada-Línea media: 2

Referencias angiográficas complementarias

- El tramo de la vena talamoestriada opacificado en el flebograma frontal es anormalmente corto.
- Arteriograma frontal: desviación proximal y distal de la arteria cerebral anterior. Gran desplazamiento medial de todos los vasos silvianos.
- Arteriograma lateral: acusada elevación del borde inferior del triángulo silviano.

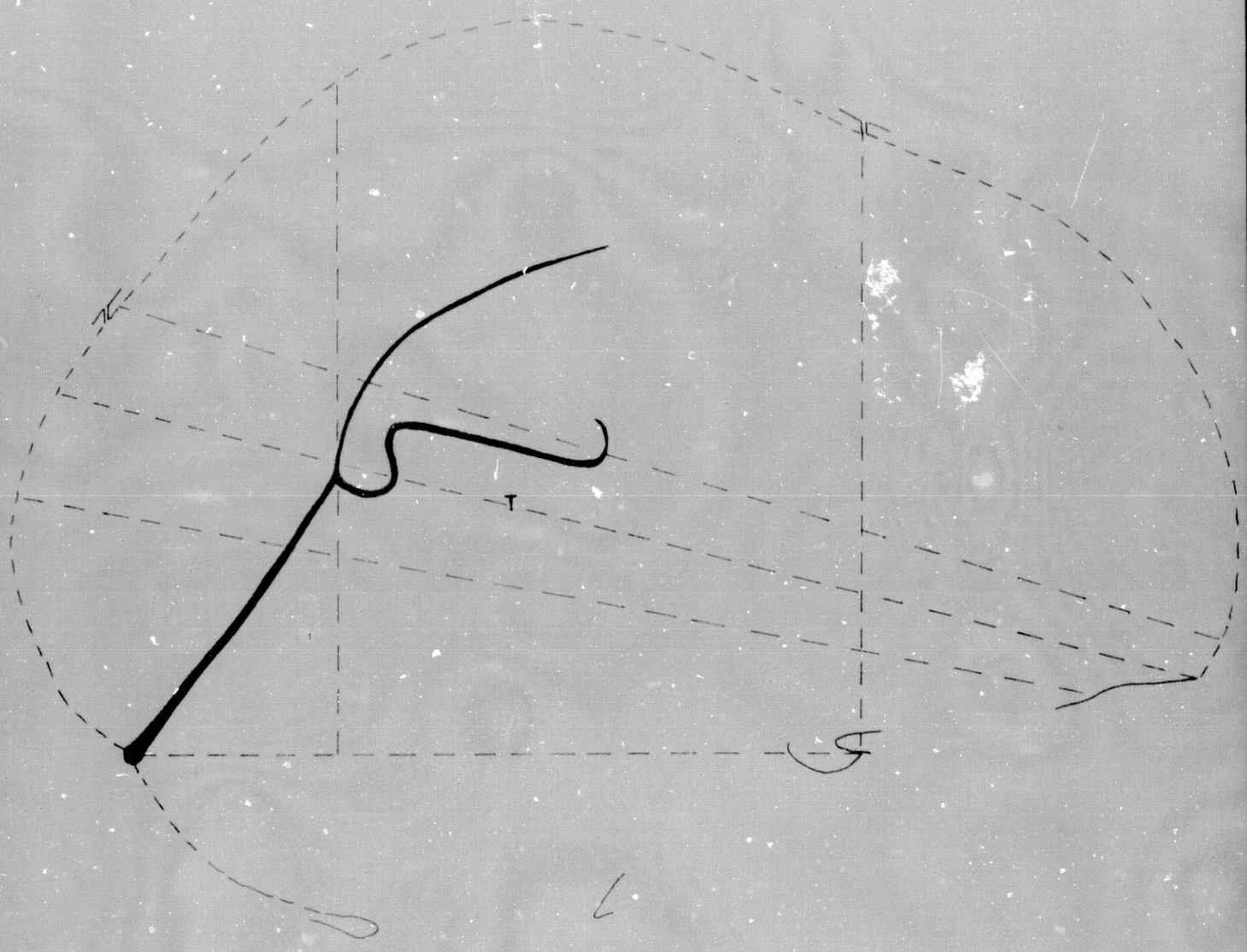

FIG. 392

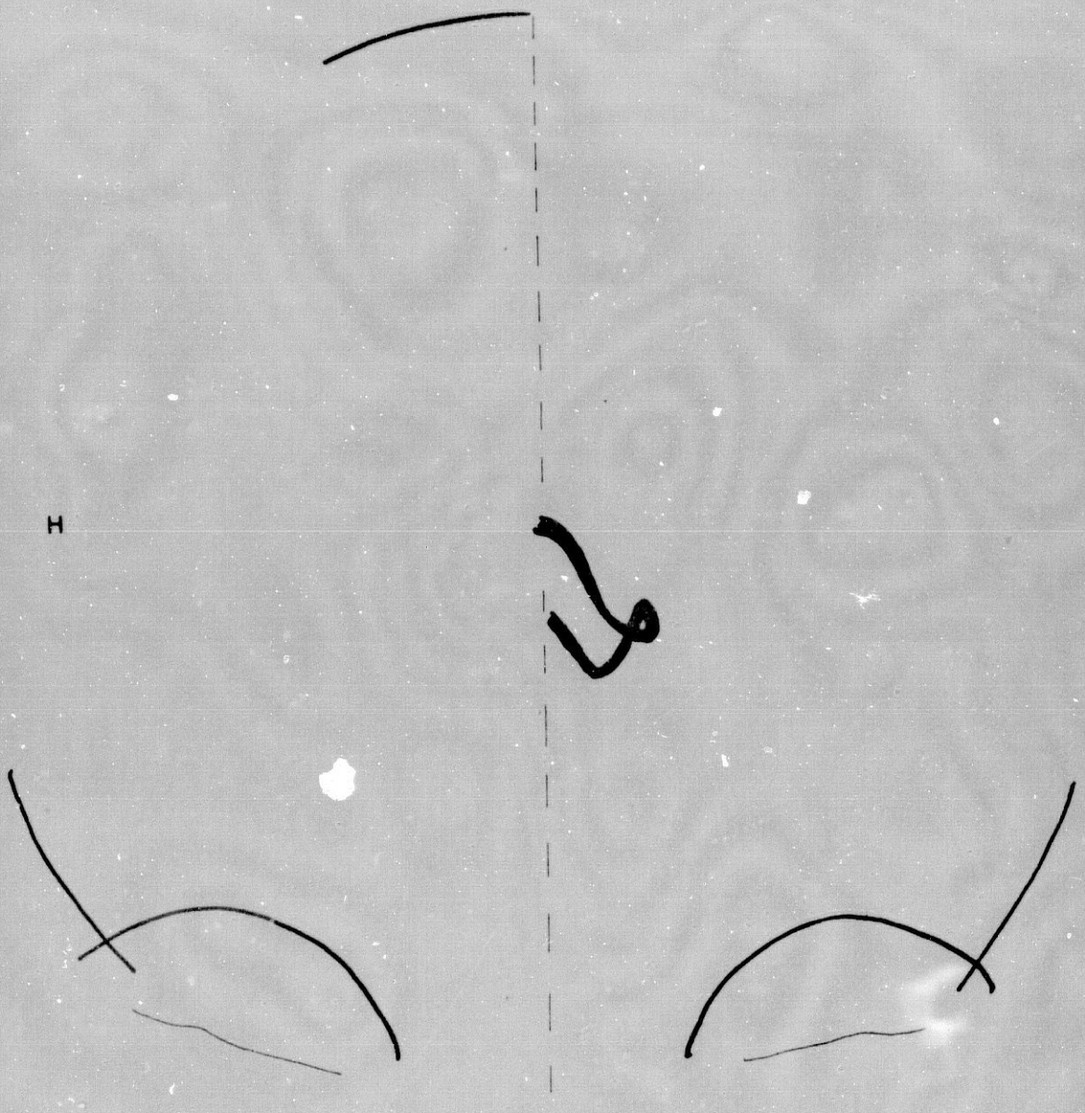

FIG. 393

S E R I E: Patológica

- Masa paraaxial media lateral
- (Infrasilviana)

Caso nº P-101 (H-15)

Reseña personal: A.G.R. Mujer. 70 años.

Reseña clínica: Hematoma intraparenquimatoso temporoparietal izquierdo.

.....

FLEBOGRAMA LATERAL

Parámetros del ángulo venoso

- Método de Laine.....:	H: 14;	V: 15	
- Método de Fischer.....:	H: -3,5;	V: 2	
- Bisectriz de Fischer.....:	B: 18,5º;	M: 17º;	D: -1,5º
- Método de Newton.....:	V: -3,5;	H: -1,5	
Ang. Tubérculo-Inion-Monro.:	17º		
Ang. Monro-Inion-Bregma....:	20º		
Ang. Tubérculo-Lambda-Monro:	10º		
Ang. Monro-Glabela-Bregma..:	47º		
Ang. Monro-Bregma-Tubérculo:	14,5º		
Ang. Monro-Tubérculo-Inion.:	64,5º		
Ang. Apex-Tubérculo-Monro..:	23º		
Ang. Monro-Apex-Bregma.....:	54º		
Lín. fleboaxial-Monro.....:	0		

FLEBOGRAMA LATERAL

Parámetros de la v. cerebral interna

- Método de Potts y Taveras: A-B: 36; b: 8; c: 1; d: 0,2
- Método de Shah-Kendall...: A: 29,8; B: 37,1; C: 26,2
- Método de Babin y cols...: c: 47º; b: 44º

Cociente de giro sagital.: 92

Arco venoso profundo.....: 2

Proyecciones de la v. basal

Eje incisural-vena basal.: A: -; B: -6; C: -13; D: -8

FLEBOGRAMA FRONTAL

- Angulo venoso-Línea media.: 15
- Talamoestriada-Línea media: 18

Referencias angiográficas complementarias

- Arteriograma frontal: desviación cuadrada de la arteria cerebral anterior. Desplazamiento medial de la arteria cerebral posterior. Elevación y desviación medial de todos los vasos silvianos.

- Arteriograma lateral: intensa depresión de la arteria cerebral posterior. Gran elevación y desplazamiento anterior de todos los vasos silvianos.

FIG. 394

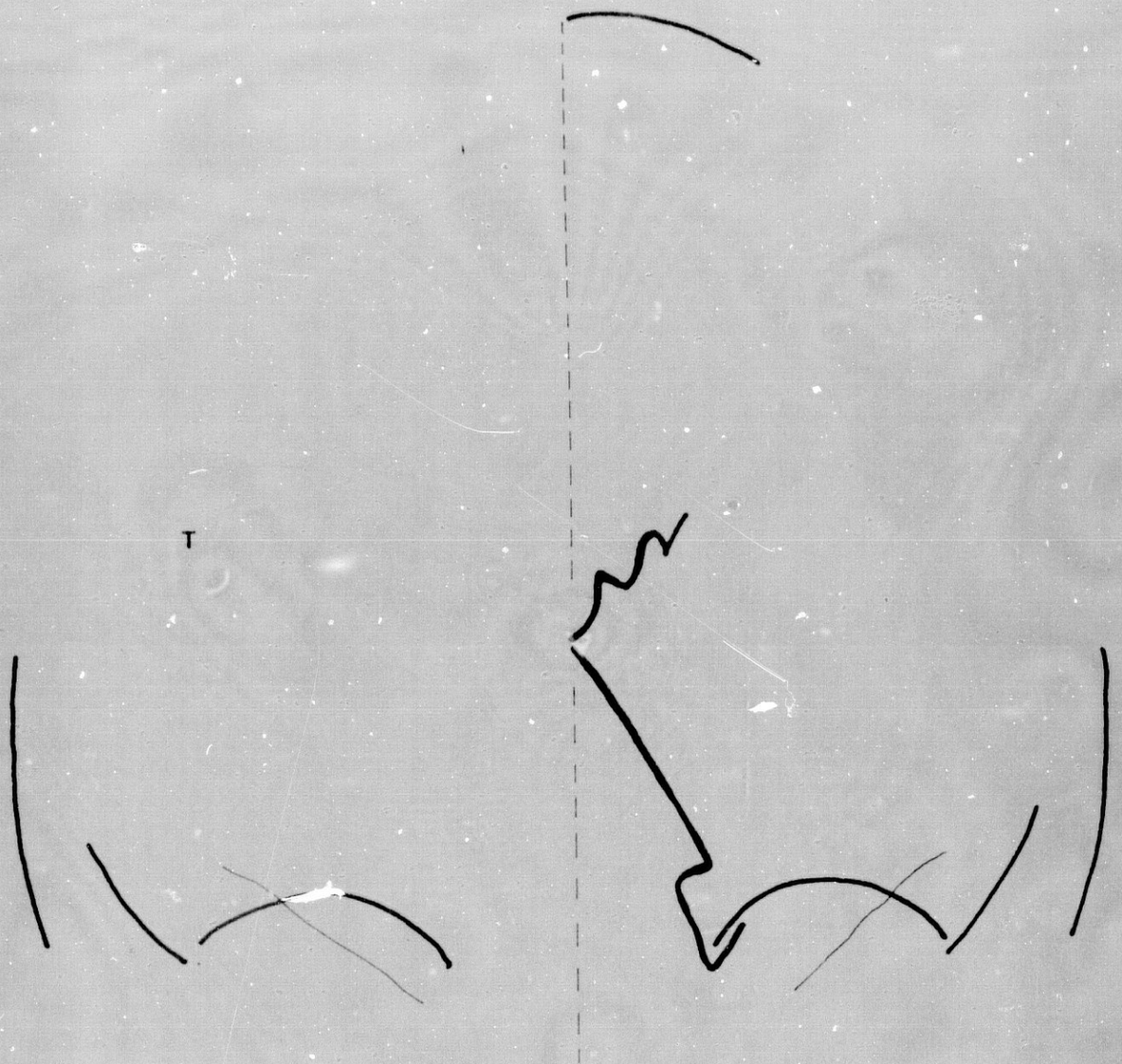

FIG. 395

S E R I E: Patológica

- Masa paraaxial media lateral
- (Supraslviana posterior)

Caso nº P-102 (H-19)

Reseña personal: A.L.J. Varón. 54 años.

Reseña clínica: Hematoma subdural parietal izquierdo.

.....

FLEBOGRAMA LATERAL

Parámetros del ángulo venoso

- Método de Laine.....:	H: 25;	V: 15	
- Método de Fischer.....:	H: -7;	V: -0,5	
- Bisectriz de Fischer.....:	B: 18,7º;	M: 20º;	D: 1,3º
- Método de Newton.....:	V: 1,5;	H: 1,5	
Ang. Tubérculo-Inion-Monro.:	20º		
Ang. Monro-Inion-Bregma....:	17,5º		
Ang. Tubérculo-Lambda-Monro:	8,5º		
Ang. Monro-Glabela-Bregma..:	45º		
Ang. Monro-Bregma-Tubérculo:	22,5º		
Ang. Monro-Tubérculo-Inion.:	55º		
Ang. Apex-Tubérculo-Monro..:	20,5º		
Ang. Monro-Apex-Bregma,....:	48,5º		
Lín. fleboaxial-Monro.....:	1,5		

FLEBOGRAMA LATERAL

Parámetros de la v. cerebral interna

- Método de Potts y Taveras: A-B: 38; b: 4; c: 2; d: -1,5
- Método de Shah-Kendall...: A: 33,3; B: 36,5; C: 30,8
- Método de Babin y cols...: c: 42,5º; b: 37º

Cociente de giro sagital.: 80

Arco venoso profundo.....: 5

Proyecciones de la v. basal

Eje incisural-vena basal.: A: -; B: -8,5; C: -17; D: -14,5

FLEBOGRAMA FRONTAL

- Angulo venoso-Línea media.: 8,5
- Talamoestriada-Línea media: 6,5

Referencias angiográficas complementarias

- Arteriograma frontal: desviación proximal y distal de la arteria cerebral anterior. Desplazamiento medial de los vasos insulares. Descenso del punto angiográfico silviano.

- Arteriograma lateral: descenso de la porción posterior del borde superior del triángulo silviano.

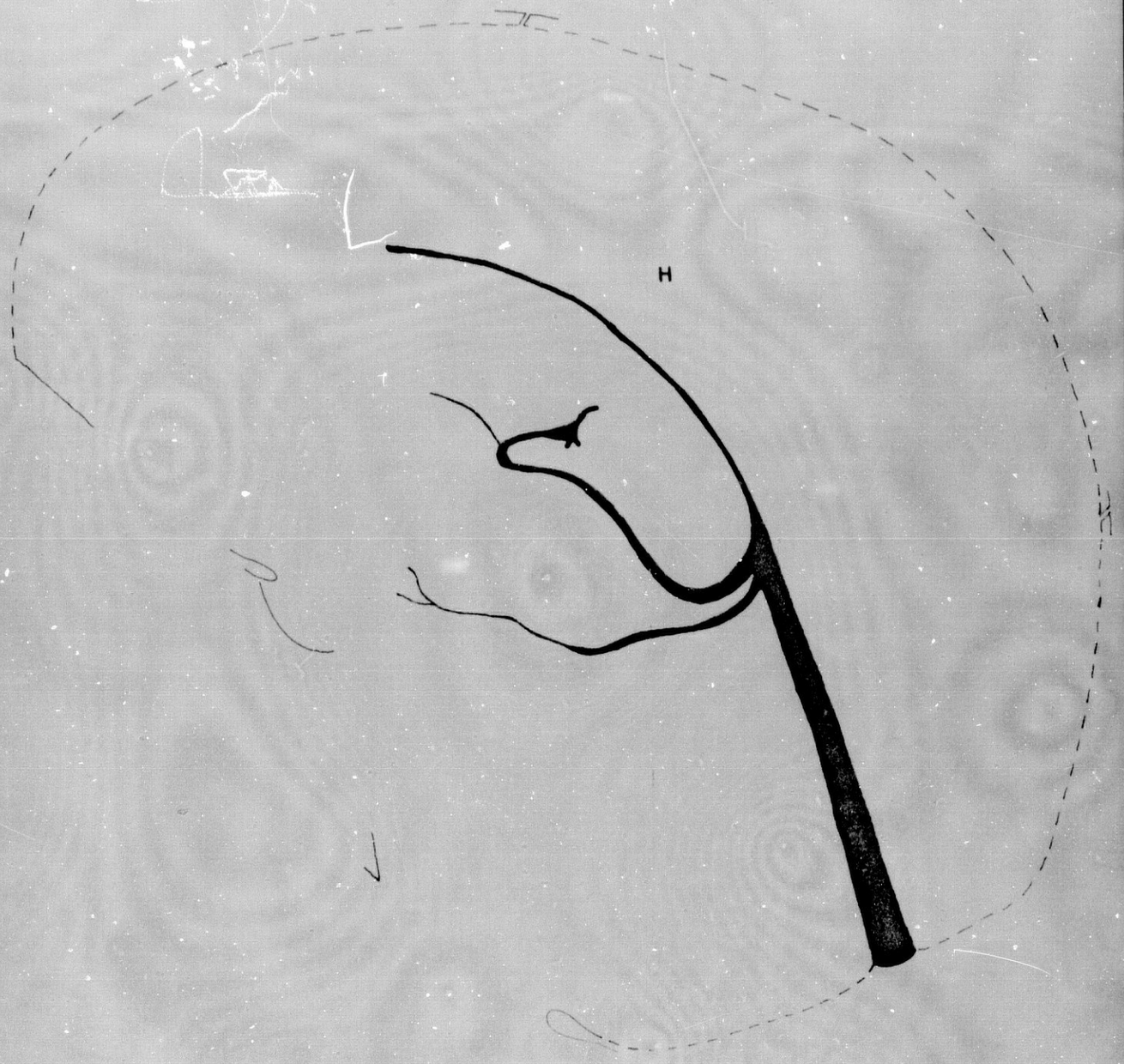

FIG. 396

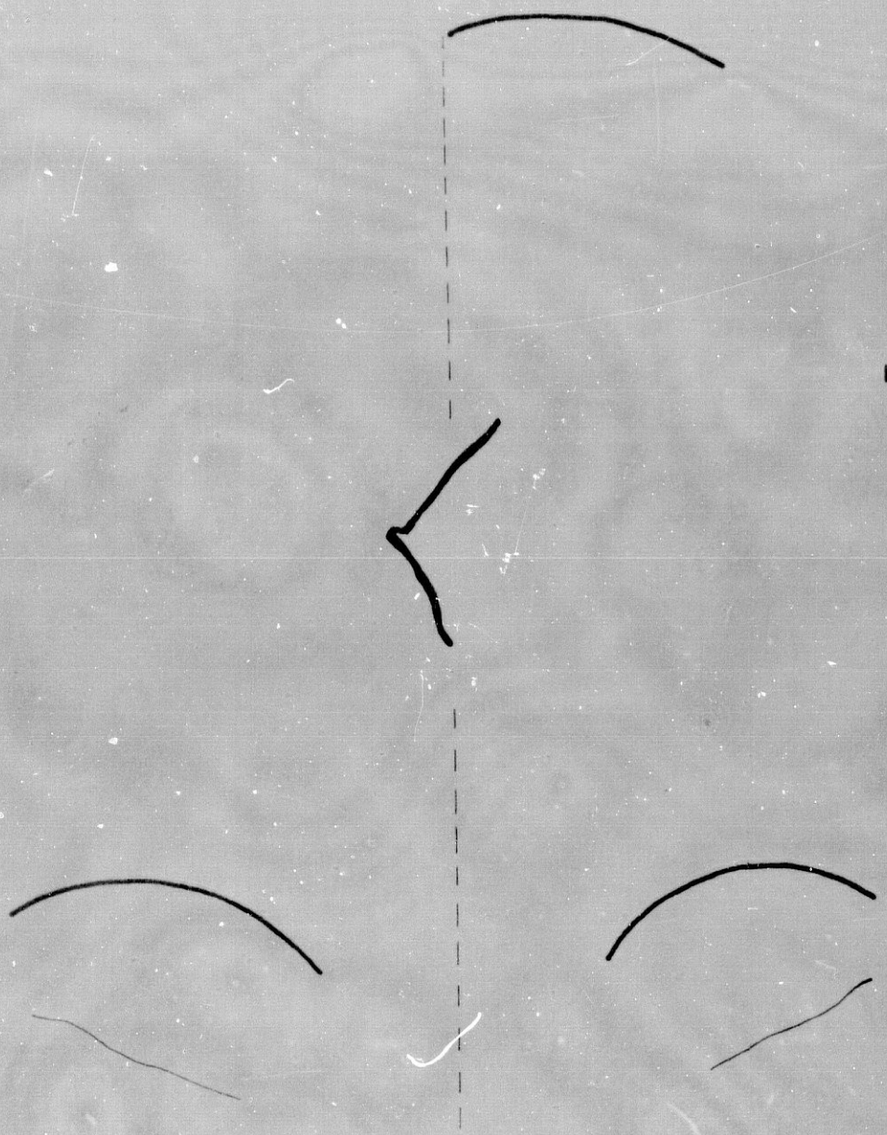

FIG. 397

S E R I E: Patológica

- Masa paraaxial media lateral
- (Suprasilviana posterior)

Caso nº P-103 (H-23)

Reseña personal: A.M.F. Varón. 36 años.

Reseña clínica: Hematoma subdural temporoparietal derecho.

.....

FLEBOGRAMA LATERAL

Parámetros del ángulo venoso

- Método de Laine.....:	H: 14;	V: 10,5	
- Método de Fischer.....:	H: 7;	V: -8	
- Bisectriz de Fischer.....:	B: 19,7º;	M: 12º;	D: -7,7º
- Método de Newton.....:	V: -8,5;	H: -4	
Ang. Tubérculo-Inion-Monro.:	12º		
Ang. Monro-Inion-Bregma....:	27,5º		
Ang. Tubérculo-Lambda-Monro:	5º		
Ang. Monro-Glabela-Bregma..:	46º		
Ang. Monro-Bregma-Tubérculo:	11º		
Ang. Monro-Tubérculo-Inion :	56º		
Ang. Apex-Tuberculo-Monro..:	27º		
Ang. Monro-Apex-Bregma.....:	58º		
Lín. fleboaxial-Monro.....:	-2,2		

FLEBOGRAMA LATERAL

Parámetros de la v. cerebral interna

- Método de Potts y Taveras: A-B: 40; b: 9; c: 2,2; d: -0,5
- Método de Shah-Kendall...: A: 19,3; B: 28,4; C: 19,6
- Método de Babin y cols...: c: 29º; b: 31º

Cociente de giro sagital.: 111

Arco venoso profundo.....: 5

Proyecciones de la v. basal

Eje incisural-vena basal.: A: -; B: -3; C: -5,5; D: -

FLEBOGRAMA FRONTAL

- Angulo venoso-Línea media.: 9,5
- Talamoestriada-Línea media: 8,5

Referencias angiográficas complementarias

- Arteriograma frontal: desplazamiento distal de la arteria cerebral anterior. Gran descenso de los vasos silvianos.

- Arteriograma lateral: notable estiramiento de las ramas operculares parietales de la arteria cerebral media. Depresión de la porción posterior del triángulo silviano. Considerable descenso de la arteria cerebral posterior.

FIG. 398

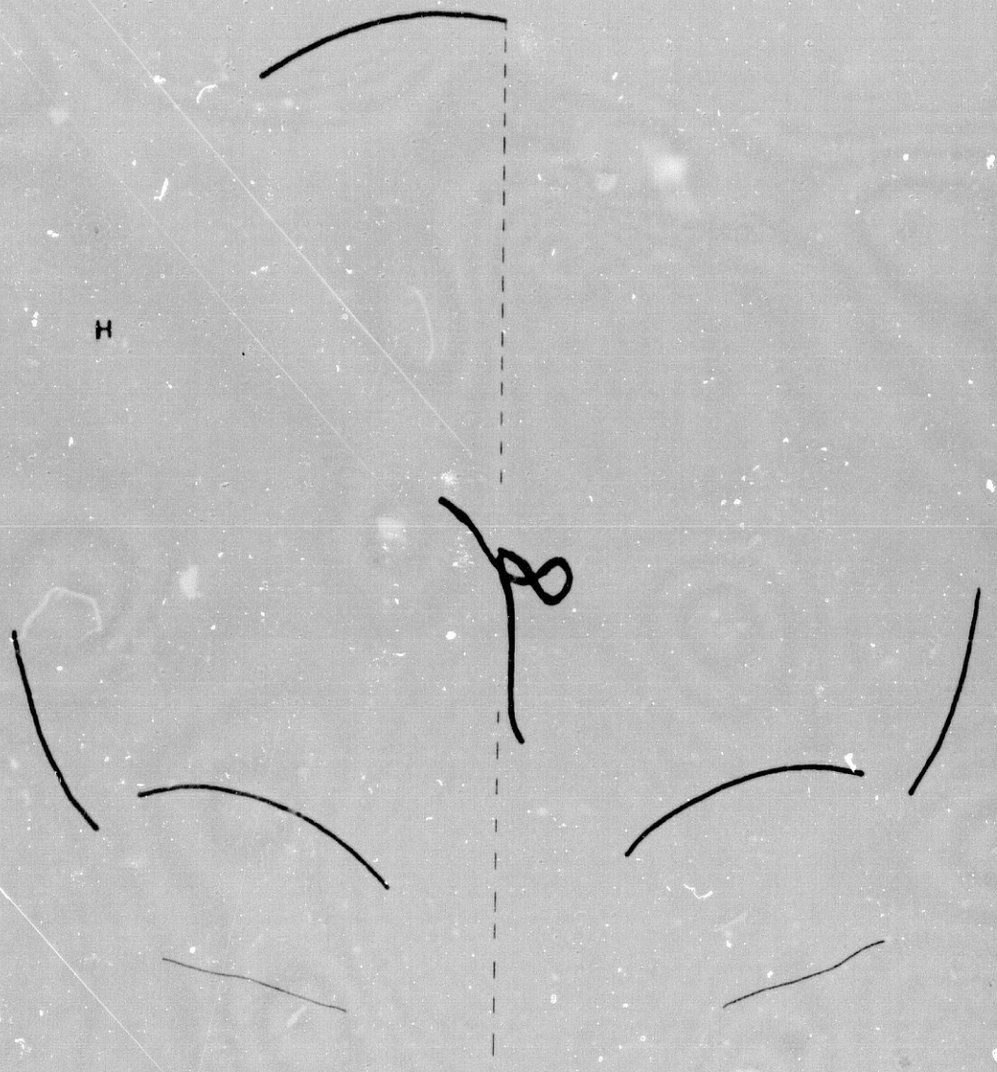

FIG. 399

S E R I E: Patológica

- Masa paraaxial media lateral
- (Suprasilviana anterior)

Caso nº P-104 (H-25)

Reseña personal: A.M.M. Mujer 54 años.

Reseña clínica: Enorme meningioma parietal izquierdo.

.....

FLEBOGRAMA LATERAL

Parámetros del ángulo venoso

- Método de Laine.....:	H: 19,5;	V: 19,5
- Método de Fischer.....:	H: -3;	V: 3
- Bisectriz de Fischer.....:	B: 20º;	M: 22,5º; D: 2,5º
- Método de Newton.....:	V: 2;	H: -4
Ang. Tubérculo-Inion-Monro.:	22,5º	
Ang. Monro-Inion-Bregma....:	17,5º	
Ang. Tubérculo-Lambda-Monro:	11º	
Ang. Monro-Glabela-Bregma..:	43,5º	
Ang. Monro-Bregma-Tubérculo:	20º	
Ang. Monro-Tubérculo-Inion.:	62º	
Ang. Apex-Tubérculo-Monro..:	29,5º	
Ang. Monro-Apex-Bregma.....:	43º	
Lín. fleboaxial-Monro.....:	8	

FLEBOGRAMA LATERAL

Parámetros de la v. cerebral interna

- Método de Potts y Taveras: A-B: 30; b: 6,8; c: 1,5; d: 1
- Método de Shah-Kendall...: A: 33,3; B: 37,9; C: 25,6
- Método de Babin y cols...: c: 58º; b: 43º

Cociente de giro sagital.: 64

Arco venoso profundo.....: 4,5

Proyecciones de la v. basal

Eje incisural-vena basal.: A: -; B: 7; C: -4,5; D: -

FLEBOGRAMA FRONTAL

- Angulo venoso-Línea media.: 6
- Talamoestriada-Línea media: 18

Referencias angiográficas complementarias

- Arteriograma frontal: desviación redonda, más distal que proximal, de la arteria cerebral anterior. Gran desplazamiento medial de la arteria cerebral posterior y de todos los vasos silvianos.

- Arteriograma lateral: ramas operculares importantes se redondean totalmente bordeando y nutriendo el tumor. Gran depresión de los vasos silvianos.

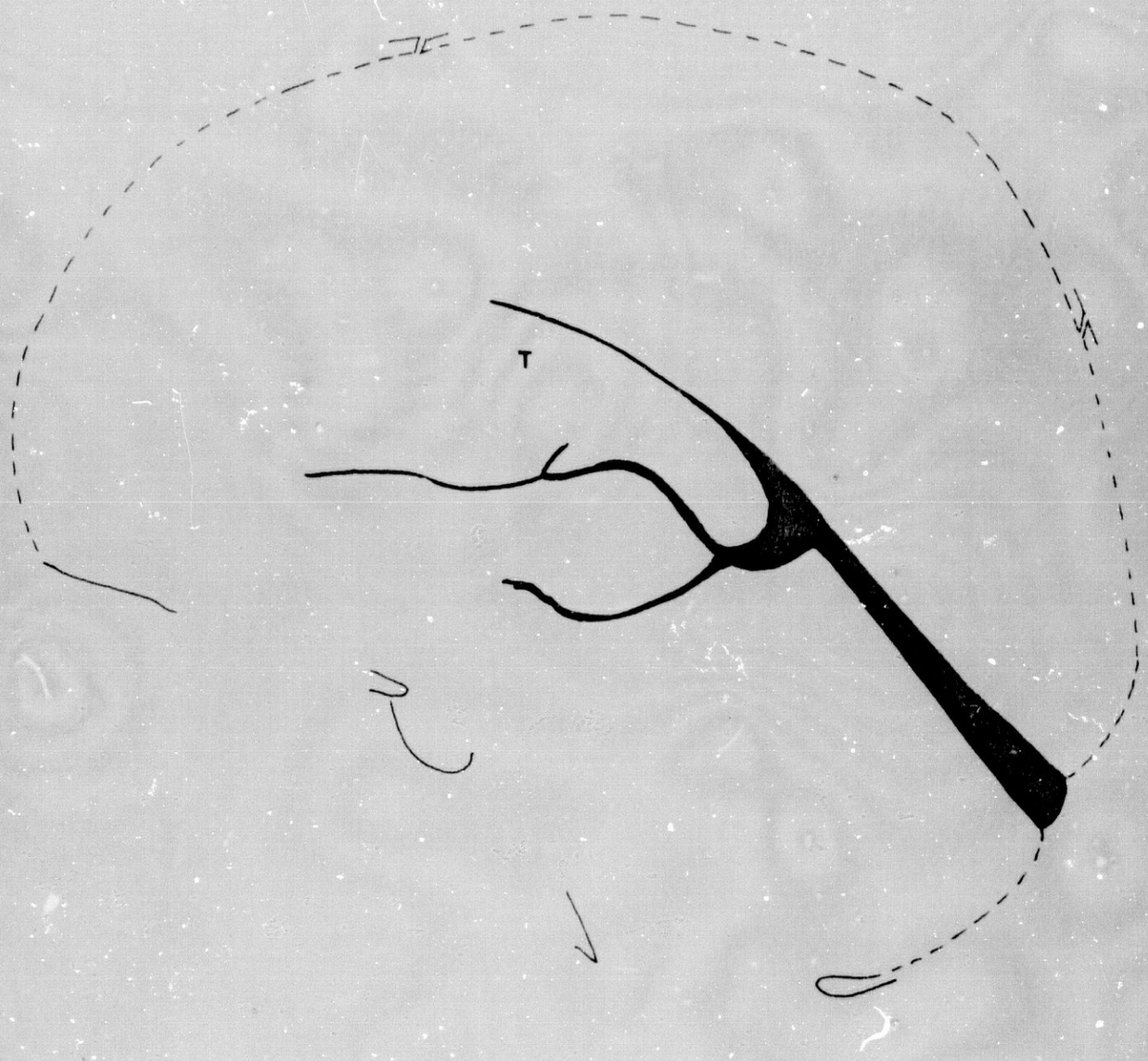

FIG. 400

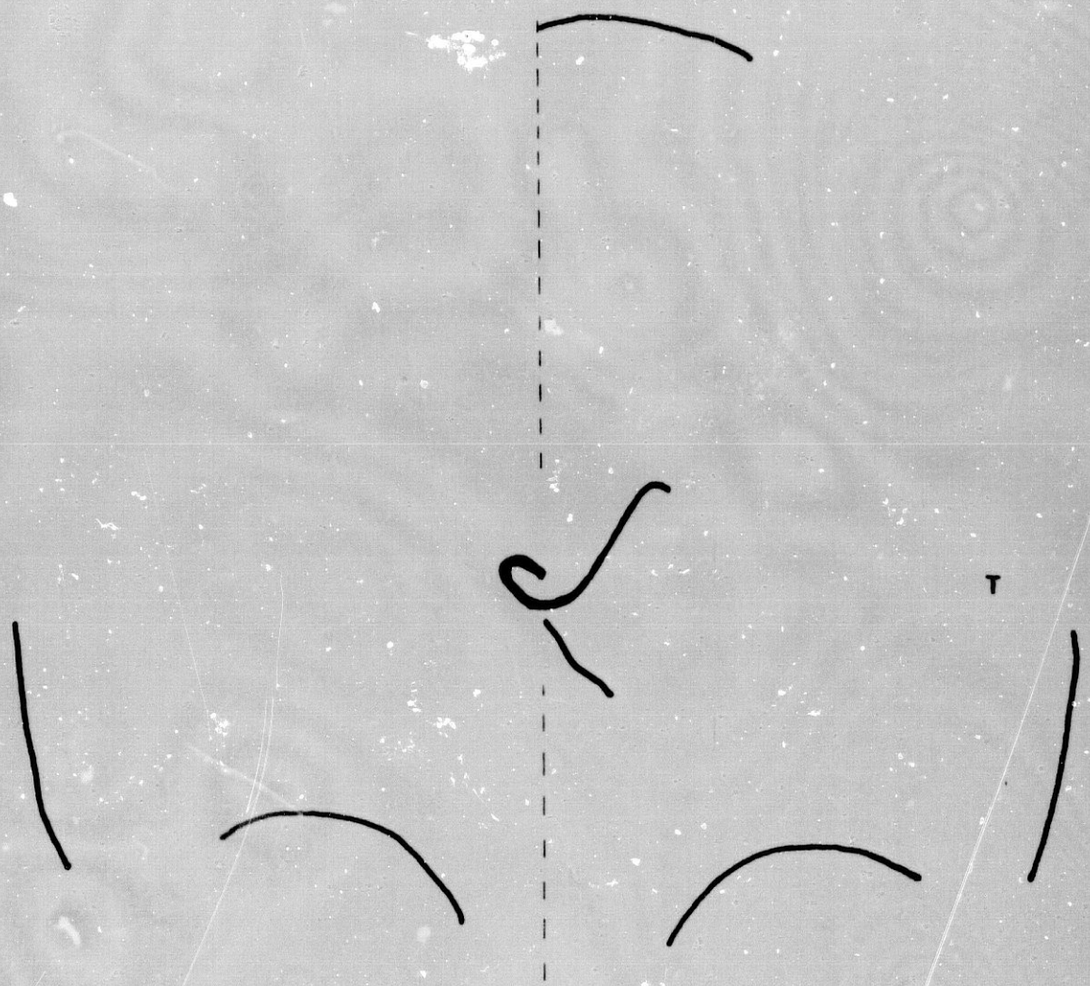

FIG. 401

S E R I E: Patológica

- Masa paraaxial media lateral
- (Infrasilviana)

Caso nº P-105 (H-120)

Reseña personal: I.N.D. Mujer. 42 años.

Reseña clínica: Quiste hidatídico temporal izquierdo.

.....

FLEBOGRAMA LATERAL

Parámetros del ángulo venoso

- Método de Laine.....:	H: 11,5;	V: 16,5	
- Método de Fischer.....:	H: 8;	V: -2	
- Bisectriz de Fischer.....:	B: 21º;	M: 15º;	D: -6º
- Método de Newton.....:	V: -6;	H: 3	
Ang. Tubérculo-Inion-Monro.:	15º		
Ang. Monro-Inion-Bregma....:	27º		
Ang. Tubérculo-Lambda-Monro:	11,5º		
Ang. Monro-Glabela-Bregma..:	48º		
Ang. Monro-Bregma-Tubérculo:	9º		
Ang. Monro-Tubérculo-Inion.:	66º		
Ang. Apex-Tubérculo-Monro..:	33º		
Ang. Monro-Apex-Bregma.....:	55.5º		
Lín. fleboaxial-Monro.....:	-2,5		

FLEBOGRAMA LATERAL

Parámetros de la v. cerebral interna

- Método de Potts y Taveras: A-B: 39; b: 10; c: 1; d: -0,5
- Método de Shah-Kendall...: A: 26,3; B: 34,5; C: 21,8
- Método de Babin y cols...: c: 41º; b: 38º;

Cociente de giro sagital.: 108

Arco venoso profundo.....: 7

Proyecciones de la v. basal

Eje incisural-vena basal.: A: 8,5; B: -11; C: -14,5; D: -9

FLEBOGRAMA FRONTAL

- Angulo venoso-Línea media.: 9
- Talamcestriada-Línea media: 4,5

Referencias angiográficas complementarias

- Arteriograma frontal: desviación general, preferentemente distal, de la arteria cerebral anterior. Elevación y desplazamiento medial, con curvatura de concavidad externa, del eje silviano.

- Arteriograma lateral: elevación y adelantamiento de los vasos insulares con "signo del manto" de las ramas operculares temporales.

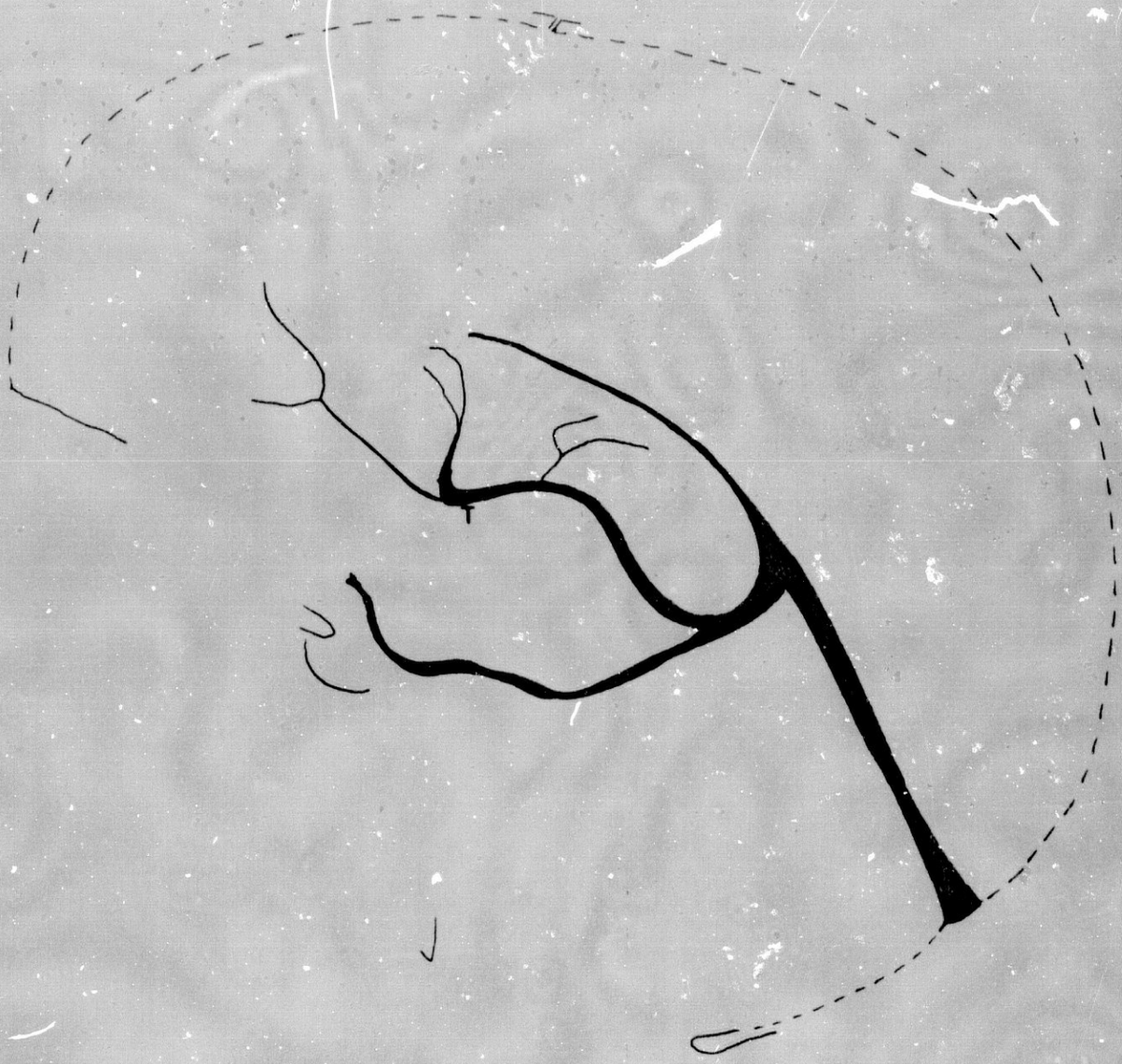

FIG. 402

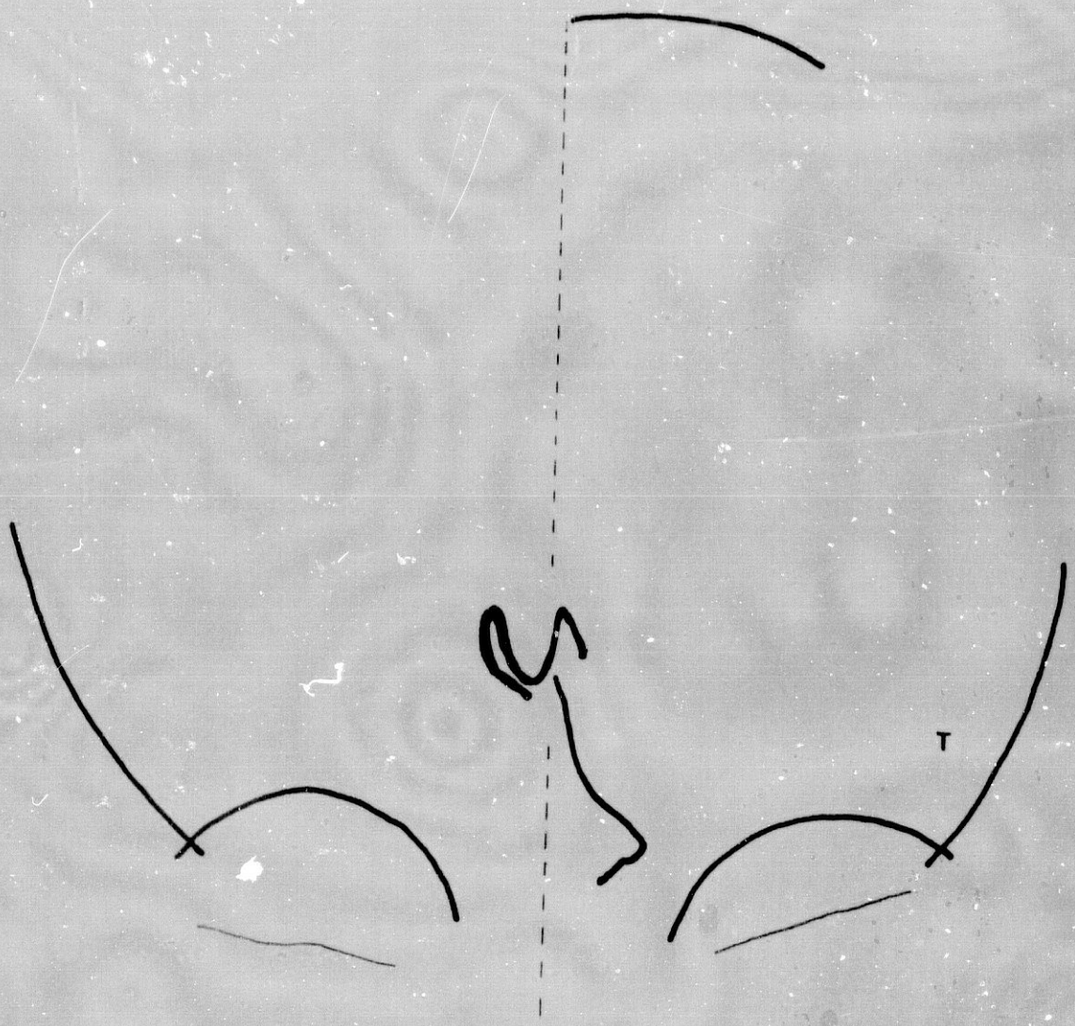

FIG. 403

S E R I E: Patológica

- Masa paraaxial media lateral
- (Retrosilviana superior)

Caso nº P-106 (H-147)

Reseña personal: J.L.M. Varón. 42 años.

Reseña clínica: Glioblastoma multiforme temporoparietal derecho.

.....

FLEBOGRAMA LATERAL

Parámetros del ángulo venoso

- Método de Laine.....:	H: 13,5;	V: 20,5	
- Método de Fischer.....:	H: 2;	V: 0	
- Bisectriz de Fischer.....:	B: 20,2º;	M: 19º;	D: -3,2º
- Método de Newton.....:	V: -2;	H: 5	
Ang. Tubérculo-Inion-Monro.:	19º		
Ang. Monro-Inion-Bregma....:	21,5º		
Ang. Tubérculo-Lambda-Monro:	12º		
Ang. Monro-Glabela-Bregma..:	41,5º		
Ang. Monro-Bregma-Tubérculo:	13,5º		
Ang. Monro-Tubérculo-Inion.:	69º		
Ang. Apex-Tubérculo-Monro..:	33,3º		
Ang. Monro-Apex-Bregma.....:	30,5º		
Lín. fleboaxial-Monro.....:	0,5		

FLEBOGRAMA LATERAL

Parámetros de la v. cerebral interna

- Método de Potts y Taveras: A-B: 43; b: 8; c: 2; d: 0,5
- Método de Shah-Kendall...: A: 32,3; B: 36,2; C: 27,1
- Método de Babin y cols...: c: 47,5º; b: 43,5º

Cociente de giro sagital.: 89

Arco venoso profundo.....: 7

Proyecciones de la v. basal

Eje incisural-vena basal.: A: -; B: 11; C: -5; D: -

FLEBOGRAMA FRONTAL

- Angulo venoso-Línea media.: 7
- Talamoestriada-Línea media: 10,5

Referencias angiográficas complementarias

- Arteriograma frontal: desviación cuadrada de la arteria cerebral anterior. Depresión del punto angiográfico silviano, a cuyo nivel se visualiza una gran cantidad de vasos patológicos que delimitan los contornos de un gran glioblastoma.

- Arteriograma lateral: gran silueta de vasos patológicos que se proyectan a nivel atrial. Rechazo anterior de todos los vasos del grupo silviano.

FIG. 404

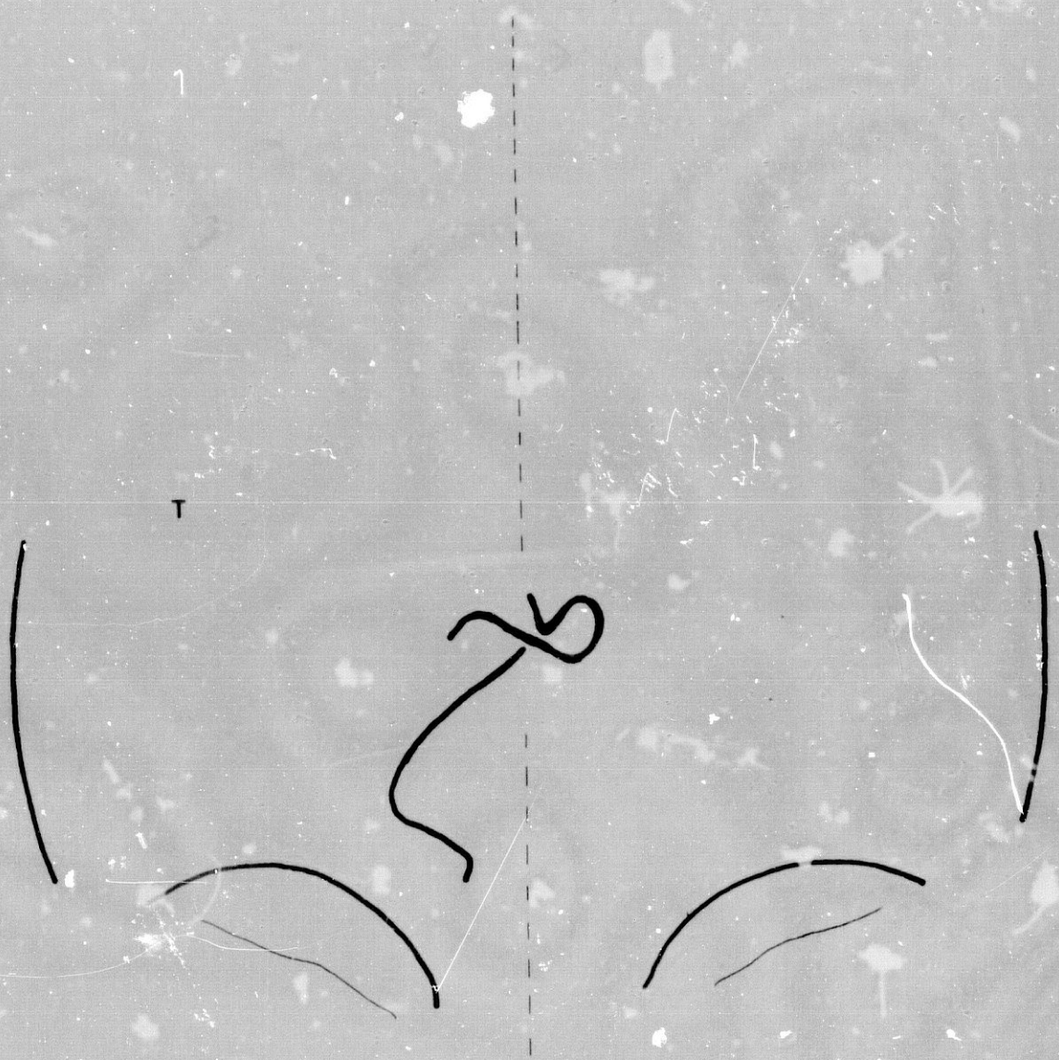

FIG. 405

S E R I E: Patológica

- Masa paraaxial media lateral

-(Laterosilviana)

Caso nº P-107 (H-155)

Reseña personal: J.M.M. Varón. 52 años.

Reseña clínica: Hematoma subdural parietotemporal derecho.

.....

FLEBOGRAMA LATERAL

Parámetros del ángulo venoso

- Método de Laine.....: H: 13,5; V: 21
- Método de Fischer.....: H: -5; V: 2,5
- Bisectriz de Fischer.....: B: 20,5º; M: 23º; D: 2,5º
- Método de Newton.....: V: 3; H: -2,5

Ang. Tubérculo-Inion-Monro.: 23º

Ang. Monro-Inion-Bregma....: 18º

Ang. Tubérculo-Lambda-Monro: 15,5º

Ang. Monro-Glabela-Bregma..: 45,5º

Ang. Monro-Bregma-Tubérculo: 15º

Ang. Monro-Tubérculo-Inion.: 70º

Ang. Apex-Tubérculo-Monro..: 31º

Ang. Monro-Apex-Bregma.....: 49º

Lín. fleboaxial-Monro.....: 2

FLEBOGRAMA LATERAL

Parámetros de la v. cerebral interna

- Método de Potts y Taveras: A-B: 32; b: 4; c: 0 d: -0,5
- Método de Shah-Kendall...: A: 35,8; B: 35,3; C: 26,4
- Método de Babin y cols...: c: 73,5º; b: 50º

Cociente de giro sagital.: 70

Arco venoso profundo.....: 4

Proyecciones de la v. basal

Eje incisural-vena basal.: A: 8; B: 1; C: -10; D: -

FLEBOGRAMA FRONTAL

- Angulo venoso-Línea media.: 4
- Talamoestriada-Línea media: 14

Referencias angiográficas complementarias

- Arteriograma frontal: desviación media y distal de la arteria cerebral anterior. Desplazamiento medial de la arteria cerebral posterior. Depresión de los vasos silvianos.

- Arteriograma lateral: tortuosidad de la última porción de la arteria pericallosa. Gran depresión de la arteria comunicante posterior y de la porción inicial de la arteria cerebral posterior. Ligera depresión de la parte posterosuperior del triángulo silviano.

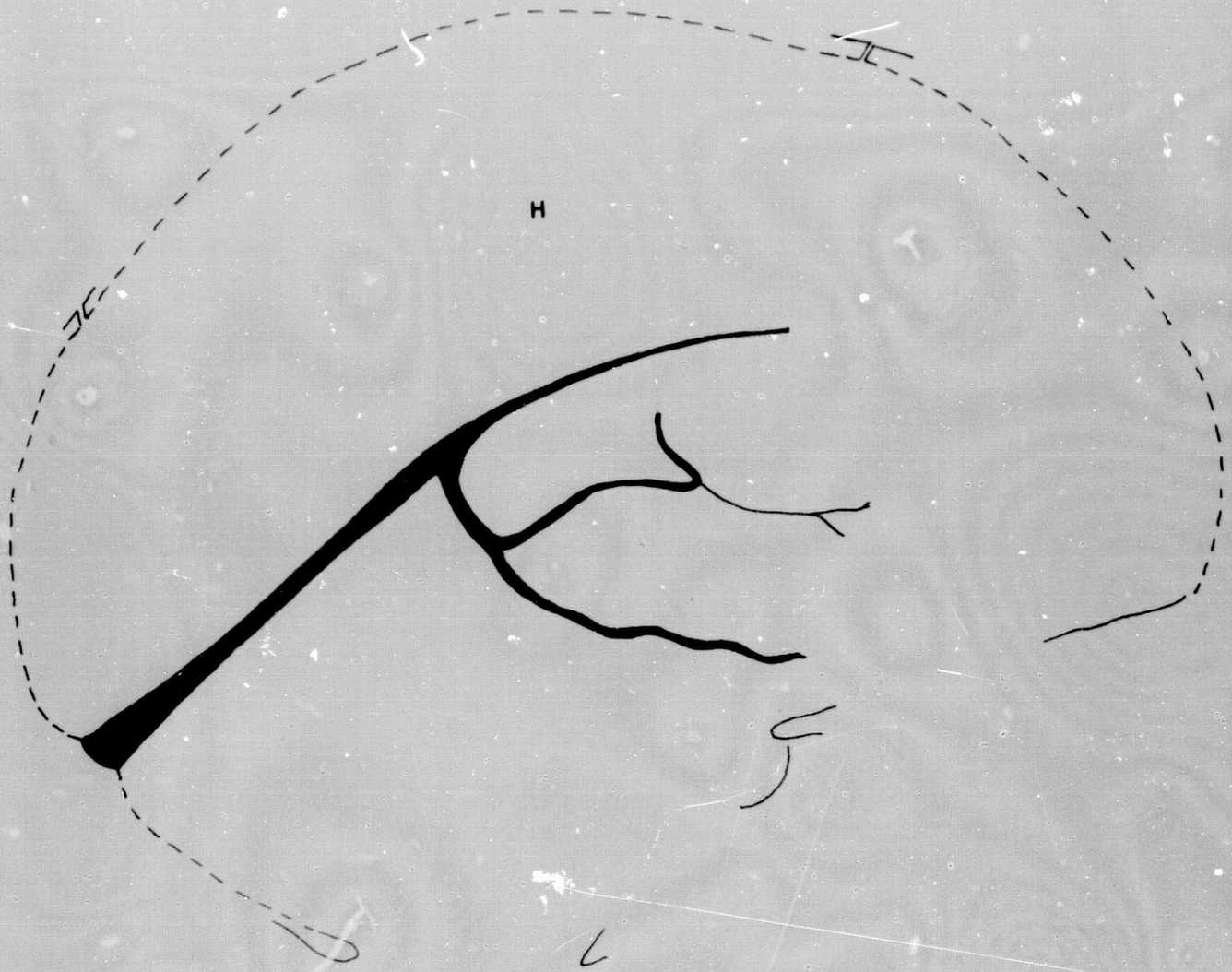

FIG. 406

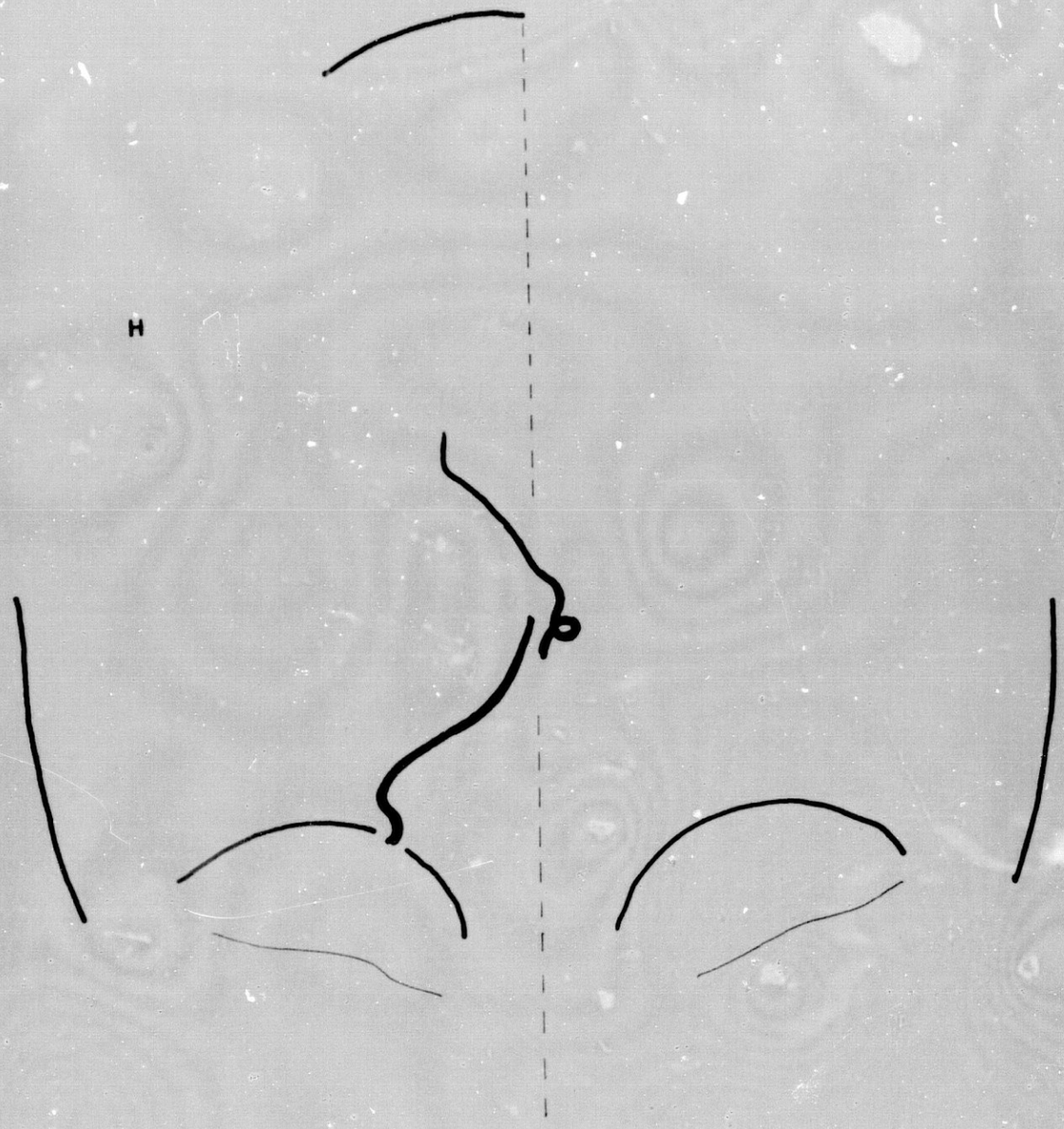

FIG. 407

S E R I E: Patológica

- Masa paraaxial media lateral

- (Laterosilviana)

Caso nº P-108 (H-170)

Reseña personal: J.R.Q. Mujer. 73 años.

Reseña clínica: Hematoma subdural derecho.

.....

FLEBOGRAMA LATERAL

Parámetros del ángulo venoso

- Método de Laine.....:	H: 16;	V: 15
- Método de Fischer.....:	H: -10;	V: 1
- Bisectriz de Fischer.....:	B: 18º;	M: 17,5º; D: -0,5º
- Método de Newton.....:	V: -5;	H: -5
Ang. Tubérculo-Inion-Monro.:	17,5º	
Ang. Monro-Inion-Bregma....:	18,5º	
Ang. Tubérculo-Lambda-Monro:	10º	
Ang. Monro-Glabela-Bregma..:	50º	
Ang. Monro-Bregma-Tubérculo:	17,5º	
Ang. Monro-Tubérculo-Inion.:	60º	
Ang. Apex-Tubérculo-Monro..:	28º	
Ang. Monro-Apex-Bregma.....:	46,5º	
Lín. fleboaxial-Monro.....:	-3	

FLEBOGRAMA LATERAL

Parámetros de la v. cerebral interna

- Método de Potts y Taveras: A-B: 36; b: 4; c: 1; d: 0
- Método de Shah-Kendall...: A: 26,5; B: 29,6; C: 20,1
- Método de Babin y cols...: c: 47º; b: 32,5º

Cociente de giro sagital.: 110

Arco venoso profundo.....: 7

Proyecciones de la v. basal

Eje incisural-vena basal.: Inviable (no se opacificó el SSI)

FLEBOGRAMA FRONTAL

- Angulo venoso-Línea media.: 13
- Talamoestriada-Línea media: 8

Referencias angiográficas complementarias

- Arteriograma frontal: desviación cuadrada de la arteria cerebral anterior. Desplazamiento medial de todos los vasos de la región temporoparietal, que delimitan una zona avascular correspondiente al hematoma subdural.

- Arteriograma lateral: no se aprecian alteraciones significativas.

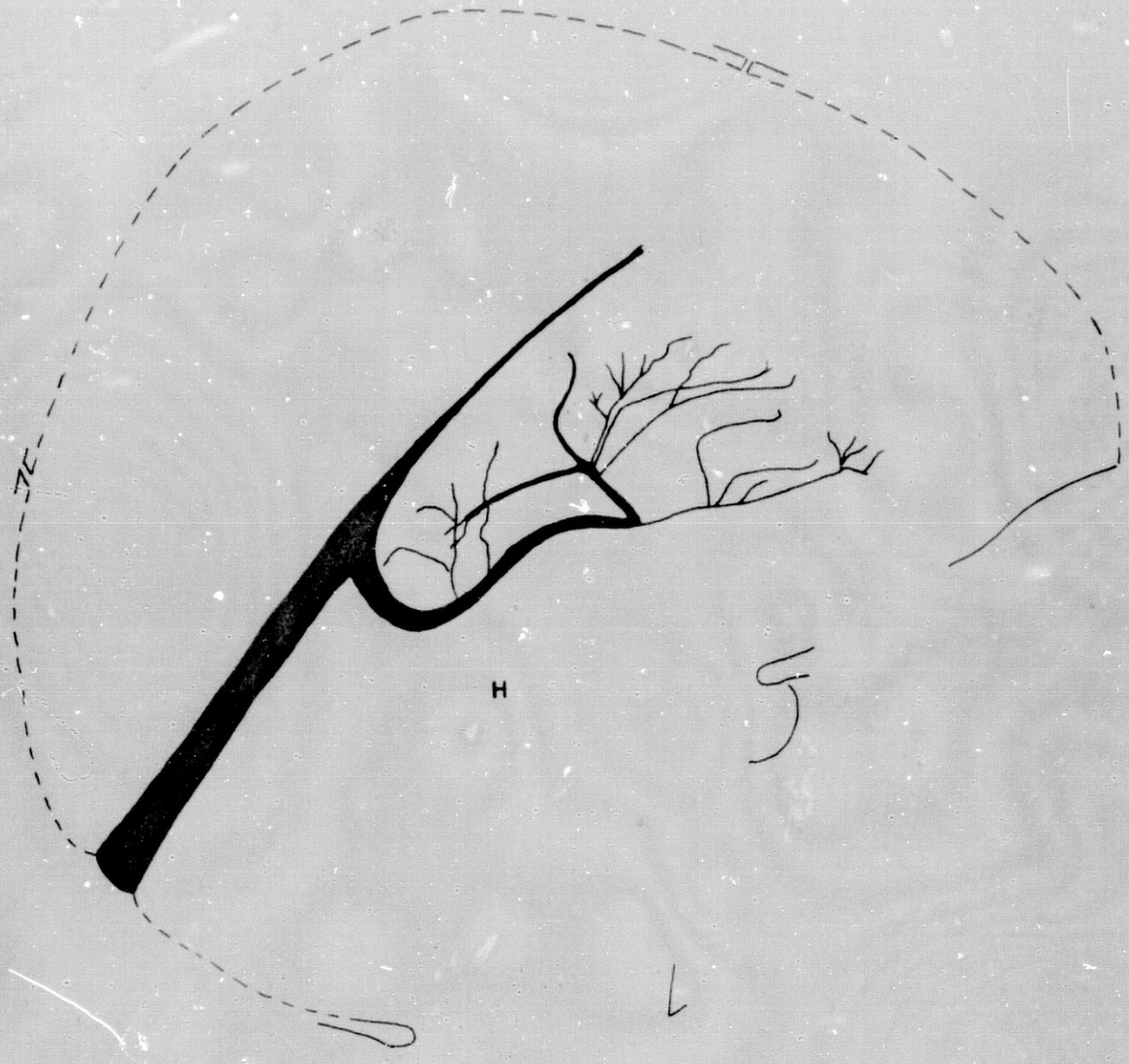

FIG. 408

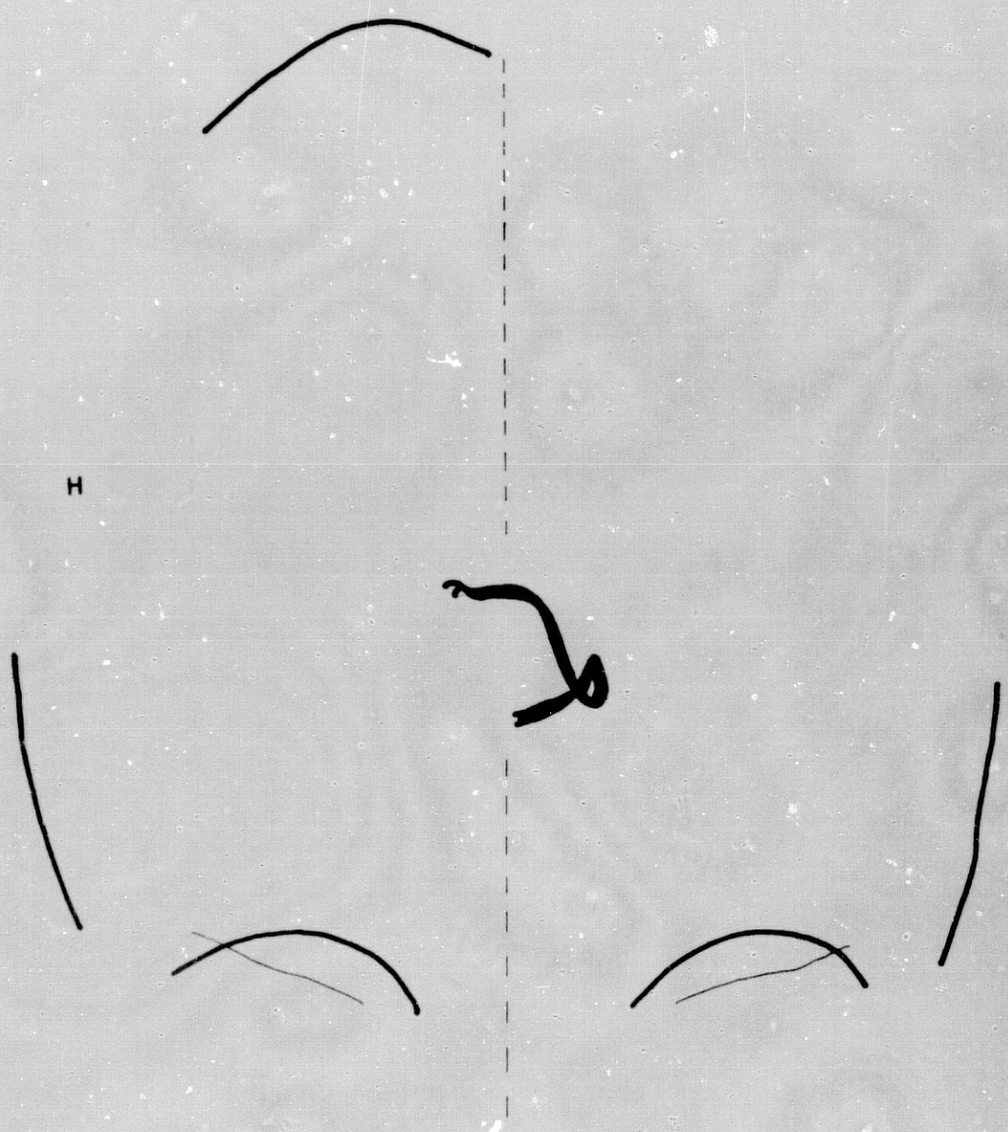

FIG. 409

S E R I E: Patológica

- Masa paraaxial media lateral
- (Retrosilviana)

Caso nº P-109 (H-204)

Reseña personal: M.G.T. Mujer. 65 años.

Reseña clínica: Glioblastoma parietotemporal derecho.

.....

FLEBOGRAMA LATERAL

Parámetros del ángulo venoso

- Método de Laine.....: H: 3,5; V: 21,6
- Método de Fischer.....: H: -14; V: -2,5
- Bisectriz de Fischer.....: B: 18,5º; M: 12,5º; D: -6º
- Método de Newton.....: V: -6,5; H: 12

Ang. Tubérculo-Inion-Monro.: 12,5º
Ang. Monro-Inion-Bregma....: 24,6º
Ang. Tubérculo-Lambda-Monro: 11º
Ang. Monro-Glabela-Bregma..: 42º
Ang. Monro-Bregma-Tubérculo: 4º
Ang. Monro-Tubérculo-Inion.: 83º
Ang. Apex-Tubérculo-Monro..: 57,5º
Ang. Monro-Apex-Bregma.....: 40º
Lín. fleboaxial-Monro.....: 4

FLEBOGRAMA LATERAL

Parámetros de la v. cerebral interna

- Método de Potts y Taveras: A-B: 50; b: 6; c: -2; d: -1
- Método de Shah-Kendall...: A: 25,1; B: 30,5; C: 30
- Método de Babin y cols...: c: 43º; b: 39º

Cociente de giro sagital.: Inviable (no se opacificó el SSI)

Arco venoso profundo.....: 8

Proyecciones de la v. basal

Eje incisural-vena basal.: A: -; B: -6,5; C: -9; D: -

FLEBOGRAMA FRONTAL

- Angulo venoso-Línea media.: 15,5
- Talamoestriada-Línea media: 0,5

Referencias angiográficas complementarias

- Arteriograma frontal: desviación proximal y distal de la arteria cerebral anterior. Desplazamiento medial de las arterias lenticuloestriadas. Elevación de las ramas silvianas de la arteria cerebral media.

- Arteriograma lateral: arrugamiento inferior de la arteria coroidea anterior. Elevación del borde inferior del triángulo silviano, con "signo del manto".

FIG. 410

FIG. 411

S E R I E: Patológica

- Masa paraaxial media lateral
- (Suprasilviana media)

Caso nº P-110 (H-208)

Reseña personal: MA.P.B. Mujer. 40 años.

Reseña clínica: Hematoma intraparenquimatoso parietotemporal derecho.

.....

FLEBOGRAMA LATERAL

Parámetros del ángulo venoso

- Método de Laine.....:	H: 17;	V: 21
- Método de Fischer.....:	H: 2,5;	V: -2
- Bisectriz de Fischer.....:	B: 22,5º;	M: 20,2º; D: -2,3º
- Método de Newton.....:	V: 1;	H: 4,5
Ang. Tubérculo-Inion-Monro.:	20,2º	
Ang. Monro-Inion-Bregma....:	24,8º	
Ang. Tubérculo-Lambda-Monro:	13,5º	
Ang. Monro-Glabela-Bregma..:	45º	
Ang. Monro-Bregma-Tubérculo:	12,3º	
Ang. Monro-Tubérculo-Inion.:	63º	
Ang. Apex-Tubérculo-Monro..:	34º	
Ang. Monro-Apex-Bregma.....:	50º	
Lín. fleboaxial-Monro.....:	-0,5	

FLEBOGRAMA LATERAL

Parámetros de la v. cerebral interna

- Método de Potts y Taveras: A-B: 35; b: 6,8; c: 1; d: -0,4
- Método de Shah-Kendall...: A: 32,5; B: 37,7; C: 26,5
- Método de Babin y cols...: c: 52º; b: 42º

Cociente de giro sagital.: 98

Arco venoso profundo.....: 4

Proyecciones de la v. basal

Eje incisural-vena basal.: A: -; B: -; C: -7; D: -

FLEBOGRAMA FRONTAL

- Angulo venoso-Línea media.: 0,5
- Talamoestriada-Línea media: 17

Referencias angiográficas complementarias

- Arteriograma frontal: ligerísima desviación homogénea del primer tramo ascendente de la arteria cerebral anterior. Desplazamiento medial de las arterias lenticuloestriadas y cerebral posterior.

- Arteriograma lateral: inversión del arco ascendente de la arteria pericalloso, que resulta de concavidad posterior. Depresión de las arterias comunicante posterior, cerebral posterior y coroidea anterior. Estiramiento de las ramas operculares parietales de la cerebral media. Depresión del triángulo silviano.

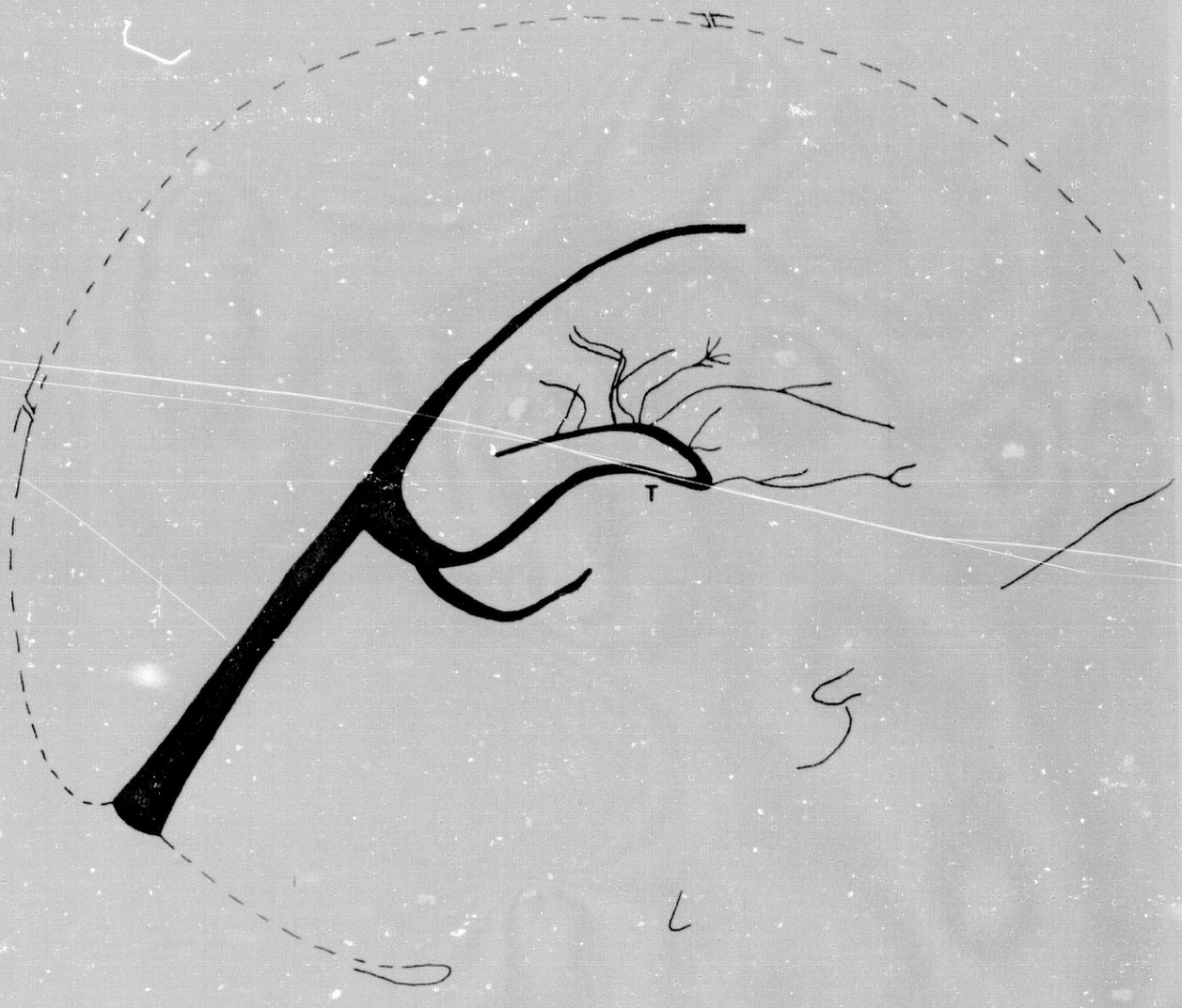

FIG. 412

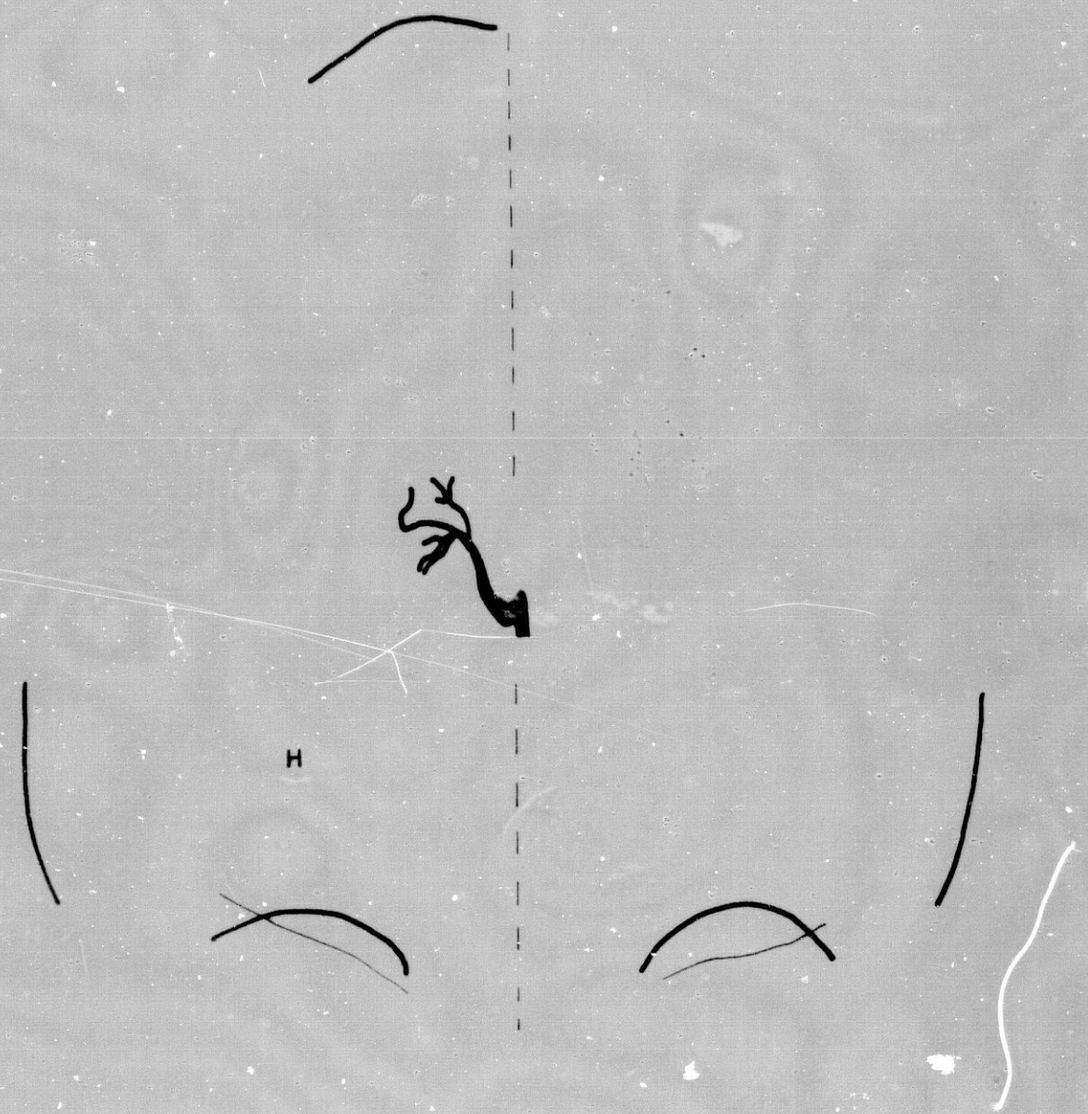

FIG. 413

S E R I E: Patológica

- Masa paraaxial media lateral
- (Suprasilviana)

Caso nº P-111 (H-230)

Reseña personal: P.I.C. Mujer. 57 años.

Reseña clínica: Glioblastoma multiforme parietal derecho.

.....

FLEBOGRAMA LATERAL

Parámetros del ángulo venoso

- Método de Laine.....:	H: 12;	V: 21	
- Método de Fischer.....:	H: 5;	V: -0,5	
- Bisectriz de Fischer.....:	B: 20º;	M: 17º;	D: -3º
- Método de Newton.....:	V: -4;	H: 2	
Ang. Tubérculo-Inion-Monro.:	17º		
Ang. Monro-Inion-Bregma....:	23º		
Ang. Tubérculo-Lambda-Monro:	12º		
Ang. Monro-Glabela-Bregma..:	46,5º		
Ang. Monro-Bregma-Tubérculo:	11º		
Ang. Monro-Tubérculo-Inion.:	69º		
Ang. Apex-Tubérculo-Monro..:	42º		
Ang. Monro-Apex-Bregma.....:	45,5º		
Lín. fleboaxial-Monro.....:	3		

FLEBOGRAMA LATERAL

Parámetros de la v. cerebral interna

- Método de Potts y Taveras: A-B: 46; b: 10,8; c: 5; d: -2
- Método de Shah-Kendall...: A: 28,8; B: 38,2º; C: 22
- Método de Babin y cols...: c: 44,8º; b: 38,5º

Cociente de giro sagital.: Inviable (no se opacificó el SSI)

Arco venoso profundo.....: 10,5

Proyecciones de la v. basal

Eje incisural-vena basal.: A: -; B: 4,5; C: 1; D: -

FLEBOGRAMA FRONTAL

- Angulo venoso-Línea media.: 4,5
- Talamoestriada-Línea media: 28,5

Referencias angiográficas complementarias

- Arteriograma frontal: ligera desviación de la arteria cerebral anterior. Desplazamiento medial de las arterias lenticuloestriadas. Descenso de los vasos silvianos.

- Arteriograma lateral: depresión de la porción posterior del triángulo silviano, con acusado estiramiento de sus ramas operculares parietales (que bordean la masa tumoral).

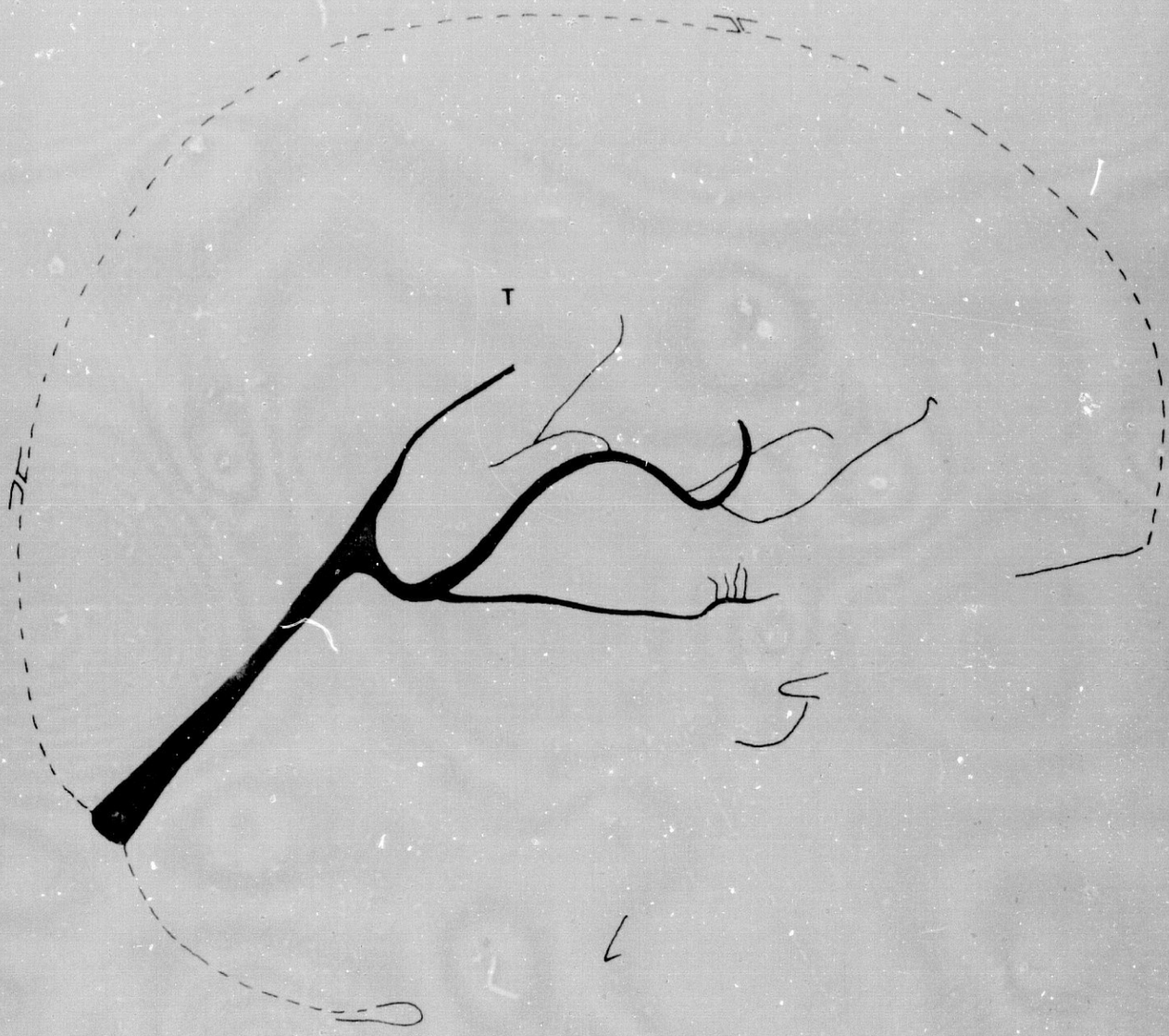

FIG. 414

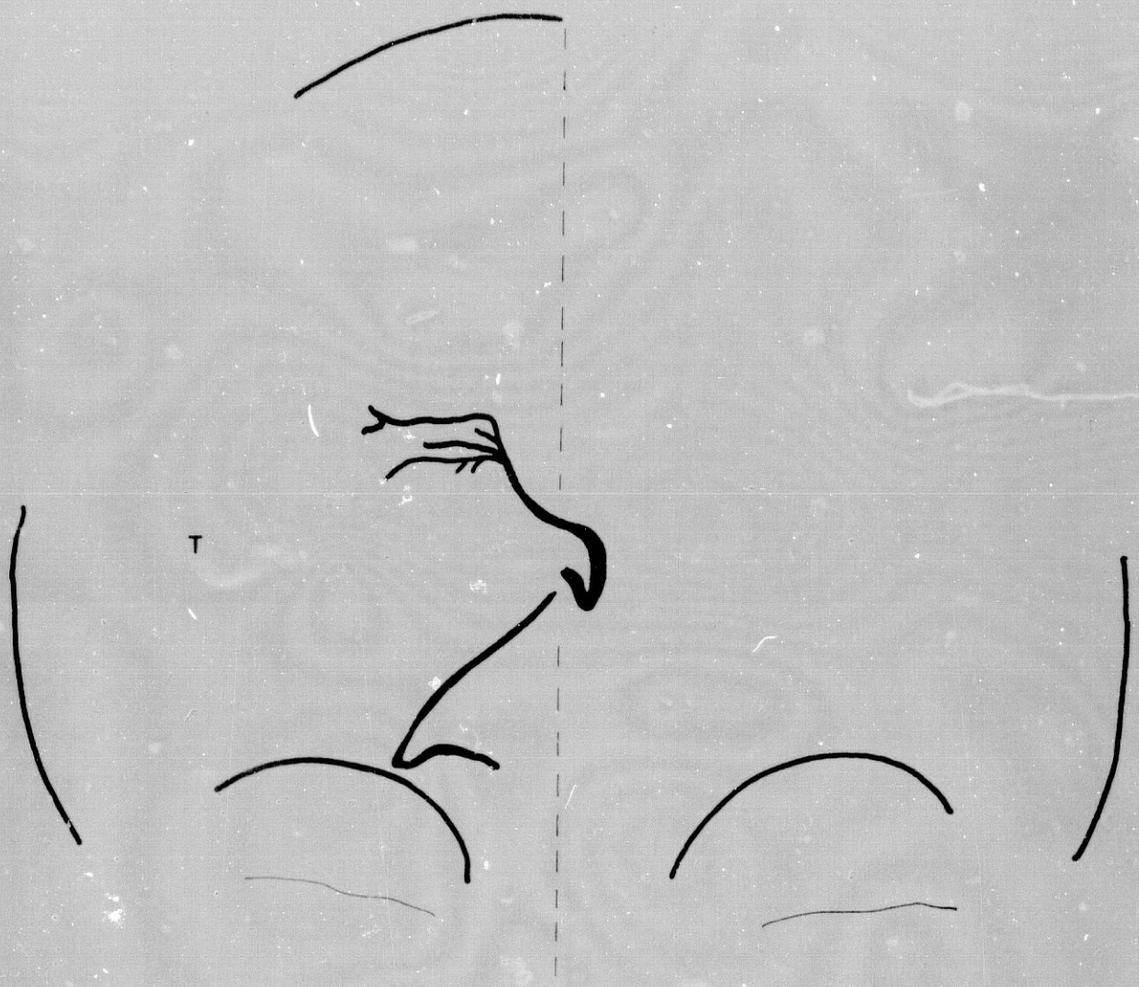

FIG. 415

S E R I E: Patológica

- Masa paraaxial media lateral
- (Infrasilviana)

Caso nº P-112 (H-248)

Reseña personal: T.M.R. Varón. 50 años.

Reseña clínica: Glioblastoma heteromorfo frontotemporal derecho.

.....

FLEBOGRAMA LATERAL

Parámetros del ángulo venoso

- Método de Laine.....:	H: 22;	V: 14
- Método de Fischer.....:	H: -5;	V: -1
- Bisectriz de Fischer.....:	B: 18,2º;	M: 17,5º; D: -0,7º
- Método de Newton.....:	V: -2,5;	H: -4
Ang. Tubérculo-Inion-Monro.:	17,5º	
Ang. Monro-Inion-Bregma....:	19º	
Ang. Tubérculo-Lambda-Monro:	11,5º	
Ang. Monro-Glabela-Bregma..:	45º	
Ang. Monro-Bregma-Tubérculo:	21º	
Ang. Monro-Tubérculo-Inion.:	52º	
Ang. Apex-Tubérculo-Monro..:	22º	
Ang. Monro-Apex-Bregma.....:	40,5º	
Lín. fleboaxial-Monro.....:	1	

FLEBOGRAMA LATERAL

Parámetros de la v. cerebral interna

- Método de Potts y Taveras: A-B: 40; b: 8; c: 2,3; d: 0
- Método de Shah-Kendall...: A: 28,4; B: 34,7; C: 19,3
- Método de Babin y cols...: c: 44º; b: 30º

Cociente de giro sagital.: Inviable (no se opacificó el SSI)

Arco venoso profundo.....: 7

Proyecciones de la v. basal

Eje incisural-vena basal.: A: -; B: -8; C: -16; D: -

FLEBOGRAMA FRONTAL

- Angulo venoso-Línea media.: 12,5
- Talamoestriada-Línea media: 10

Referencias angiográficas complementarias

- Arteriograma frontal: desviación redonda de la arteria cerebral anterior. Desplazamiento medial de las arterias coroidea anterior y lenticuloestriadas. Elevación de los vasos silvianos anteriores.
- Arteriograma lateral: falsa apertura del sifón carotídeo. Gran elevación de todo el triángulo silviano.

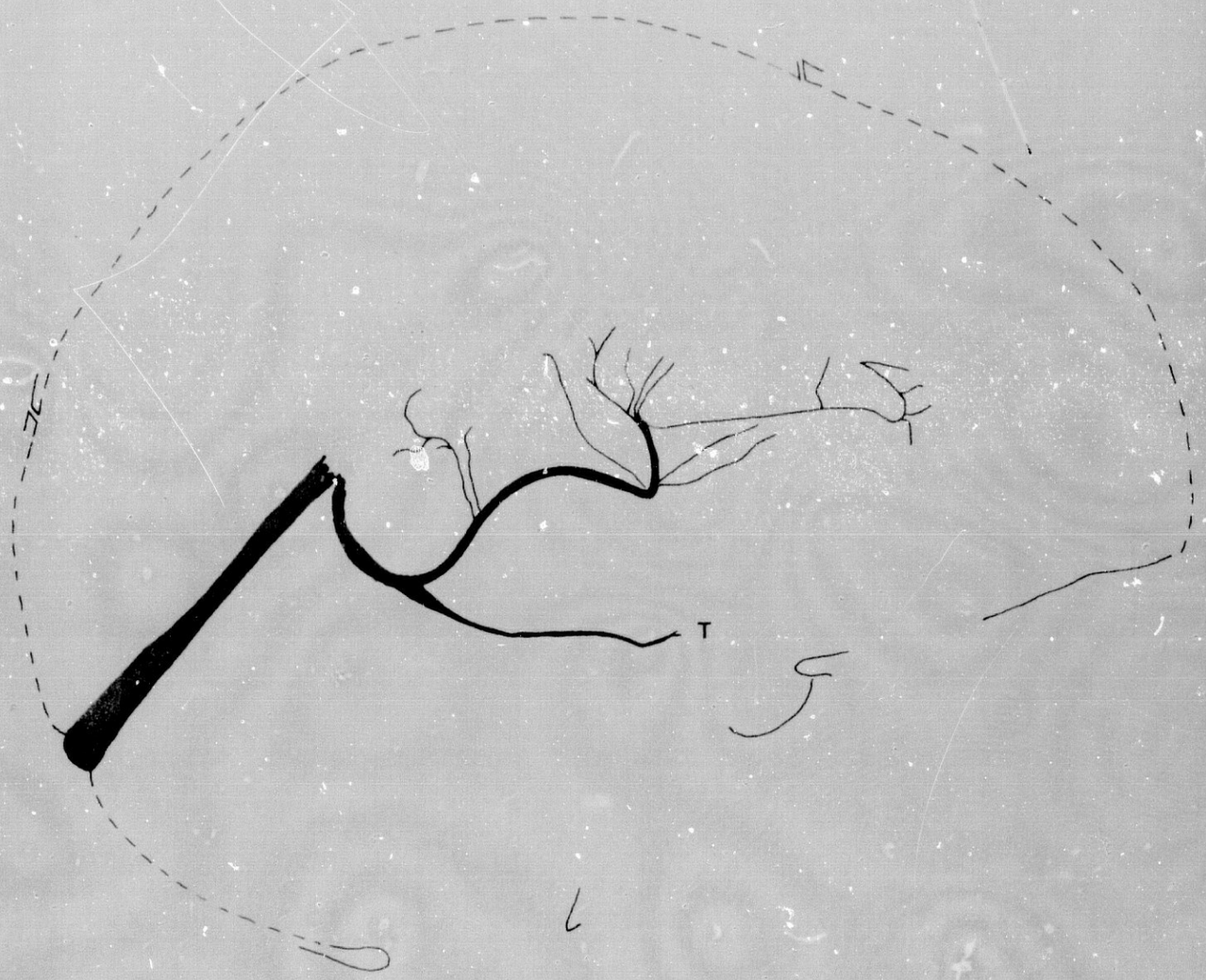

FIG. 416

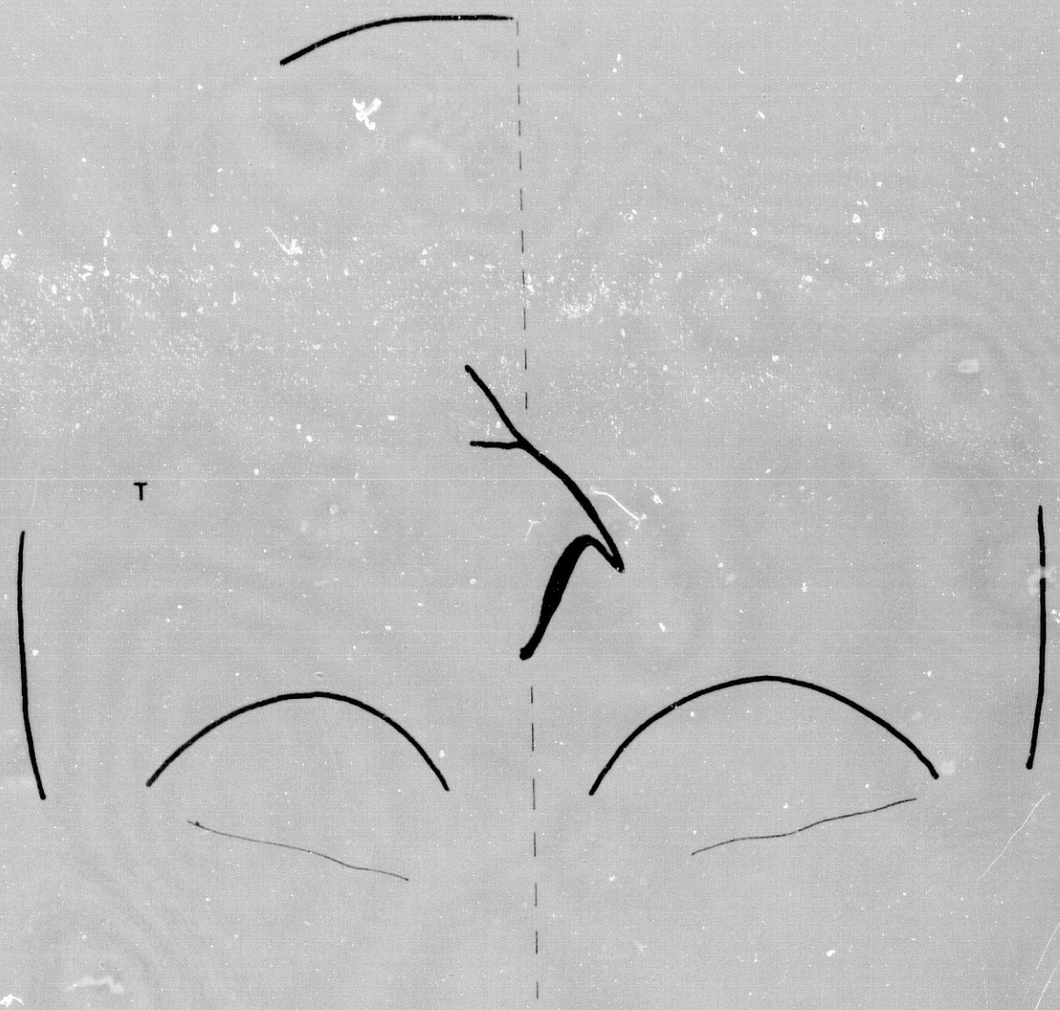

FIG. 417

S E R I E: Patológica

- Masa paraaxial media lateral

- (Infrasilviana)

Caso nº P-113 (H-249)

Reseña personal: T.R.M. Mujer. 43 años.

Reseña clínica: Hematoma intraparenquimatoso temporoparietal derecho.

.....

FLEBOGRAMA LATERAL

Parámetros del ángulo venoso

- Método de Laine.....:	H: 17;	V: 19
- Método de Fischer.....:	H: 8;	V: 3
- Bisectriz de Fischer.....:	B: 23,5º;	M: 17,5º; D: -6º
- Método de Newton.....:	V: 0;	H: 9
Ang. Tubérculo-Inion-Monro.:	17,5º	
Ang. Monro-Inion-Bregma....:	29,5º	
Ang. Tubérculo-Lambda-Monro:	12º	
Ang. Monro-Glabela-Bregma..:	31,5º	
Ang. Monro-Bregma-Tubérculo:	8,5º	
Ang. Monro-Tubérculo-Inion.:	60,5º	
Ang. Apex-Tubérculo-Monro..:	32º	
Ang. Monro-Apex-Bregma.....:	61º	
Lín. fleboaxial-Monro.....:	-1	

FLEBOGRAMA LATERAL

Parámetros de la v. cerebral interna

- Método de Potts y Taveras: A-B: 37; b: 7; c: 2; d: 0,2
- Método de Shah-Kendall...: A: 31,9; B: 36,3; C: 27,6
- Método de Babin y cols...: c: 53,5º; b: 30º

Cociente de giro sagital.: 98

Arco venoso profundo.....: 5

Proyecciones de la v. basal

Eje incisural-vena basal.: Inviable (no es anastomótica)

FLEBOGRAMA FRONTAL

- Angulo venoso-Línea media.: 5
- Talamoestriada-Línea media: 13

Referencias angiográficas complementarias

- Arteriograma frontal: discreta desviación distal de la arteria cerebral anterior. Elevación del punto angiográfico silviano.

- Arteriograma lateral: elevación de los dos tercios posteriores de los vasos silvianos.

FIG. 418

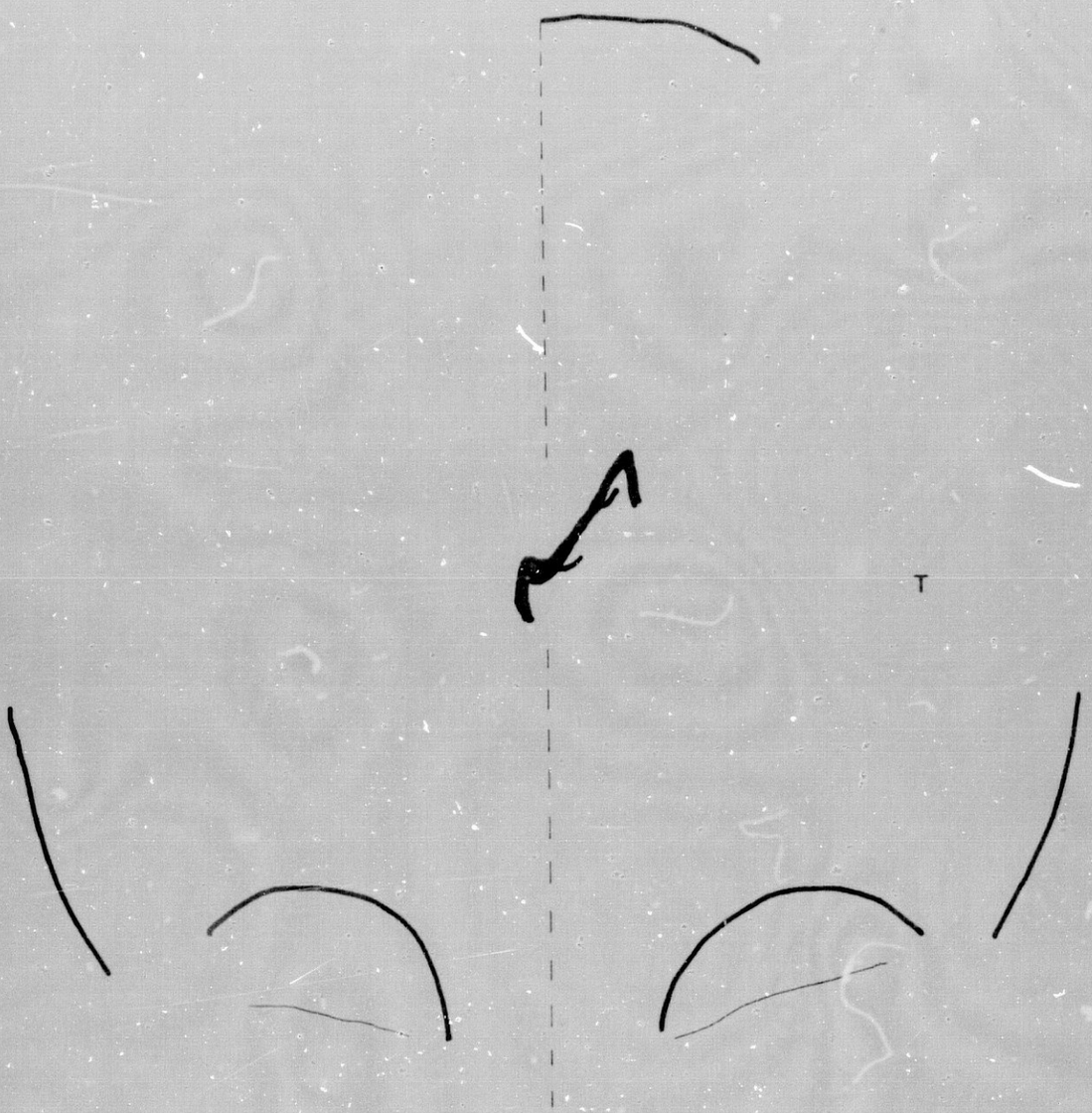

FIG. 419

S E R I E: Patológica

- Masa paraaxial media lateral

- (Laterosilviana)

Caso nº P-114 (H-251)

Reseña personal: V.F.R. Varón. 36 años.

Reseña clínica: Hematoma epidural derecho

.....

FLEBOGRAMA LATERAL

Parámetros del ángulo venoso

- Método de Laine.....: H: 6; V: 24
- Método de Fischer.....: H: 15; V: 7,5
- Bisectriz de Fischer.....: B: 20º; M: 15º; D: - 5º
- Método de Newton.....: V: -1,5; H: 12

Ang. Tubérculo-Inion-Monro.: 15º
Ang. Monro-Inion-Bregma....: 25º
Ang. Tubérculo-Lambda-Monro: 13º
Ang. Monro-Glabela-Bregma..: 41º
Ang. Monro-Bregma-Tubérculo: 5º
Ang. Monro-Tubérculo-Inion.: 77º
Ang. Apex-Tubérculo-Monro..: 49,5º
Ang. Monro-Apex-Bregma.....: 48º
Lín. fleboaxial-Monro.....: 5

FLEBOGRAMA LATERAL

Parámetros de la v. cerebral interna

- Método de Potts y Taveras: A-B: 40; b: 10,5; c: 3; d: -0,4
- Método de Shah-Kendall...: A: 30,2; B: 36,4; C: 28,8
- Método de Babin y cols...: c: 52º; b: 39º

Cociente de giro sagital.: 113
Arco venoso profundo.....: 8

Proyecciones de la v. basal

Eje incisural-vena basal.: A: -; B: -8; C: -3,5; D: -

FLEBOGRAMA FRONTAL

- Angulo venoso-Línea media.: 6
- Talamoestriada-Línea media: 13,5

Referencias angiográficas complementarias

- Arteriograma frontal: desviación preferentemente proximal de la arteria cerebral anterior. Desplazamiento medial de la porción final de las arterias silvianas.

- Arteriograma lateral: estiramiento de las ramas superficiales de la porción posterior de la arteria pericallosa. Depresión del tercio final del triángulo silviano.

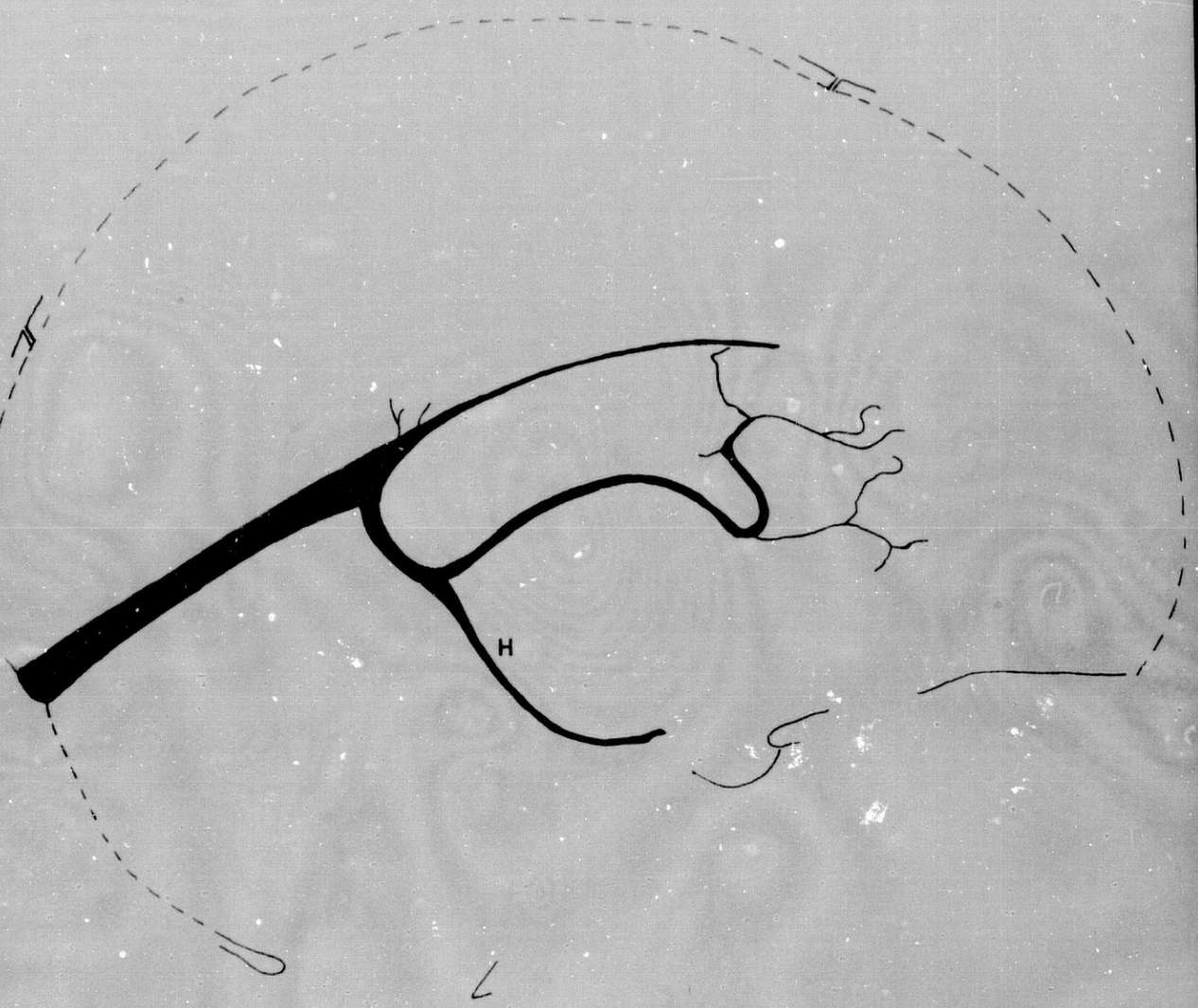

FIG. 420

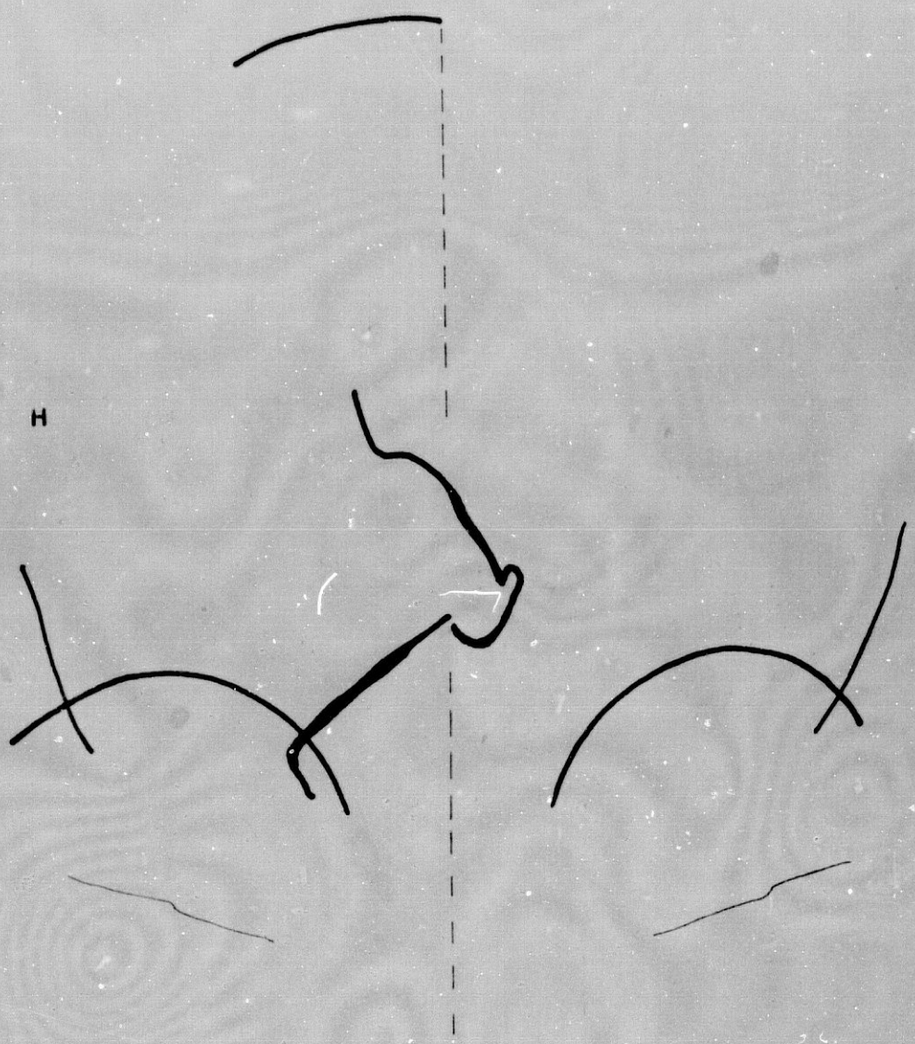

FIG. 421

S E R I E: Patológica

- Masa paraaxial media lateral
- (Suprasilviana media)

Caso nº P-115 (H-253)

Reseña personal: V.H.S. Varón. 39 años.

Reseña clínica: Meningioma pseudoepitelial temporoparietal derecho.

.....

FLEBOGRAMA LATERAL

Parámetros del ángulo venoso

- Método de Laine.....: H: 16; V: 13,2
- Método de Fischer.....: H: -2,5; V: -2
- Bisectriz de Fischer.....: B: 19,5; M: 17,5º; D: -2º
- Método de Newton.....: V: -5,5; H: -2,2

Ang. Tubérculo-Inion-Monro.: 17,5º
Ang. Monro-Inion-Bregma....: 21,5º
Ang. Tubérculo-Lambda-Monro: 10º
Ang. Monro-Glabela-Bregma..: 45º
Ang. Monro-Bregma-Tubérculo: 14º
Ang. Monro-Tubérculo-Inion.: 61º
Ang. Apex-Tubérculo-Monro..: 24,5º
Ang. Monro-Apex-Bregma.....: 54º
Lín. fleboaxial-Monro.....: -1

FLEBOGRAMA LATERAL

Parámetros de la v. cerebral interna

- Método de Potts y Taveras: A-B: 34; b: 8; c: 2; d: -1
- Método de Shah-Kendall...: A: 27,4; B: 36,3; C: 27,4
- Método de Babin y cols...: c: 41º; b: 41º

Cociente de gr.o sagital.: 108

Arco venoso profundo.....: 0

Proyecciones de la v. basal

Eje incisural-vena basal.: A: -; B: -10; C: -16; D: -

FLEBOGRAMA FRONTAL

- Angulo venoso-Línea media.: 2
- Talamoestriada-Línea media: 17

Referencias angiográficas complementarias

- Arteriograma frontal: desviación cuadrada de la arteria cerebral anterior. Desplazamiento medial de las arterias coroidea anterior y lenticuloestriadas mediales y laterales. Desplazamiento lateral de los vasos silvianos.

- Arteriograma lateral: notable depresión del triángulo silviano, sobre todo de su porción media. Gran estiramiento, en arco de concavidad posterior, de las ramas frontoparietales de la arteria cerebral media.

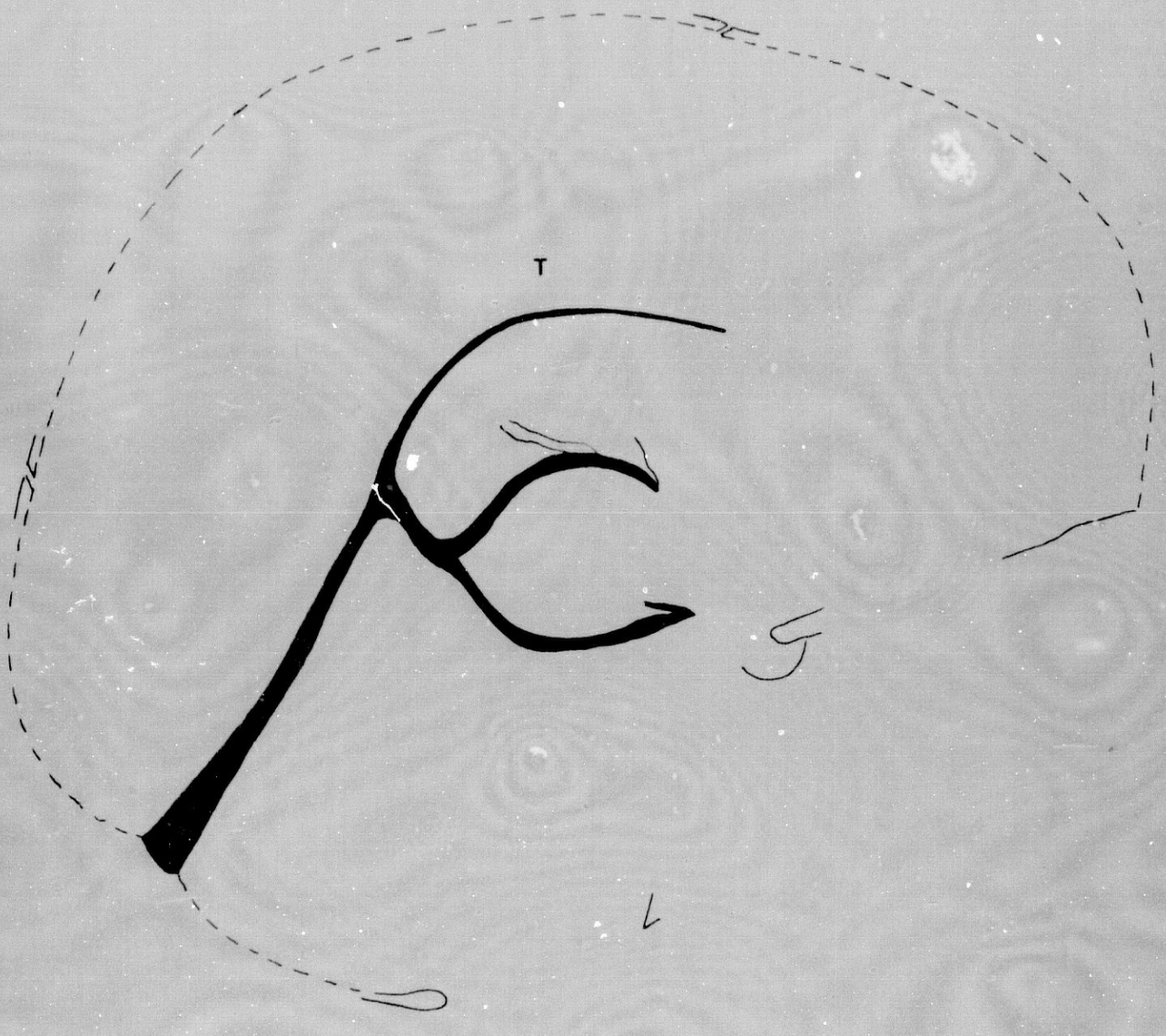

FIG. 422

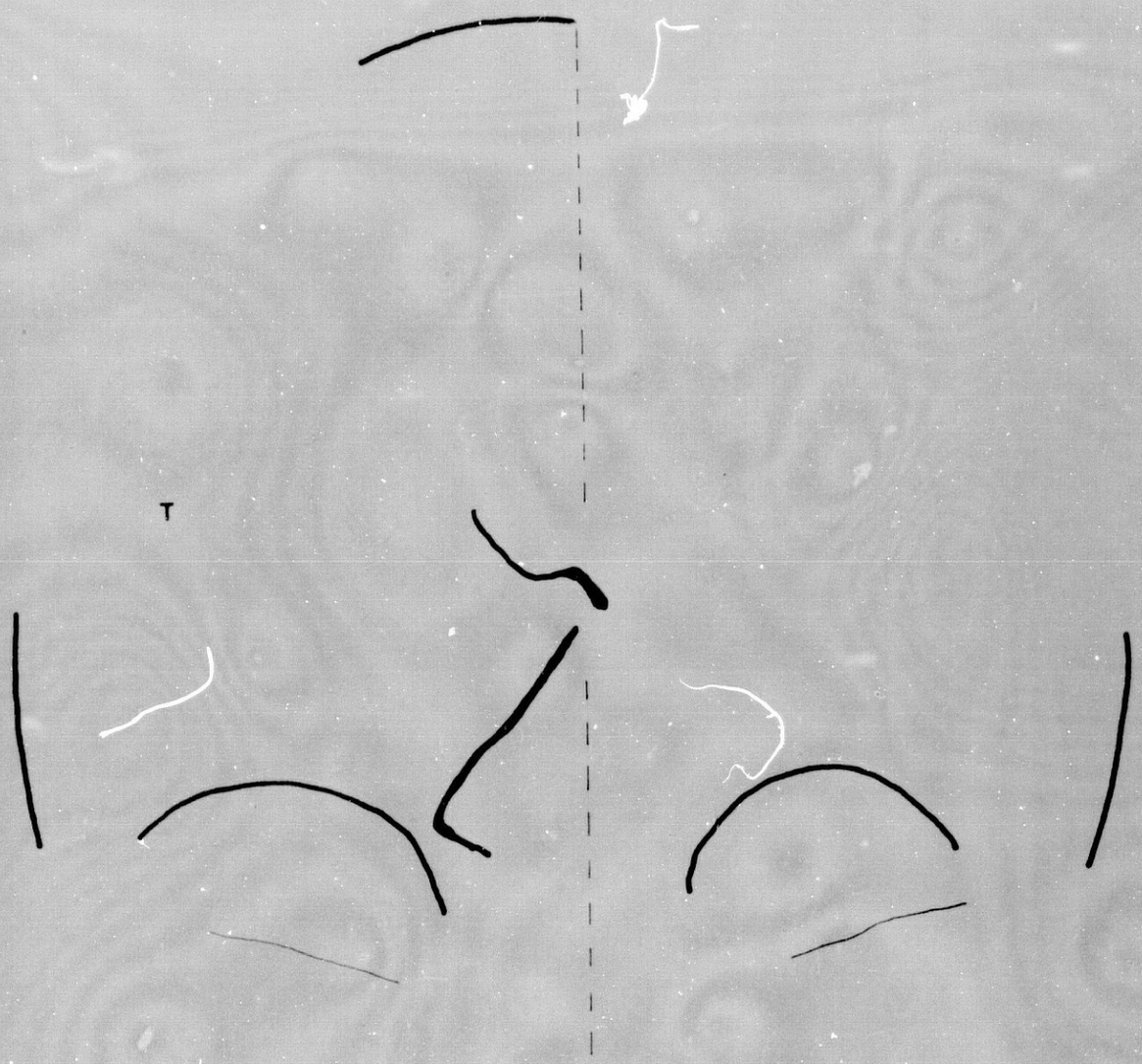

FIG. 423

Tumores paraaxiales posteriores laterales

S E R I E: Patológica

- Masa paraaxial posterior lateral
- (Infrasilviana posterior)

Caso nº P-116 (H-27)

Reseña personal: A.N.N. Varón. 50 años.

Reseña clínica: Tumor retroatrial izquierdo. El paciente no fue intervenido: no se pudo determinar la naturaleza exacta de la lesión.

.....

FLEBOGRAMA LATERAL

Parámetros del ángulo venoso

- Método de Laine.....:	H: 14;	V: 18	
- Método de Fischer.....:	H: 6;	V: 2	
- Bisectriz de Fischer.....:	B: 20,5º;	M: 17º;	D: -3,5º
- Método de Newton.....:	V: -1,5;	H: 9	
Ang. Tubérculo-Inion-Monro.:	17º		
Ang. Monro-Inion-Bregma....:	24º		
Ang. Tubérculo-Lambda-Monro:	10º		
Ang. Monro-Glabela-Bregma..:	43º		
Ang. Monro-Bregma-Tubérculo:	12º		
Ang. Monro-Tubérculo-Inion.:	65º		
Ang. Apex-Tubérculo-Monro..:	34º		
Ang. Monro-Apex-Bregma.....:	52º		
Lín. fleboaxial-Monro.....:	-1,5		

FLEBOGRAMA LATERAL

Parámetros de la v. cerebral interna

- Método de Potts y Taveras: A-B: 36; b: 4; c: 2; d: 0
- Método de Shah-Kendall...: A: 30,8; B: 32; C: 20,5
- Método de Babin y cols...: c: 51,5º; b: 38º

Cociente de giro sagital.: 111

Arco venoso profundo.....: 8

Proyecciones de la v. basal

Eje incisural-vena basal.: A: -; B: -3,5; C: -16,5; D: -15

FLEBOGRAMA FRONTAL

- Angulo venoso-Línea media.: 11,5
- Talamoestriada-Línea media: 7

Referencias angiográficas complementarias

- Arteriograma frontal: ligera desviación proximal de la arteria cerebral anterior. Descenso del punto angiográfico silviano.

- Arteriograma lateral: perceptible elevación del triángulo silviano, especialmente de su lado inferior. Estiramiento de las ramas operculares parietales posteriores.

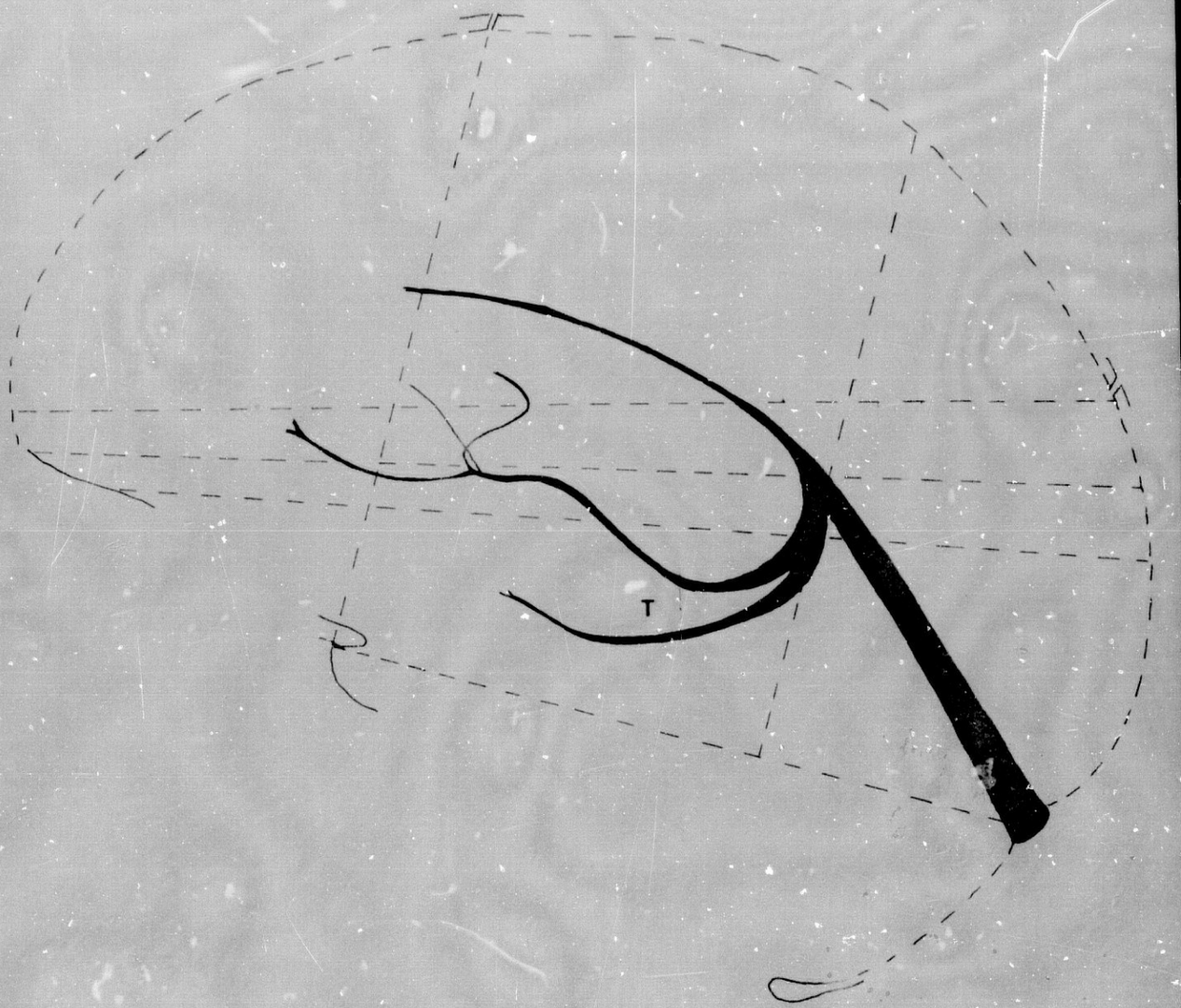

FIG. 425

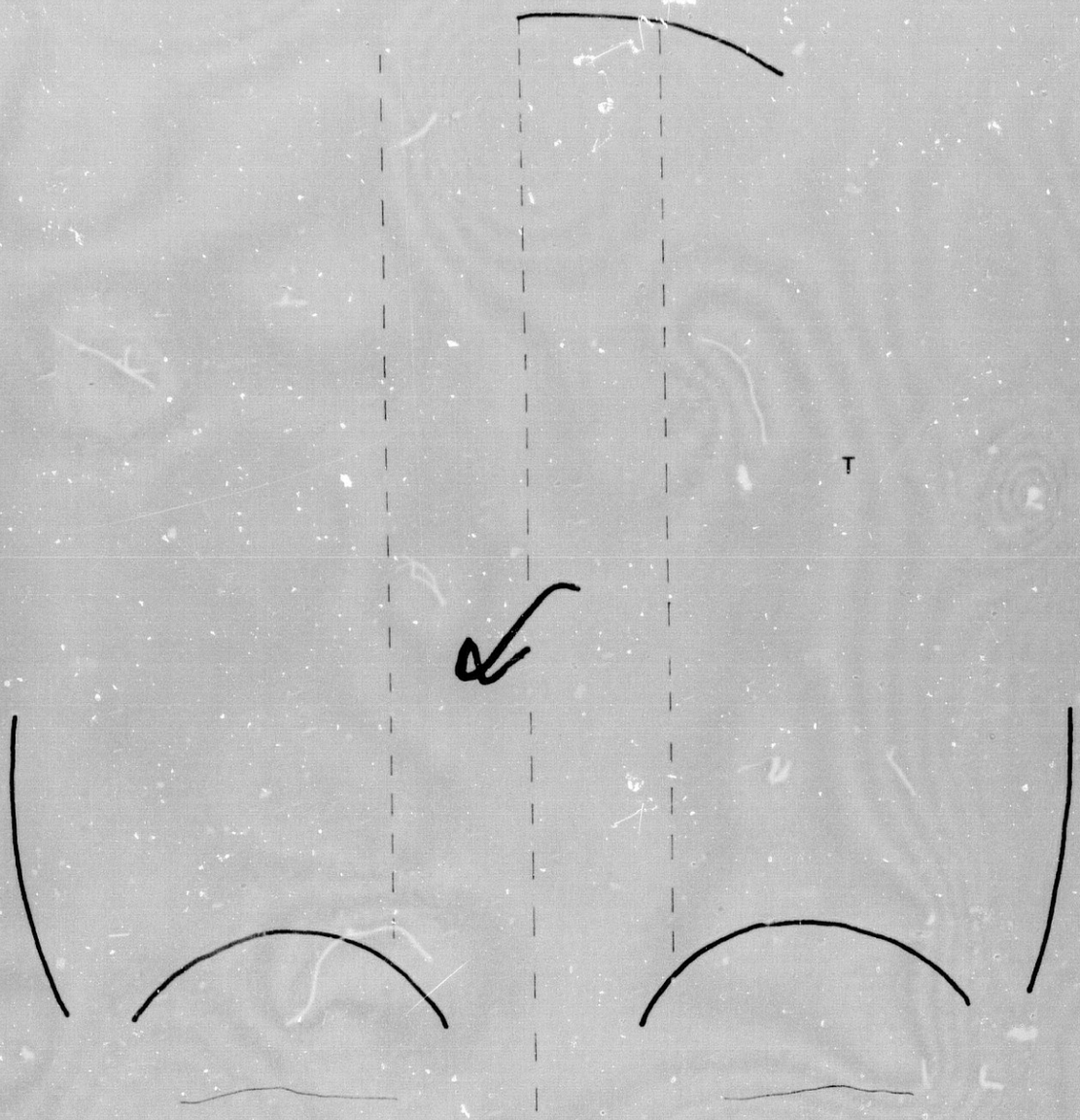

FIG. 426

S E R I E: Patológica

- Masa paraaxial posterior lateral
- (Retrosilviana)

Caso nº P-117 (H-43)

Reseña personal: B.G.G. Varón. 45 años.

Reseña clínica: Tumor parietotemporal posterior derecho. El paciente no fue intervenido: no se pudo determinar la naturaleza exacta de la lesión.

.....

FLEBOGRAMA LATERAL

Parámetros del ángulo venoso

- Método de Laine.....:	H: 11;	V: 18	
- Método de Fischer.....:	H: 5;	V: 4	
- Bisectriz de Fischer.....:	B: 20º;	M: 17º;	D: -3º
- Método de Newton.....:	V: -3;	H: 7,5	
Ang. Tubérculo-Inion-Monro.:	17º		
Ang. Monro-Inion-Bregma....:	23º		
Ang. Tubérculo-Lambda-Monro:	11º		
Ang. Monro-Glabela-Bregma..:	42º		
Ang. Monro-Bregma-Tubérculo:	10,5º		
Ang. Monro-Tubérculo-Inion.:	63º		
Ang. Apex-Tubérculo-Monro..:	36,5º		
Ang. Monro-Apex-Bregma.....:	50º		
Lín. fleboaxial-Monro.....:	0		

FLEBOGRAMA LATERAL

Parámetros de la v. cerebral interna

- Método de Potts y Taveras: A-B: 35; b: 6; c: 0,5;
- Método de Shah-Kendall...: A: 29,8; B: 34,7; C: 27,2
- Método de Babin y cols...: c: 47º; b: 43º

Cociente de giro sagital.: 90

Arco venoso profundo.....: 4,5

Proyecciones de la v. basal

Eje incisural-vena basal.: A: -; B: 1,5; C: -7;

FLEBOGRAMA FRONTAL

- Angulo venoso-Línea media.: -
- Talamoestriada-Línea media: -

Referencias angiográficas complementarias

- No se computan, por dudosos, los datos del flebograma frontal.
- Arteriograma frontal: dudosa desviación de la arteria cerebral anterior. Descenso del punto angiográfico silviano.
- Arteriograma lateral: desplazamiento anterior del punto coroideo y de la arteria coroidea anterior.

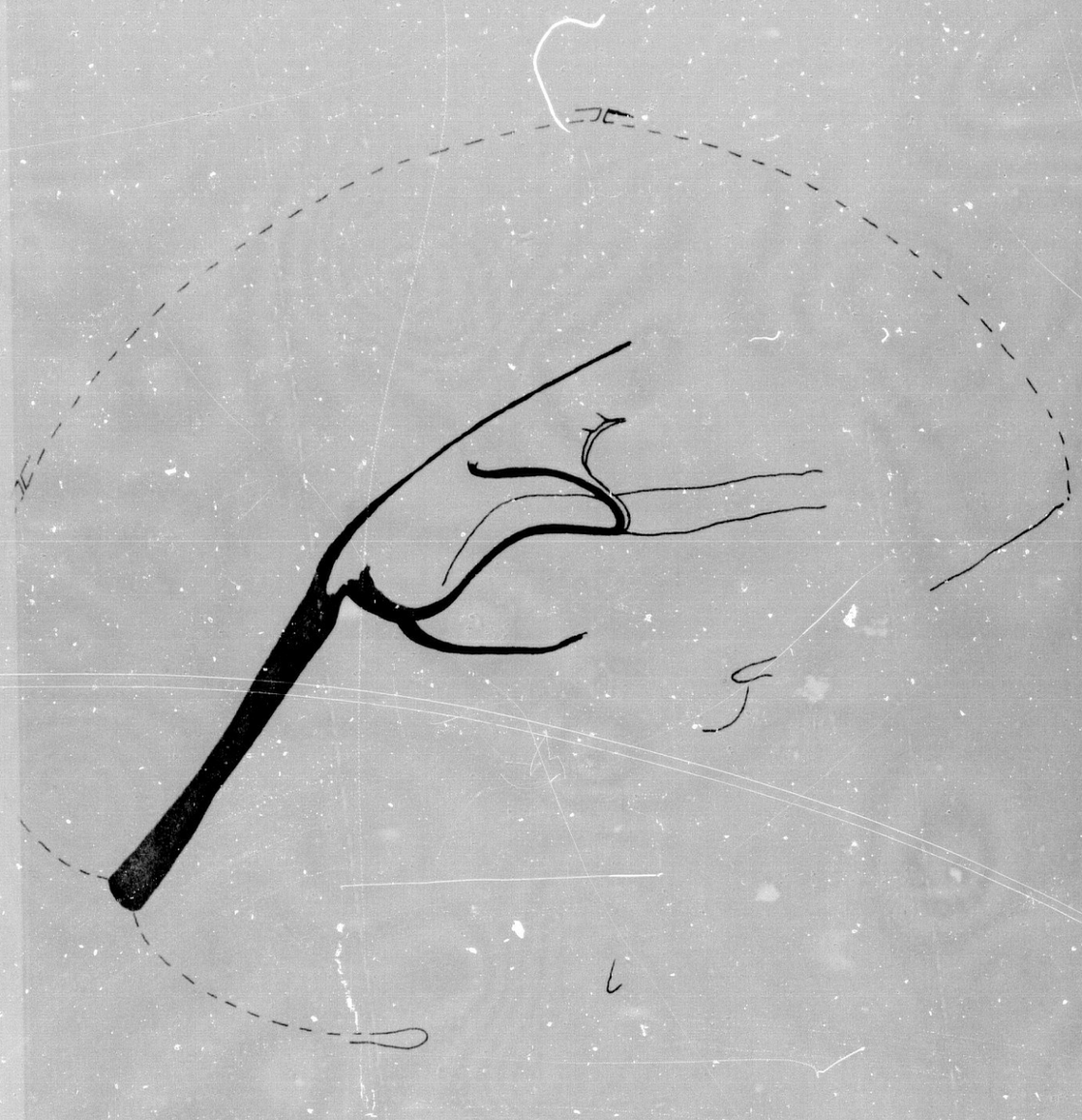

FIG. 427

S E R I E: Patológica

- Masa paraaxial posterior lateral
- (Retrosilviana)

Caso nº P-118 (H-51)

Reseña personal: C.B.P. Mujer. 56 años.

Reseña clínica: Glioblastoma multiforme occipital derecho.

.....

FLEBOGRAMA LATERAL

Parámetros del ángulo venoso

- Método de Laine.....:	H: 6;	V: 15,5	
- Método de Fischer.....:	H: 7,5;	V: 3	
- Bisectriz de Fischer.....:	B: 19,2º;	M: 14º;	D: -5,2º
- Método de Newton.....:	V: -8;	H: 9	
Ang. Tubérculo-Inion-Monro.:	14º		
Ang. Monro-Inion-Bregma....:	24,5º		
Ang. Tubérculo-Lambda-Monro:	8,5º		
Ang. Monro-Glabela-Bregma..:	48,5º		
Ang. Monro-Bregma-Tubérculo:	10º		
Ang. Monro-Tubérculo-Inion.:	66,5º		
Ang. Apex-Tubérculo-Monro..:	34,5º		
Ang. Monro-Apex-Bregma.....:	52,5º		
Lín. fleboaxial-Monro.....:	-5		

FLEBOGRAMA LATERAL

Parámetros de la v. cerebral interna

- Método de Potts y Taveras: A-B: 39; b: 7; c: 2; d: 0,1
- Método de Shah-Kendall...: A: 26,3; B: 34,4; C: 25,7
- Método de Babin y cols...: c: 38,5º; b: 40º

Cociente de giro sagital.: 119

Arco venoso profundo.....: 10,5

Proyecciones de la v. basal

Eje incisural-vena basal.: A: 4; B: -13; C: -11; D: -11

FLEBOGRAMA FRONTAL

- Angulo venoso-Línea media.: 1
- Talamoestriada-Línea media: 16

Referencias angiográficas complementarias

- Arteriograma frontal: desviación medial de la arteria cerebral posterior. Signo de la "V" en porción muy distal de la arteria pericallosa. Vasos neoformados correspondientes a región occipital.

- Arteriograma lateral: anómala proliferación vascular en región occipital. Desplazamiento anterior y elevación de la última porción del grupo silviano.

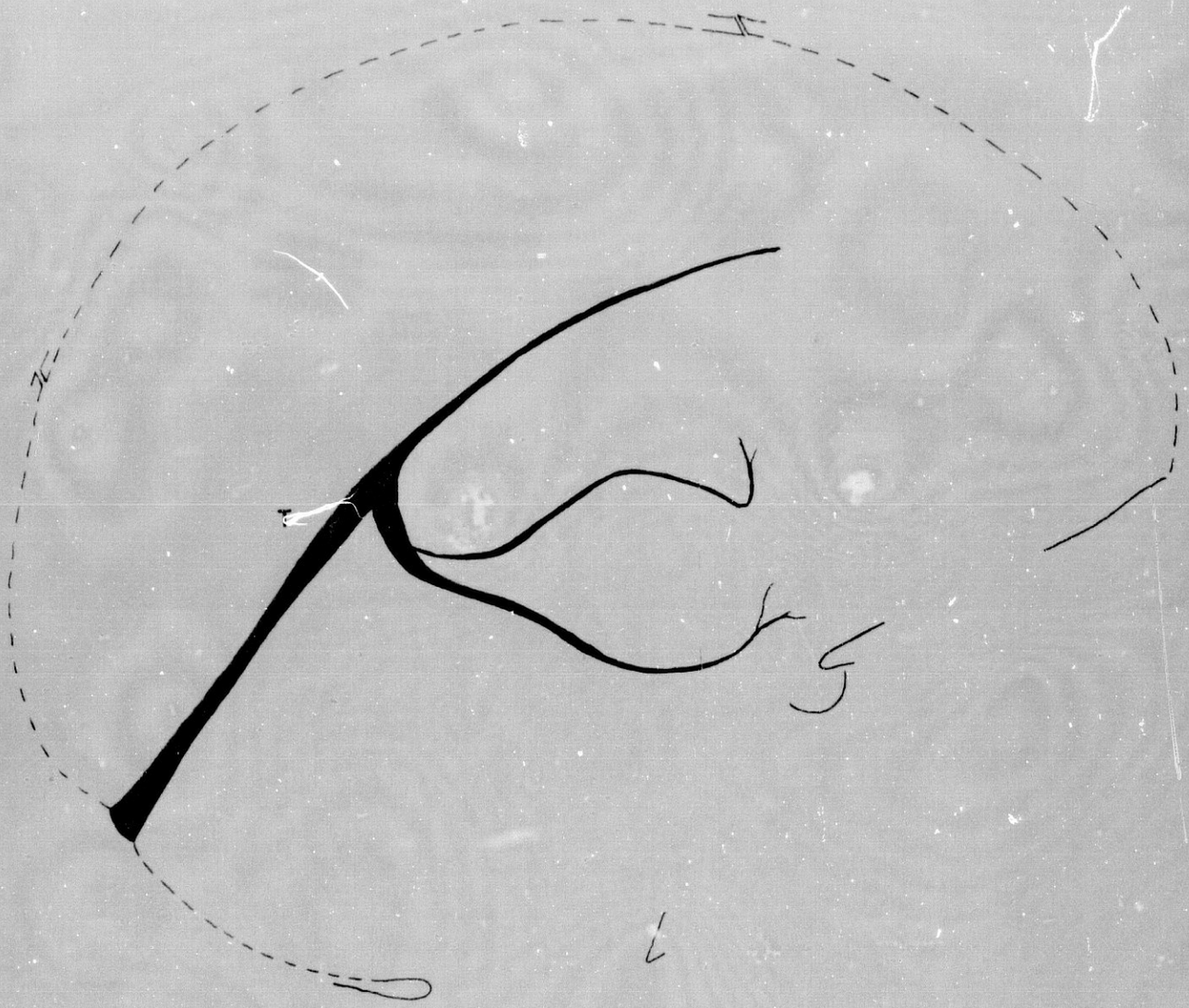

FIG. 428

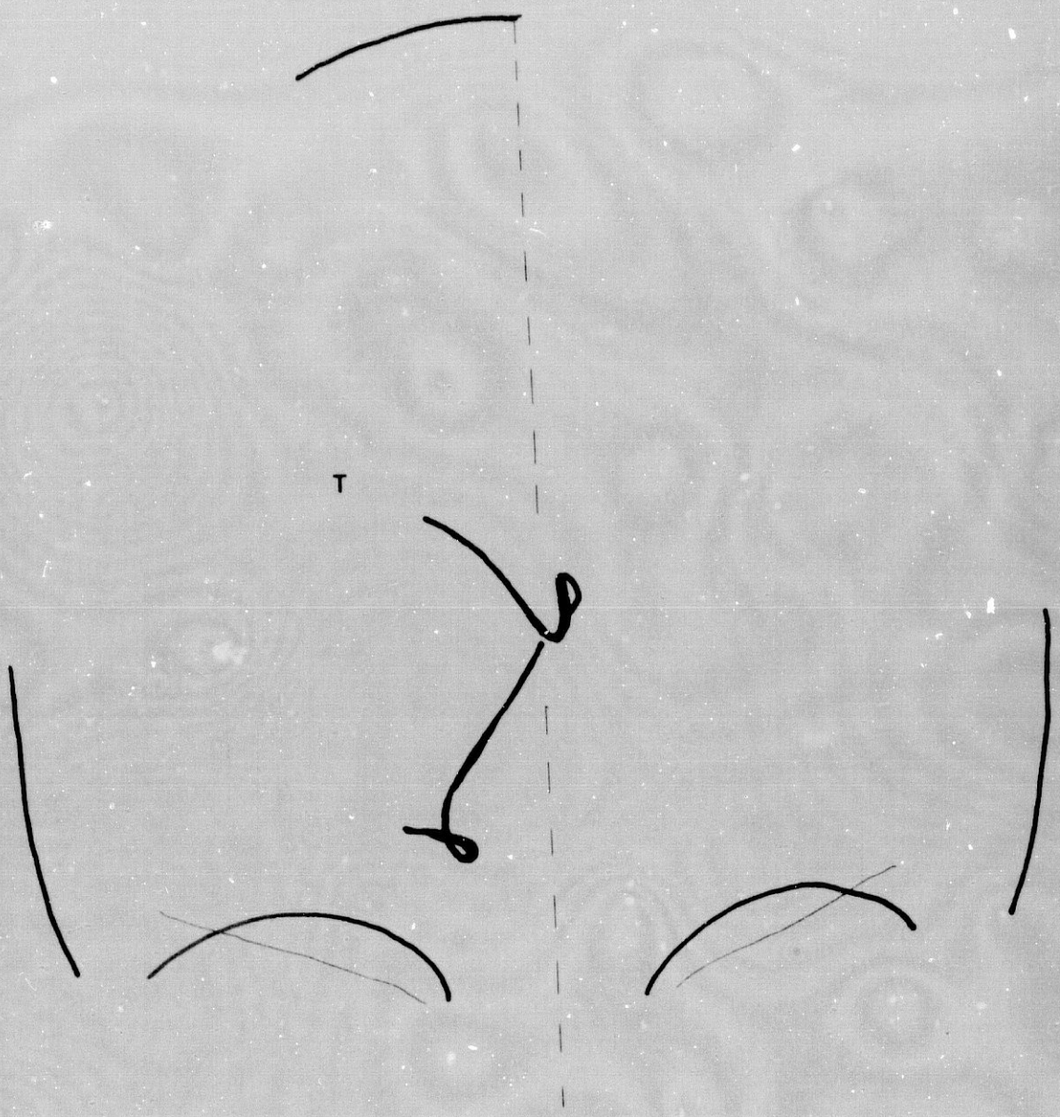

FIG. 429

S E R I E: Patológica

- Masa paraaxial posterior lateral
- (Retrosilviana inferior)

Caso nº P-119 (H-191)

Reseña personal: M.B.M. Varón. 64 años.

Reseña clínica: Glioblastoma multiforme occipital izquierdo.

.....

FLEBOGRAMA LATERAL

Parámetros del ángulo venoso

- Método de Laine.....:	H: 9;	V: 25	
- Método de Fischer.....:	H: 6;	V: 0,5	
- Bisectriz de Fischer.....:	B: 20º;	M: 17º;	D: -3º
- Método de Newton.....:	V: -3,5;	H: 10,5	
Ang. Tubérculo-Inion-Monro.:	17º		
Ang. Monro-Inion-Bregma....:	23º		
Ang. Tubérculo-Lambda-Monro:	12,5º		
Ang. Monro-Glabela-Bregma..:	45º		
Ang. Monro-Bregma-Tubérculo:	8,5º		
Ang. Monro-Tubérculo-Inion.:	74,5º		
Ang. Apex-Tubérculo-Monro..:	46,5º		
Ang. Monro-Apex-Bregma.....:	44º		
Lín. fleboaxial-Monro.....:	6,5		

FLEBOGRAMA LATERAL

Parámetros de la v. cerebral interna

- Método de Potts y Taveras: A-B: 48; b: 8; c: 1,5; d: -1
- Método de Shah-Kendall...: A: 29,7; B: 35,2; C: 23
- Método de Babin y cols...: c: 47,5º; b: 39º

Cociente de giro sagital.: 113

Arco venoso profundo.....: 9,5

Proyecciones de la v. basal

Eje incisural-vena basal.: A: 13; B: 1; C: -5; D: -8,5

FLEBOGRAMA FRONTAL

- Angulo venoso-Línea media.: 6
- Talamoestriada-Línea media: 19,8

Referencias angiográficas complementarias

- Arteriograma frontal: no se aprecian alteraciones significativas.

- Arteriograma lateral: elevación de la arteria angular. Depresión de las ramas parietooccipital y calcarina de la cerebral posterior.

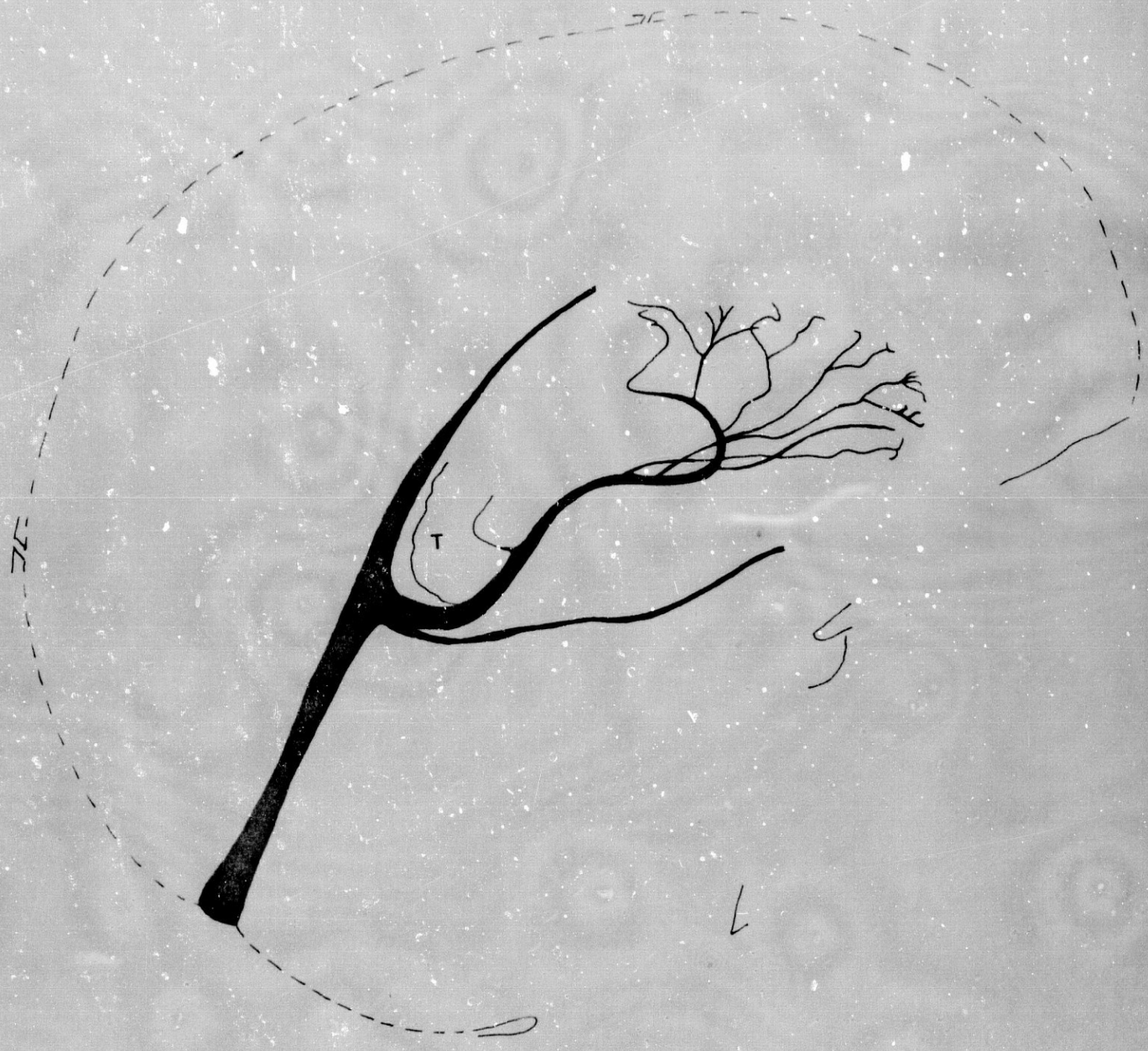

FIG. 430

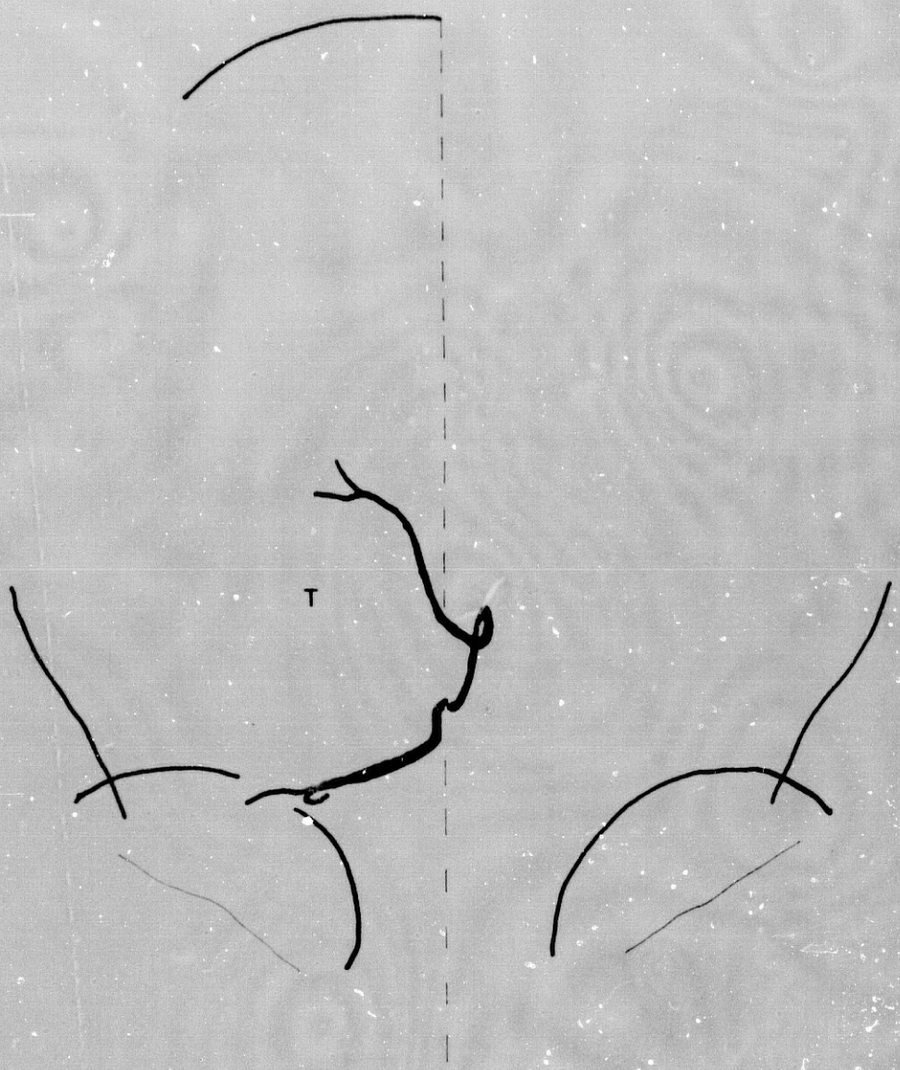

FIG. 431

S E R I E: Patológica

- Masa paraaxial posterior lateral
- (Retrosilviana inferior)

Caso nº P-120 (H240)

Reseña personal: R.M.M. Varón. 46 años.

Reseña clínica: Metástasis temporooccipital izquierda.

.....

FLEBOGRAMA LATERAL

Parámetros del ángulo venoso

- Método de Laine.....:	H: 15;	V: 17
- Método de Fischer.....:	H: -7;	V: 6,5
- Bisectriz de Fischer.....:	B: 20º;	M: 18,5º; D: -1,5º
- Método de Newton.....:	V: 3;	H: 10,5
Ang. Tubérculo-Inion-Monro.:	18,5º	
Ang. Monro-Inion-Bregma....:	21,5º	
Ang. Tubérculo-Lambda-Monro:	13º	
Ang. Monro-Glabela-Bregma..:	41º	
Ang. Monro-Bregma-Tubérculo:	13,5º	
Ang. Monro-Tubérculo-Inion.:	65º	
Ang. Apex-Tubérculo-Monro..:	27º	
Ang. Monro-Apex-Bregma.....:	55,5º	
Lín. fleboaxial-Monro.....:	-4	

FLEBOGRAMA LATERAL

Parámetros de la v. cerebral interna

- Método de Potts y Taveras: A-B: 30; b: 3; c: -1; d: -0,5
- Método de Shah-Kendall...: A: 33,7; B: 32,5; C: 25,6
- Método de Babin y cols...: c: 55º; b: 43,5º

Cociente de giro sagital.: 75

Arco venoso profundo.....: 8

Proyecciones de la v. basal

Eje incisural-vena basal.: A: -4; B: -16; C: -18; D: -17

FLEBOGRAMA FRONTAL

- Angulo venoso-Línea media.: 11,5
- Talamoestriada-Línea media: 5

Referencias angiográficas complementarias

- Arteriograma frontal: proyección casi rectilínea de la arteria cerebral posterior. Ligera elevación del punto angiográfico silviano.

- Arteriograma lateral: leve ascenso de la porción posterior del triángulo silviano. Brusco declive de la porción extrainsular de la arteria angular, que se separa en exceso de las ramas parietales. Descenso de las arterias calcarina y parietal posterior.

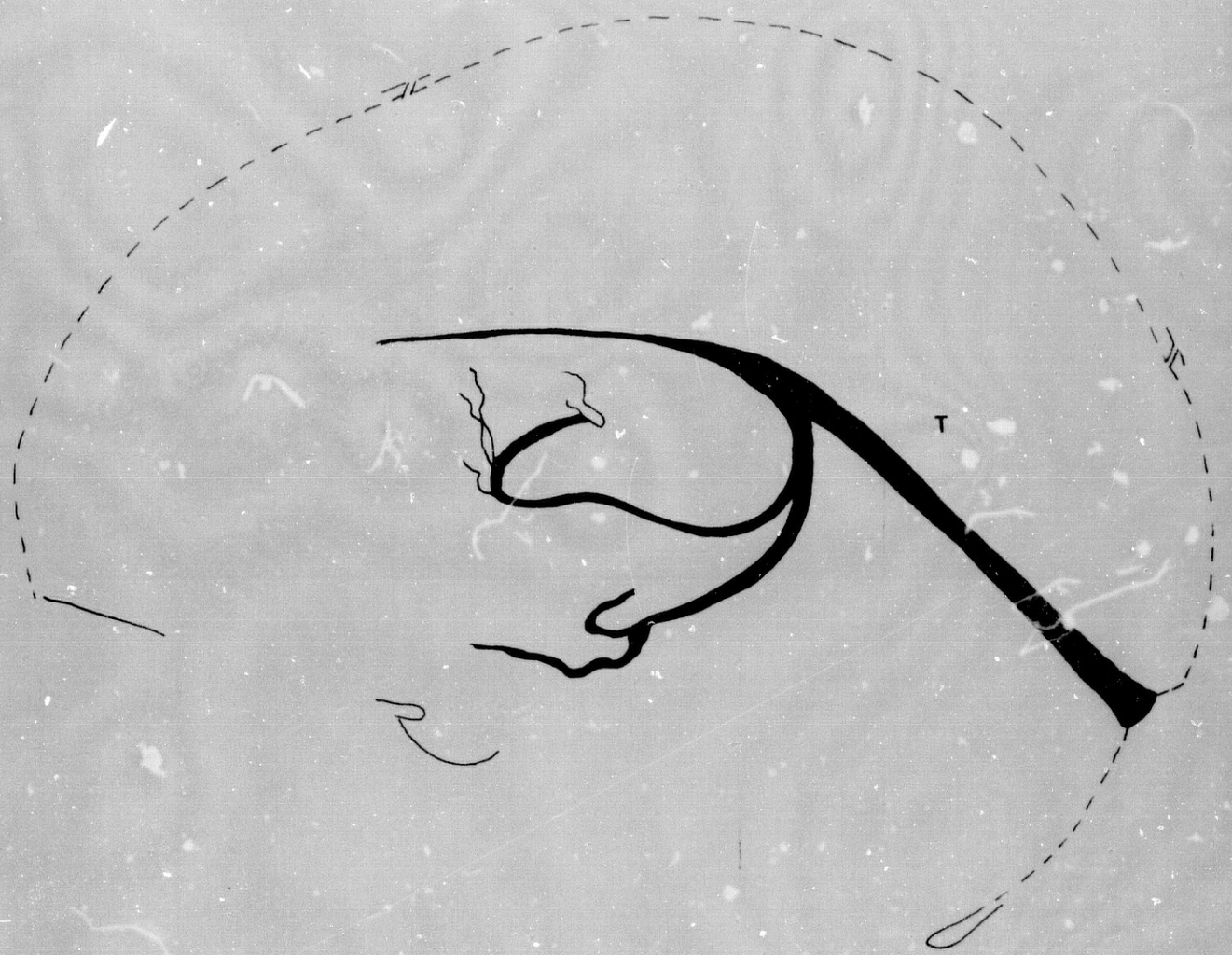

FIG. 4

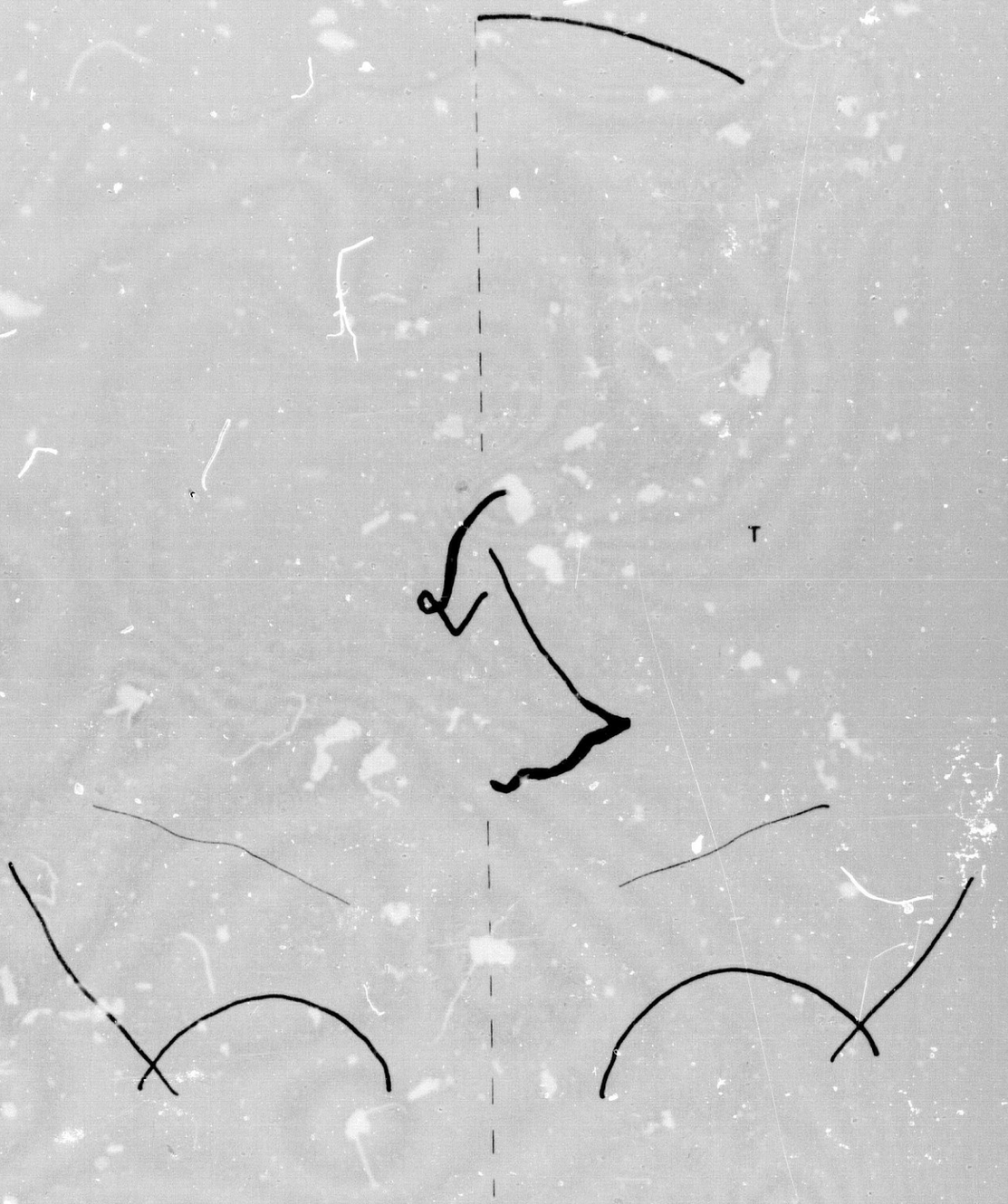

FIG. 433

Resultados estadísticos

Una vez descritos los datos proporcionados por la aplicación de cada uno de nuestros parámetros a los pacientes de las dos series (Normal y Patológica), adjuntamos unas tablas sinópticas generales que facilitan una visión global de los diferentes grupos.

En primer lugar, se sitúa una tabla con los resultados de la Serie Normal, en la que constan el promedio, la desviación típica y el rango (límites mínimo y máximo de cada parámetro).

A continuación se añaden, sucesivamente, las tablas correspondientes a cada uno de los 13 grupos establecidos en el Serie Patológica (con sus promedios, desviaciones típicas y rangos). El orden es el siguiente:

. Tumores infraaxiales anteriores parasagitales
. Tumores infraaxiales anteriores laterales
. Tumores infraaxiales medios parasagitales
. Tumores infraaxiales medios laterales

. Tumores infraaxiales posteriores laterales
. Tumores supraaxiales medios parasagitales
. Tumores supraaxiales medios laterales
. Tumores supraaxiales posteriores parasagitales
. Tumores supraaxiales posteriores laterales
. Tumores paraaxiales anteriores laterales
. Tumores paraaxiales medios parasagitales
. Tumores paraaxiales medios laterales
. Tumores paraaxiales posteriores laterales.

Con el fin de precisar aún más el comportamiento del sistema venoso profundo ante las diferentes localizaciones de las lesiones, hemos elaborado, igualmente, unas nuevas tablas que atienden a los rasgos más genéricos de emplazamiento tumoral. Así, hemos computado globalmente los datos correspondientes a las siguientes categorías:

1) Promedios, desviaciones y rangos de todos los grupos infraaxiales.

2) Promedios, desviaciones y rangos de

todos los grupos supraaxiales.

3) Promedios, desviaciones y rangos de todos los grupos paraaxiales.

4) Promedios, desviaciones y rangos de todos los grupos anteriores.

5) Promedios, desviaciones y rangos de todos los grupos medios.

6) Promedios, desviaciones y rangos de todos los grupos posteriores.

7) Promedios, desviaciones y rangos de todos los grupos parasagitales.

8) Promedios, desviaciones y rangos de todos los grupos laterales.

Cada una de las tablas lleva adicionalmente _

anotados el promedio, la desviación y el rango del grupo control (la Serie Normal), al objeto de apreciar instantáneamente las diferencia entre las distintas poblaciones.

El mismo proceder ha sido adoptado a la hora de establecer las tablas correspondientes a cada uno de los parámetros en los distintos grupos y en el control.

Finalmente, para determinar la cuantía de los casos en que se produce dilatación ventricular por efecto del tumor intracraneal, añadimos una tabla que resume las distancias existentes entre el punto más lateral de la vena talamoestriada y la vena cerebral interna en el flebograma frontal. (Recuérdese que una distancia superior a 20 milímetros es índice de hidrocéfalo).

Sinopsis de la Serie Normal (grupo control)

S E R I E N O R M A L

	Rango Val. extremos	Media control
- Método de Laine..... H:	8 / 18,9	13,48 ±2,77
..... V:	15 / 25	19,76 ±2,28
- Método de Fischer..... H:	-4 / 5	0,13 ±1,04
..... V:	-1,5 / 5	1,01 ±1,46
- Bisectriz de Fischer..... B:	18 / 21,5	19,98 ±0,87
..... M:	17 / 22,5	19,70 ±1,42
..... D:	-3 / 2,5	0,22 ±1,31
- Método de Newton..... H:	-4 / 5	0,50 ±2,14
..... V:	-3 / 4	0,23 ±1,76
Ang. Tubérculo-Inion-Monro...:	17 / 22	19,70 ±1,42
Ang. Monro-Inion-Bregma.....:	18 / 23,5	20,23 ±1,68
Ang. Tubérculo-Lambda-Monro..:	10,5 / 17,5	13,00 ±1,65
Ang. Monro-Glabela-Bregma....:	38 / 54	43,67 ±3,37
Ang. Monro-Bregma-Tubérculo..:	9 / 18	13,92 ±2,92
Ang. Monro-Tuberculo-Inion...:	60 / 76	67,31 ±4,73
Ang. Apex-Tuberculo-Monro....:	25 / 44,5	33,52 ±5,06
Ang. Monro-Apex-Bregma.....:	39 / 61	47,97 ±4,99
Línea fleboaxial-Monro.....:	-0,5 / 0,5	0,02 ±0,17
- Método Potts y Taveras. A-B:	26,5 / 46	36,31 ±4,31
... b:	3,5 / 12	7,10 ±2,27
... c:	1 / 2,5	1,67 ±0,58
... d:	-0,5 / 1,5	0,69 ±0,44
- Método de Shah-Kendall... A:	27,5 / 39,6	33,50 ±2,82
... B:	31,4 / 43,3	38,41 ±2,81
... C:	21,6 / 32,5	27,52 ±2,88
- Método de Babin y cols... c:	47 / 66	54,05 ±5,07
... b:	36 / 51	43,81 ±3,62
Cociente de giro sagital.....:	60 /100	85,73 ±9,70
Arco venoso profundo.....:	2 / 7	4,43 ±1,40
Eje incisural-vena basal... A:	2,5 / 11	7,70 ±2,75
... B:	-8 / 5,5	-0,62 ±4,30
... C:	-14,5 / -3	-9,07 ±2,74
... D:	-11,5 / -5	-8,13 ±2,20
- Angulo venoso-Lín. media...:	0,5 / 2	-1,25 ±0,37
- Talamoestriada-Lín. media..:	7 / 18,5	12,69 ±2,62

Sinopsis de los grupos de la Serie Patológica

SERIE PATOLOGICA

Grupo: Infraaxiales Anteriores Parasagitales

	Media y d.t.	Val. extremos	Media control
- Método de Laine..... H:	21,75 ±6,02	16 / 35	13,48 ±2,77
..... V:	21 ±4,45	14,5 / 27	19,76 ±2,28
- Método de Fischer..... H:	- 4,54 ±1,91	- 7,5 / - 2	0,13 ±1,04
..... V:	5,94 ±3,31	2 / 12,5	1,01 ±1,46
- Bisectriz de Fischer..... B:	21,15 ±1,33	19 / 22,7	19,98 ±0,87
..... M:	23,50 ±2,70	18,5 / 28,5	19,70 ±1,42
..... D:	2,35 ±2,31	- 0,5 / 5,5	0,22 ±1,31
- Método de Newton..... H:	0,50 ±6,26	- 8 / 12,5	0,50 ±2,14
..... V:	1,81 ±6,34	-12 / 8,5	0,23 ±1,76
Ang. Tubérculo-Inion-Monro...:	23,49 ±2,70	18,5 / 28	19,70 ±1,42
Ang. Monro-Inion-Bregma.....:	18,83 ±2,64	14,5 / 22,5	20,23 ±1,68
Ang. Tubérculo-Lambda-Monro..:	14,38 ±3,20	9,5 / 20	13,00 ±1,65
Ang. Monro-Glabela-Bregma....:	39,81 ±2,33	36 / 43	43,67 ±3,37
Ang. Monro-Bregma-Tubérculo..:	20,36 ±2,55	17 / 25	13,92 ±2,92
Ang. Monro-Tuberculo-Inion...:	59,81 ±4,61	49 / 63,5	67,31 ±4,73
Ang. Apex-Tuberculo-Monro....:	26,19 ±5,01	20 / 35,5	33,52 ±5,06
Ang. Monro-Apex-Bregma.....:	44,44 ±5,38	36 / 50	47,97 ±4,99
Línea fleboaxial-Monro.....:	5,88 ±4,33	0 / 12,5	0,02 ±0,17
- Método Potts y Taveras. A-B:	34,41 ±5,32	28 / 44	36,31 ±4,31
... b:	4,88 ±1,11	4 / 7	7,10 ±2,27
... c:	0,90 ±1,07	0 / 3	1,67 ±0,58
... d:	0,55 ±1,19	- 1,5 / 2,5	0,69 ±0,44
- Método de Shah-Kendall... A:	37,50 ±5,01	32,2 / 48,3	33,50 ±2,82
... B:	39,28 ±2,87	35,6 / 43,9	38,41 ±2,81
... C:	27,88 ±2,26	25,2 / 31,3	27,52 ±2,88
- Método de Babin y cols... c:	57,55 ±5,22	52,5 / 67	54,05 ±5,07
... b:	41,13 ±3,70	34,5 / 46	43,81 ±3,62
Cociente de giro sagital.....:	75,50 ±18,06	51 / 106	85,73 ±9,70
Arco venoso profundo.....:	5,56 ±2,15	2 / 7,5	4,43 ±1,40
Eje incisural-vena basal... A:	3,50 ±0,71	3 / 4	7,70 ±2,75
... B:	- 0,92 ±4,50	- 5 / 5	-0,62 ±4,30
... C:	- 8 ±4,21	-14,5 / - 3,5	-9,07 ±2,74
... D:	- 8,38 ±1,65	-10,5 / - 6,5	-8,13 ±2,20
- Angulo venoso-Lín. media...:	1,50 ±1,84	0 / 5	-1,25 ±0,37
- Talamoestriada-Lín. media..:	19,08 ±5,24	16 / 28	12,69 ±2,62

Grupo: Infraaxiales Anteriores Laterales

	Media y d.t.		Val. extremos			Media control	
- Método de Laine..... H:	22,67	±8,35	9,5	/	29	13,48	±2,77
..... V:	19,36	±2,25	15	/	22	19,76	±2,28
- Método de Fischer..... H:	- 9,43	±7,65	-17,5	/	2,5	0,13	±1,04
..... V:	4,57	±3,52	0	/	10	1,01	±1,46
- Bisectriz de Fischer..... B:	20,11	±1,41	18,2	/	21,7	19,98	0,87
..... M:	24,57	±3,10	20,5	/	29	19,70	±1,42
..... D:	4,46	±2,56	1,5	/	7,3	0,22	±1,31
- Método de Newton..... H:	- 3,57	±6,31	- 8	/	7	0,50	±2,14
..... V:	2,79	±2,86	0	/	7,5	0,23	±1,76
Ang. Tubérculo-Inion-Monro...:	24,57	±3,10	20,5	/	29	19,70	±1,42
Ang. Monro-Inion-Bregma.....:	15,71	±2,71	12	/	19,5	20,23	±1,68
Ang. Tubérculo-Lambda-Monro..:	14,79	±2,02	12	/	18	13,00	±1,65
Ang. Monro-Glabela-Bregma....:	40,56	±6,20	31	/	48,5	43,67	±3,37
Ang. Monro-Bregma-Tubérculo..:	25,33	±11,52	11	/	47,5	13,92	±2,92
Ang. Monro-Tuberculo-Inion...:	59,07	±8,67	50,5	/	74	67,31	±4,73
Ang. Apex-Tuberculo-Monro....:	24,21	±8,03	14	/	35,5	33,52	±5,06
Ang. Monro-Apex-Bregma.....:	44,70	±4	41,5	/	53	47,97	±4,99
Línea fleboaxial-Monro.....:	4,64	±2,06	2,5	/	8	0,02	±0,17
- Método Potts y Taveras. A-B:	28,79	±7,57	15,5	/	39	36,31	±4,31
... b:	5,23	±3,52	1	/	9,5	7,10	±2,27
... c:	1,07	±1,51	- 0,5	/	3,5	1,67	±0,58
... d:	0,07	±0,30	- 0,5	/	0,2	0,69	±0,44
- Método de Shah-Kendall... A:	37,34	±3,95	32,3	/	44,4	33,50	±2,82
... B:	37,47	±6,14	30,3	/	39,3	38,41	±2,81
... C:	27,26	±3,63	24,3	/	32,7	27,52	±2,88
- Método de Babin y cols... c:	59,26	±8,14	48,5	/	73	54,05	±5,07
... b:	41,71	±5,77	33	/	52	43,81	±3,62
Cociente de giro sagital.....:	75,14	±16,96	56	/	103	65,73	±9,70
Arco venoso profundo.....:	7,36	±5,30	1	/	16	4,43	±1,40
Eje incisural-vena basal... A:	10,50	±6,36	6	/	15	7,70	±2,75
... B:	- 5,50	±6,83	-15,5	/	2	-0,62	±4,30
... C:	-12,50	±3,59	-16,5	/	- 8	-9,07	±2,74
... D:	- 8,13	±1,31	-10	/	- 7	-8,15	±2,20
- Angulo venoso-Lín. media...:	9,40	±5,65	3	/	16,5	-1,25	±0,37
- Talamoestriada-Lín. media..:	10,20	±3,49	6	/	15	12,69	±2,62

SERIE PATOLOGICA

Grupo: Infraaxiales Medios Parasagitales

	Media y d.t.	Val. extremos	Media control
- Método de Laine:..... H:	19,94 ±10,88	10 / 37,5	13,48 ±2,77
..... V:	26,66 ±4,23	20 / 32,5	19,76 ±2,28
- Método de Fischer..... H:	- 4,41 ±5,92	-13 / 5	0,13 ±1,04
..... V:	11,06 ±3,82	5 / 17	1,01 ±1,46
- Bisectriz de Fischer..... B:	19,45 ±1,59	17,2 / 21,7	19,98 ±0,87
..... M:	23,31 ±3,23	19,5 / 28,5	19,70 ±1,42
..... D:	3,86 ±2,14	1,5 / 6,8	0,22 ±1,31
- Método de Newton..... H:	5,03 ±5,95	- 3,8 / 14	0,50 ±2,14
..... V:	9,94 ±5,56	1,5 / 17,5	0,23 ±1,76
Ang. Tubérculo-Inion-Monro...:	23,31 ±3,23	19,5 / 28,5	19,70 ±1,42
Ang. Monro-Inion-Bregma.....:	15,63 ±1,90	12,5 / 19	20,23 ±1,68
Ang. Tubérculo-Lambda-Monro..:	15,38 ±1,75	12,5 / 18	13,00 ±1,65
Ang. Monro-Glabela-Bregma....:	37,56 ±2,67	33 / 41	43,67 ±3,37
Ang. Monro-Bregma-Tubérculo..:	20,09 ±6,75	12 / 30	13,92 ±2,92
Ang. Monro-Tuberculo-Inion...:	65,69 ±10,43	51 / 76,5	67,31 ±4,73
Ang. Apex-Tuberculo-Monro....:	35,69 ±6,91	23,5 / 43,5	33,52 ±5,06
Ang. Monro-Apex-Bregma.....:	36,94 ±5,04	26 / 43	47,97 ±4,99
Línea fleboaxial-Monro.....:	10,76 ±3,39	4,8 / 17	0,02 ±0,17
- Método Potts y Taveras. A-B:	40 ±7,46	26 / 49	36,31 ±4,31
... b:	5,74 ±1,21	3 / 9	7,10 ±2,27
... c:	0,71 ±0,78	0 / 2	1,67 ±0,58
... d:	- 0,36 ±0,48	- 1 / 0,8	0,69 ±0,44
- Método de Shah-Kendall... A:	39 ±3,23	33,2 / 42,9	33,50 ±2,82
... B:	39,78 ±2,09	37 / 43	38,41 ±2,81
... C:	26,51 ±3,69	22,2 / 31,8	27,52 ±2,88
- Método de Babin y cols... c:	58,69 ±5,57	48 / 65	54,05 ±5,07
... b:	40,56 ±6,59	33 / 50	43,81 ±3,62
Cociente de giro sagital.....:	68,25 ±14,94	48 / 95	85,73 ±9,70
Arco venoso profundo.....:	6,63 ±2,49	3 / 9,5	4,43 ±1,40
Eje incisural-vena basal... A:	16,67 ±2,52	14 / 19	7,70 ±2,75
... B:	6,92 ±2,71	4 / 10,5	-0,62 ±4,30
... C:	- 5,43 ±4,99	-10 / 5	-9,07 ±2,74
... D:	- 9 ±1,73	-10 / - 7	-8,13 ±2,20
- Angulo venoso-Lín. media...:	0,31 ±3,92	- 7 / 7	-1,25 ±0,37
- Talamoestriada-Lín. media..:	19,50 ±4,46	12,5 / 25	12,69 ±2,62

Grupo: Infraaxiales Medios Laterales

	Media y d.t.		Val. extremos			Media control	
- Método de Laine..... H:	14,97	±7,23	3	/	29,5	13,48	±2,77
..... V:	25,36	±4,36	19	/	38	19,76	±2,28
- Método de Fischer..... H:	- 1,72	±7,68	-17	/	17	0,13	±1,04
..... V:	7,28	±4,48	2	/	19	1,01	±1,46
- Bisectriz de Fischer..... B:	19,73	±1,05	17,7	/	21,2	19,98	±0,87
..... M:	22,51	±2,88	18	/	27	19,70	±1,42
..... D:	2,78	±2,86	- 1,5	/	7,8	0,22	±1,31
- Método de Newton..... H:	5,23	±6,24	- 8,5	/	15	0,50	±2,14
..... V:	6,51	±4,37	0	/	16	0,23	±1,76
Ang. Tubérculo-Inion-Monro...:	22,51	±2,88	18	/	27	19,70	±1,42
Ang. Monro-Inion-Bregma.....:	16,77	±2,55	11	/	22	20,23	±1,68
Ang. Tubérculo-Lambda-Monro..:	16,09	±2,12	13,5	/	20	13,00	±1,65
Ang. Monro-Glabela-Bregma....:	38,34	±4,04	28	/	44,5	43,67	±3,37
Ang. Monro-Bregma-Tubérculo..:	16,61	±6,41	4	/	23	13,92	±2,92
Ang. Monro-Tuberculo-Inion...:	69,56	±9,28	50,5	/	89	67,31	±4,73
Ang. Apex-Tuberculo-Monro....:	36,67	±8,99	21,5	/	63	33,52	±5,06
Ang. Monro-Apex-Bregma.....:	40,33	±5,63	26,5	/	48,5	47,97	±4,99
Línea fleboaxial-Monro.....:	8,78	±5,49	2	/	19	0,02	±0,17
- Método Potts y Taveras. A-B:	39,35	±8,11	33	/	49	36,31	±4,31
... b:	5,59	±2,13	3	/	10	7,10	±2,27
... c:	0,45	±0,95	- 1	/	3	1,67	±0,58
... d:	- 0,01	±0,55	- 1	/	1,5	0,69	±0,44
- Método de Shah-Kendall... A:	37,02	±4,79	24,6	/	45,8	33,50	±2,82
... B:	39,14	±2,50	35,2	/	46,1	38,41	±2,81
... C:	28,39	±6,04	11,8	/	39,3	27,52	±2,88
- Método de Babin y cols... c:	59,90	±5,97	50	/	72	54,05	±5,07
... b:	44,81	±4,29	37,5	/	51,5	43,81	±3,62
Cociente de giro sagital.....:	69,28	±17,63	48	/	125	85,73	±9,70
Arco venoso profundo.....:	8,50	±3,27	5	/	16	4,43	±1,40
Eje incisural-vena basal... A:	10,50	±4,75	6	/	18	7,70	±2,75
... B:	1,29	±6,44	-13	/	17	-0,62	±4,30
... C:	- 8,09	±2,82	-18,5	/	5	-9,07	±2,74
... D:	- 8,09	±2,82	-11	/	- 1	-8,13	±2,20
- Angulo venoso-Lín. media...:	10,11	±3,63	6	/	17	-1,25	±0,37
- Talamoestriada-Lín. media..:	12,78	±5,63	7	/	23,5	12,69	±2,62

SERIE PATOLOGICA

Grupo: Infraaxiales Posteriores Laterales

	Media y d.t.	Rango Val. extremos	Media control
- Método de Laine..... H:	12,75 ±2,55	9,5 / 16,5	13,48 ±2,77
..... V:	22,78 ±2,68	19,5 / 27,7	19,76 ±2,28
- Método de Fischer..... H:	0,06 ±3,26	-3,5 / 6	0,13 ±1,04
..... V:	1,63 ±5,46	-9,5 / 8,5	1,01 ±1,46
- Bisectriz de Fischer..... B:	20,25 ±1,06	18,4 / 21,5	19,98 ±0,87
..... M:	20,75 ±2,10	18 / 24	19,70 ±1,42
..... D:	0,50 ±2,27	-1,7 / 4,5	0,22 ±1,31
- Método de Newton..... H:	3,23 ±4,18	-2 / 11	0,50 ±2,14
..... V:	1,75 ±4,06	-3 / 9	0,23 ±1,76
Ang. Tubérculo-Inion-Monro...:	20,75 ±2,10	18 / 24	19,70 ±1,42
Ang. Monro-Inion-Bregma.....:	19,75 ±2,87	15 / 23	20,23 ±1,68
Ang. Tubérculo-Lambda-Monro..:	14,69 ±2,95	11 / 19	13,00 ±1,65
Ang. Monro-Glabela-Bregma....:	41,96 ±2,27	39,5 / 45,5	43,67 ±3,37
Ang. Monro-Bregma-Tubérculo..:	12,94 ±2,78	9 / 17	13,92 ±2,92
Ang. Monro-Tuberculo-Inion...:	70,94 ±3,89	64 / 76	67,31 ±4,73
Ang. Apex-Tuberculo-Monro....:	37,75 ±3,67	30,5 / 42,5	33,52 ±5,06
Ang. Monro-Apex-Bregma.....:	45,73 ±4,27	38 / 50,5	47,97 ±4,99
Línea fleboaxial-Monro.....:	3,94 ±3,57	-2 / 9	0,02 ±0,17
- Método Potts y Taveras. A-B:	37,63 ±6,14	31 / 50	36,31 ±4,31
... b:	5,81 ±2,00	3,5 / 9	7,10 ±2,27
... c:	1,31 ±1,12	-1 / 3	1,67 ±0,58
... d:	0,11 ±0,50	-1 / 0,5	0,69 ±0,44
- Método de Shah-Kendall... A:	34,10 ±4,01	30 / 41,6	33,50 ±2,82
... B:	39,09 ±3,99	34,6 / 47,5	33,41 ±2,81
... C:	29,69 ±4,75	24,6 / 40,2	27,52 ±2,88
- Método de Babin y cols... c:	54,25 ±6,56	47 / 64,5	54,05 ±5,07
... b:	46,63 ±4,12	41 / 52	43,81 ±3,62
Cociente de giro sagital.....:	72,25 ±26,16	42 /112	85,73 ±9,70
Arco venoso profundo.....:	4,38 ±1, 55	2,5 / 7	4,43 ±1,40
Eje incisural-vena basal... A:	6,75 ±4,17	1,5 / 11,5	7,70 ±2,75
... B:	-0,08 ±3,73	-5 / 3	-0,62 ±4,30
... C:	-3,83 ±4,05	-7,5 / 2	-9,67 ±2,74
... D:	-1,00 ±7,78	-6,5 / 4,5	-8,13 ±2,20
- Angulo venoso-Lín. media...:	0,07 ±4,10	-5 / 7,5	-1,25 ±0,37
- Talamoestriada-Lín. media..:	23,67 ±8,12	9 / 30	12,69 ±2,62